

INRAE



université
de **BORDEAUX**



OCCUPATION DES TERRES ET CLIMAT RÉGIONAL

IMPACT DES SURFACES FORESTIÈRES SUR L'ENNUAGEMENT DANS LE SUD-OUEST DE LA FRANCE

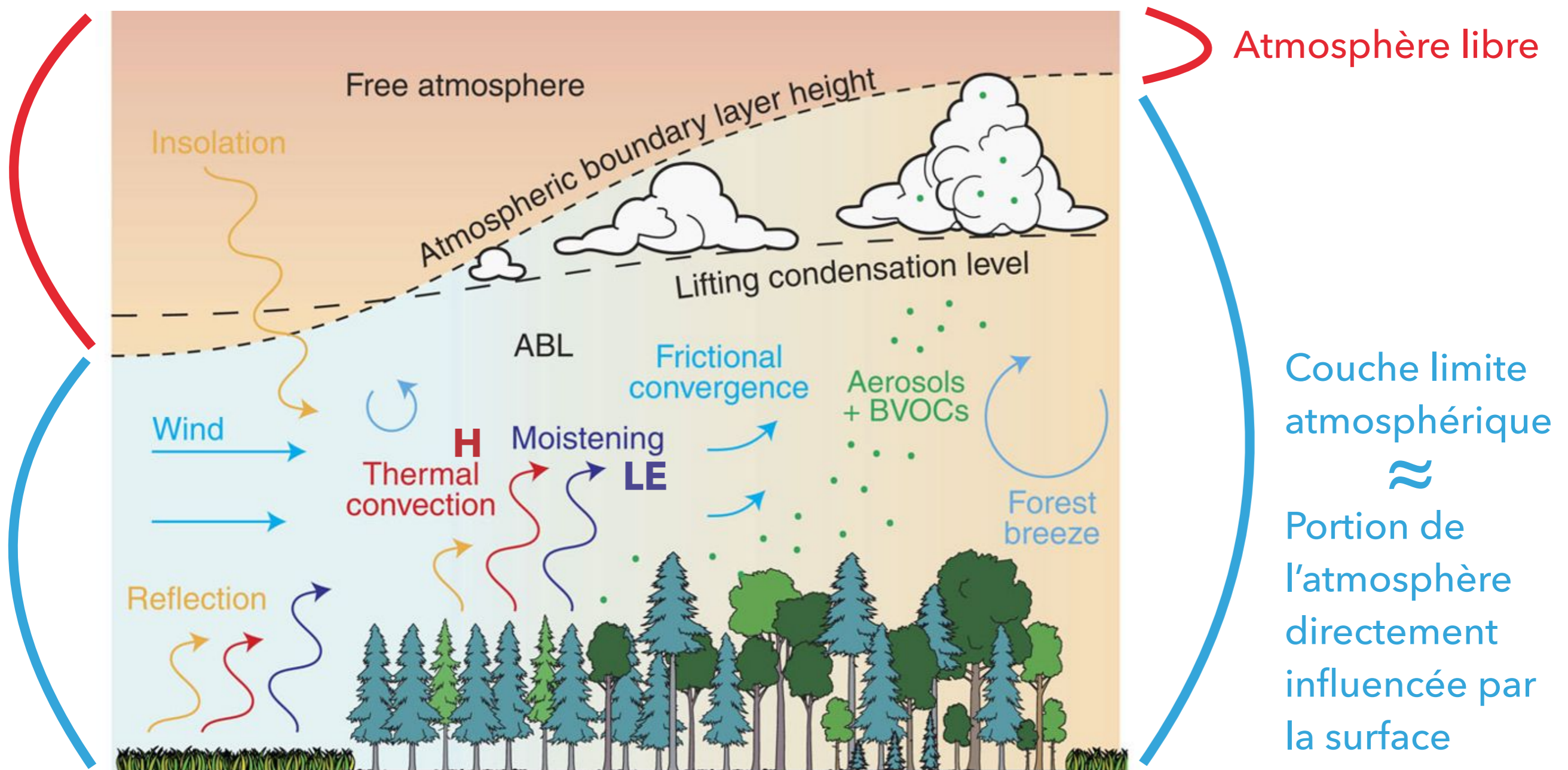
Gaëtan Noual

Supervision de la thèse : Yves Brunet (INRAE, ISPA, Bordeaux)

Christine Lac (CNRM, Météo-France, Toulouse)

Patrick Le Moigne (CNRM, Météo-France, Toulouse)

- L'interaction de la forêt avec l'atmosphère la plus étudiée : sa contribution au cycle du carbone
 - ➔ Mais la forêt influence l'atmosphère de nombreuses autres manières !



Atmosphère libre

Couche limite atmosphérique
≈
Portion de l'atmosphère directement influencée par la surface

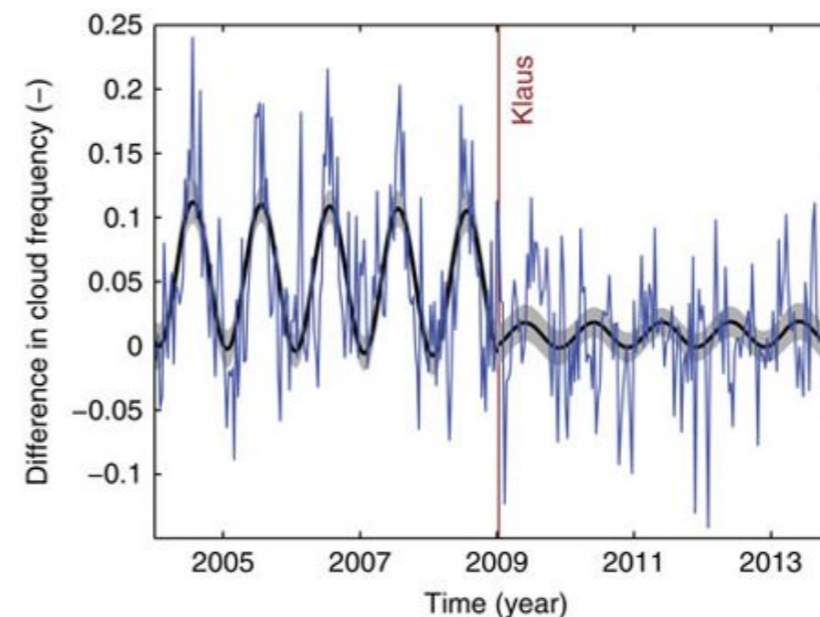
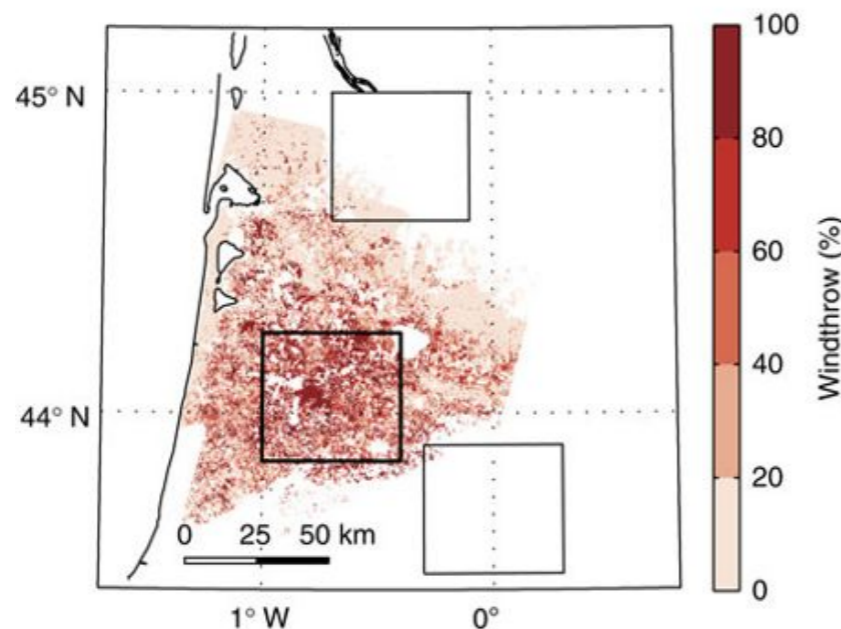
- Impact de la forêt des Landes sur l'ennuageement



→ Une situation typique de nuages de couche limite (CL) au-dessus de la forêt des Landes

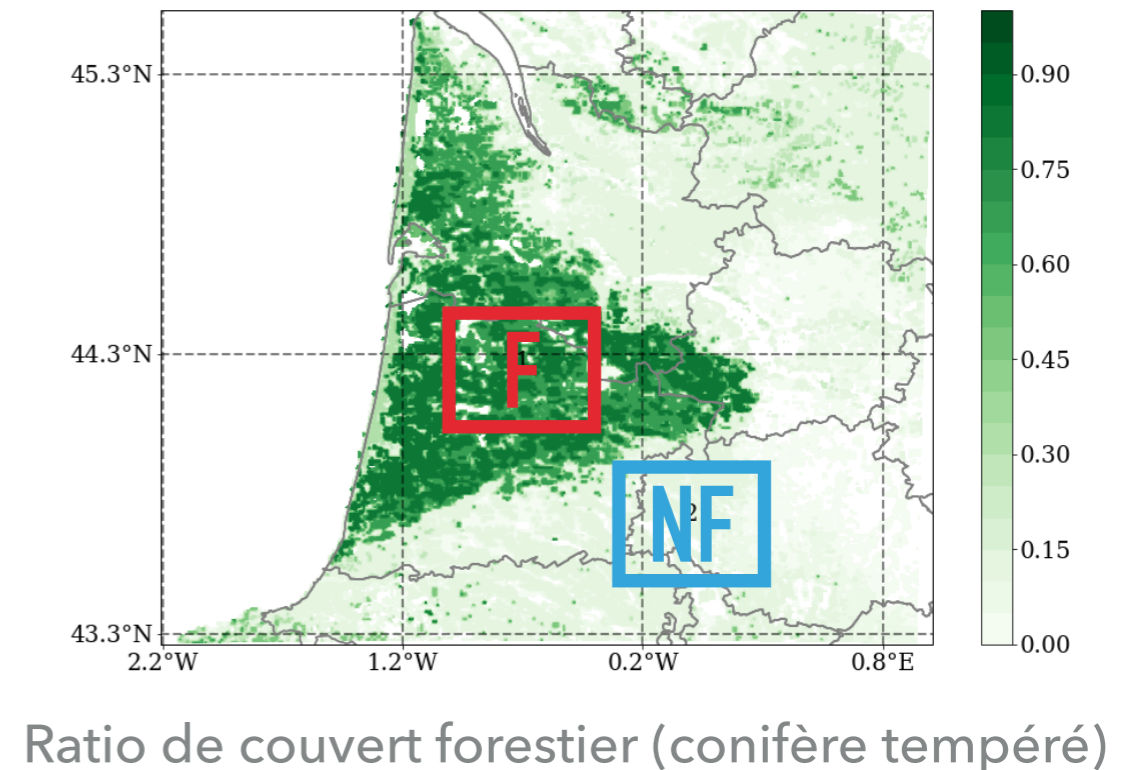
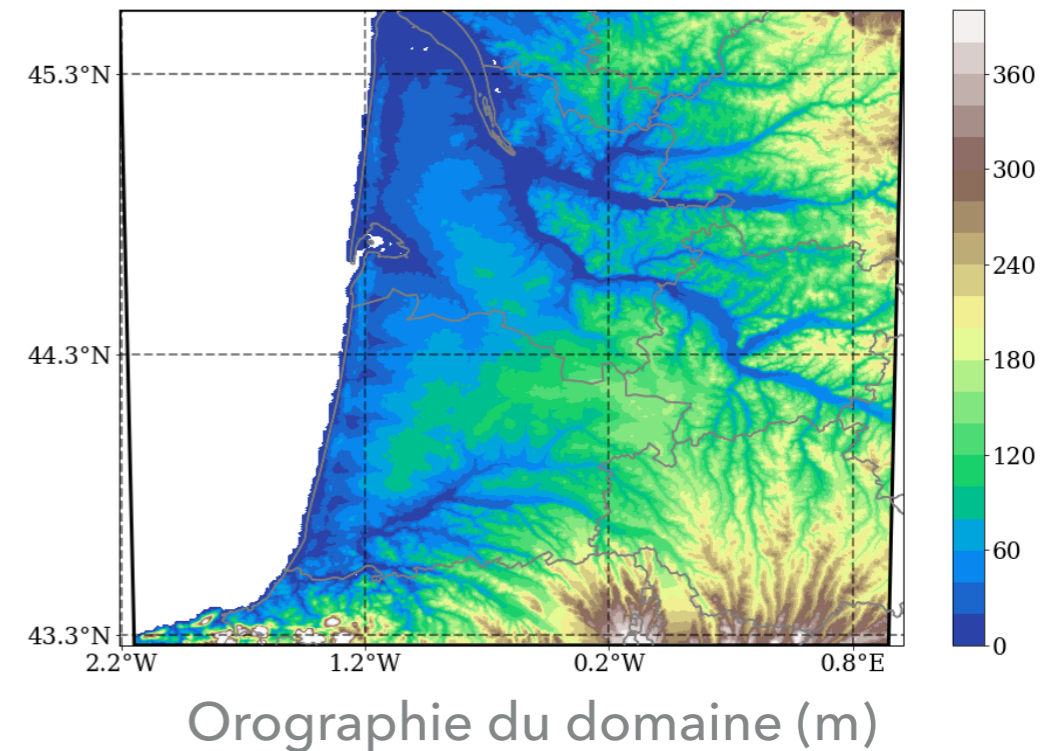
→ 9 juillet 2013

- Impact de la tempête Klaus (2009) sur l'ennuageement



Teuling et al. (2017)

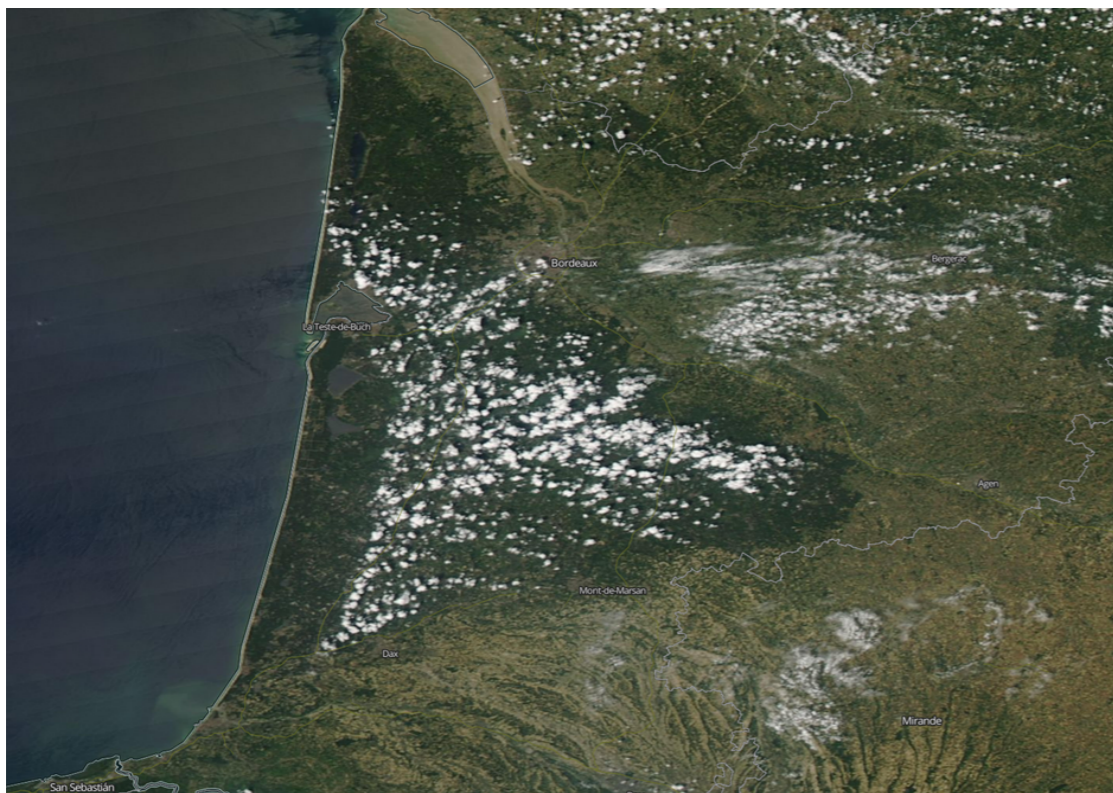
- Modèle atmosphérique de recherche du CNRM/LAero: **Méso-NH** (Lac et al. , 2018) ; couplé avec le modèle de surface **SURFEX** (Masson et al. , 2013)
- **ISBA** (Decharme et al, 2013) : modèle d'échange sol-végétation
- Résolution horizontale de 500 m
- 90 niveau verticaux ; 32 niveaux dans la couche limite atmosphérique (CL)
- Base de données d'occupation des sols à 1 km de résolution : ECOCLIMAP (Faroux et al., 2013)



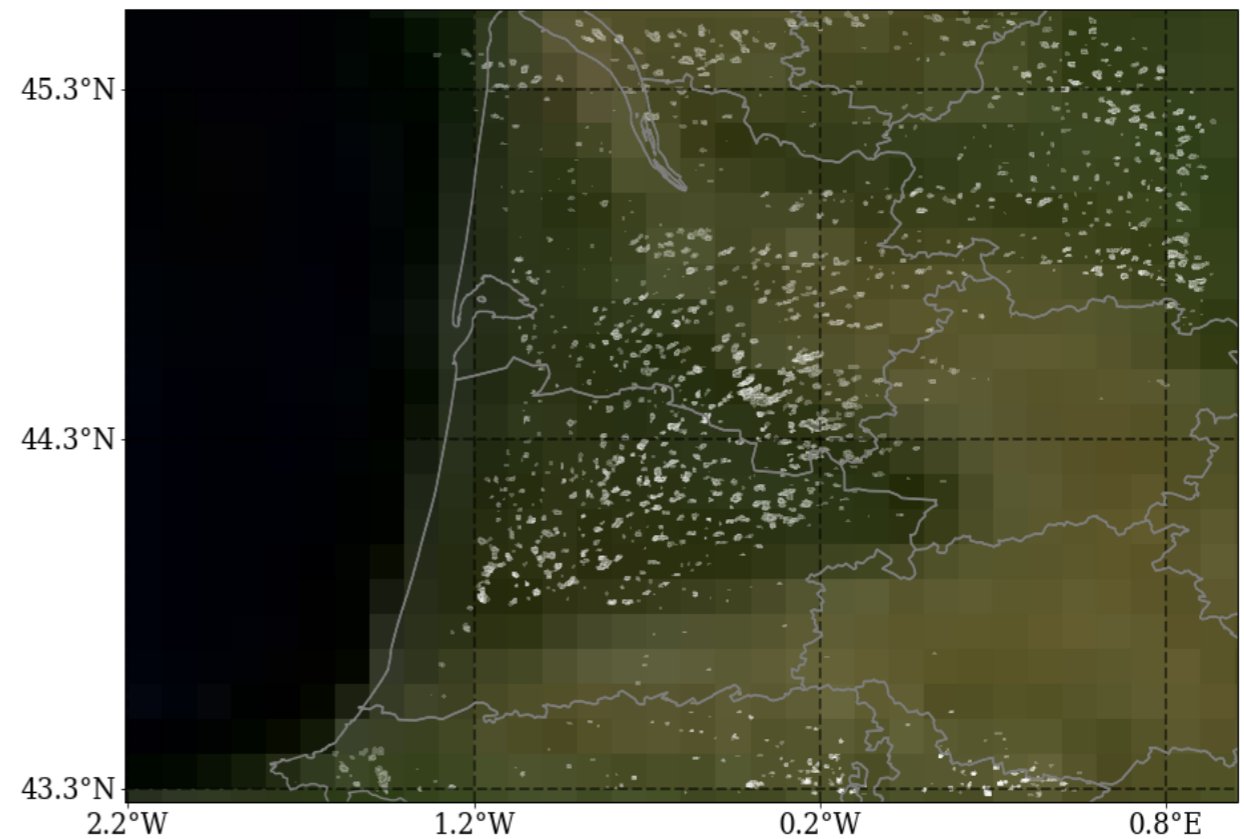
- Après de nombreux tests sur la configuration du modèle de surface et du modèle atmosphérique ...

9 juillet 2013 13 UTC

Observation



Simulation

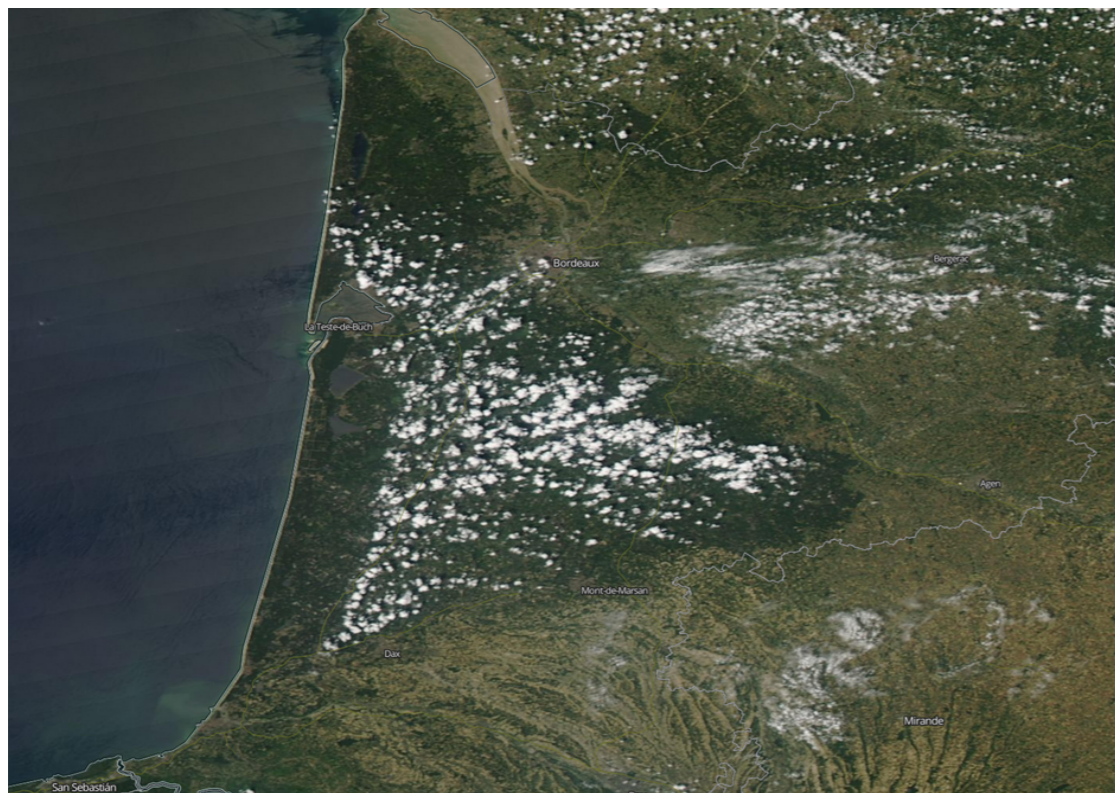


- On représente bien les nuages de couche limite dans le modèle au-dessus de la forêt

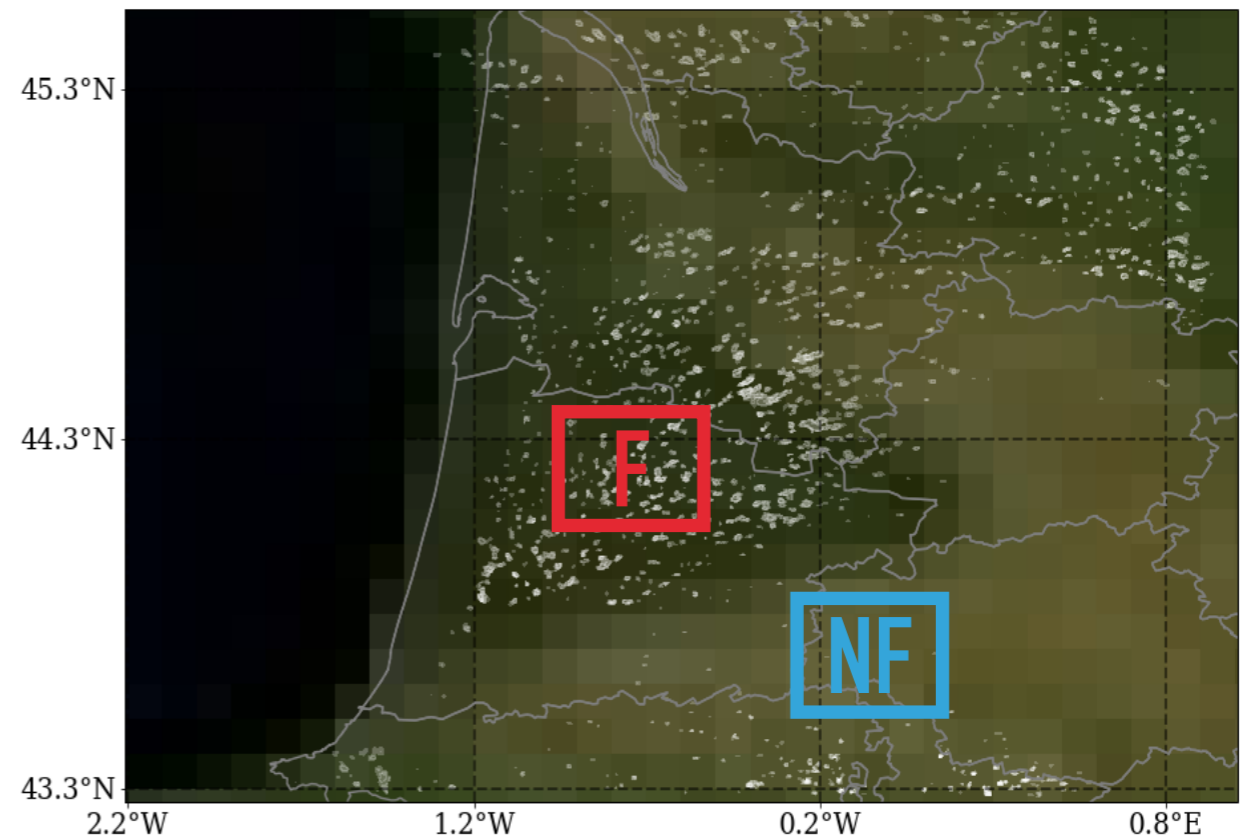
- Après de nombreux tests sur la configuration du modèle de surface et du modèle atmosphérique ...

9 juillet 2013 13 UTC

Observation



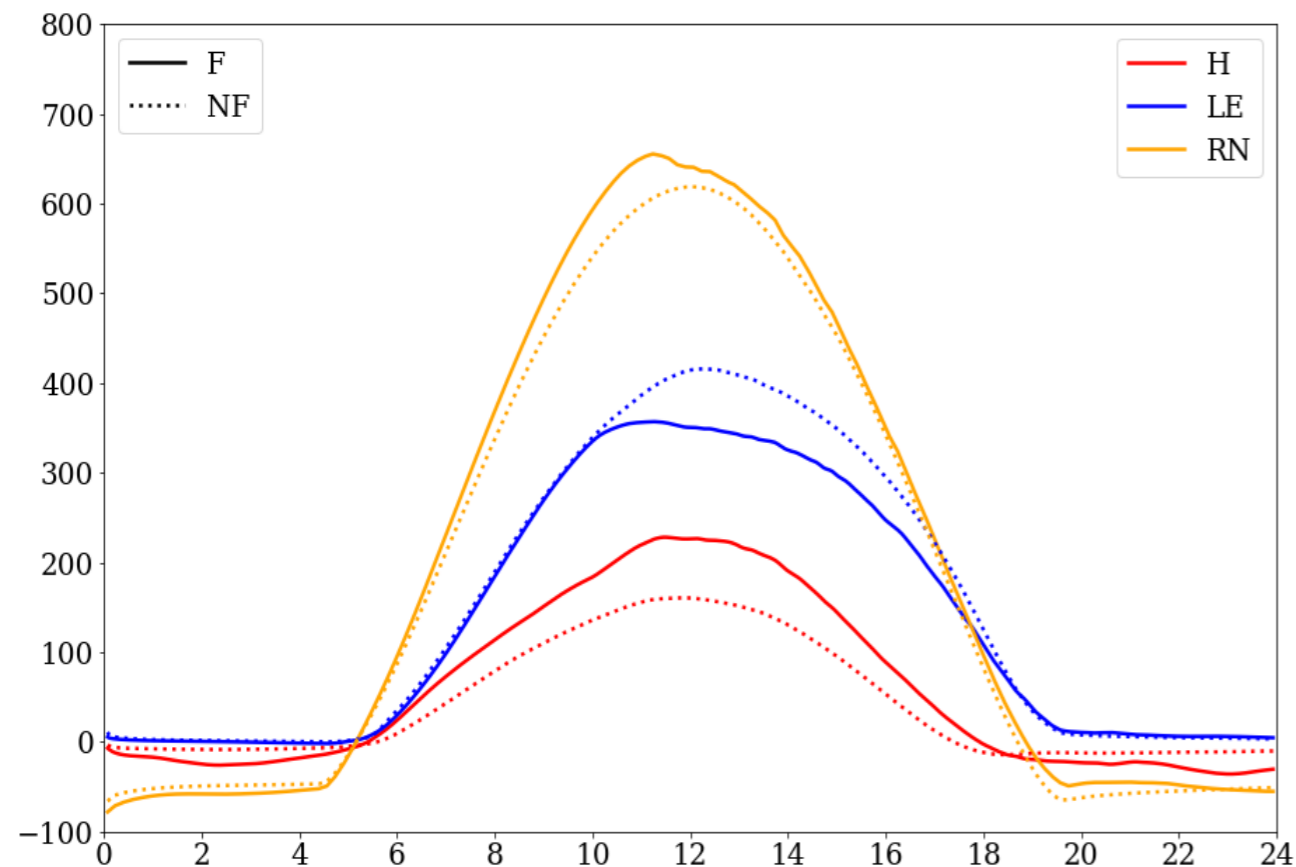
Simulation



- On représente bien les nuages de couche limite dans le modèle au-dessus de la forêt
 - Quels sont donc les processus physiques présents dans le modèle qui expliquent les différences entre forêt (F) et non-forêt (NF) ?

9 juillet 2013

W.m⁻² *Bilan d'énergie de surface*



Impact de la forêt

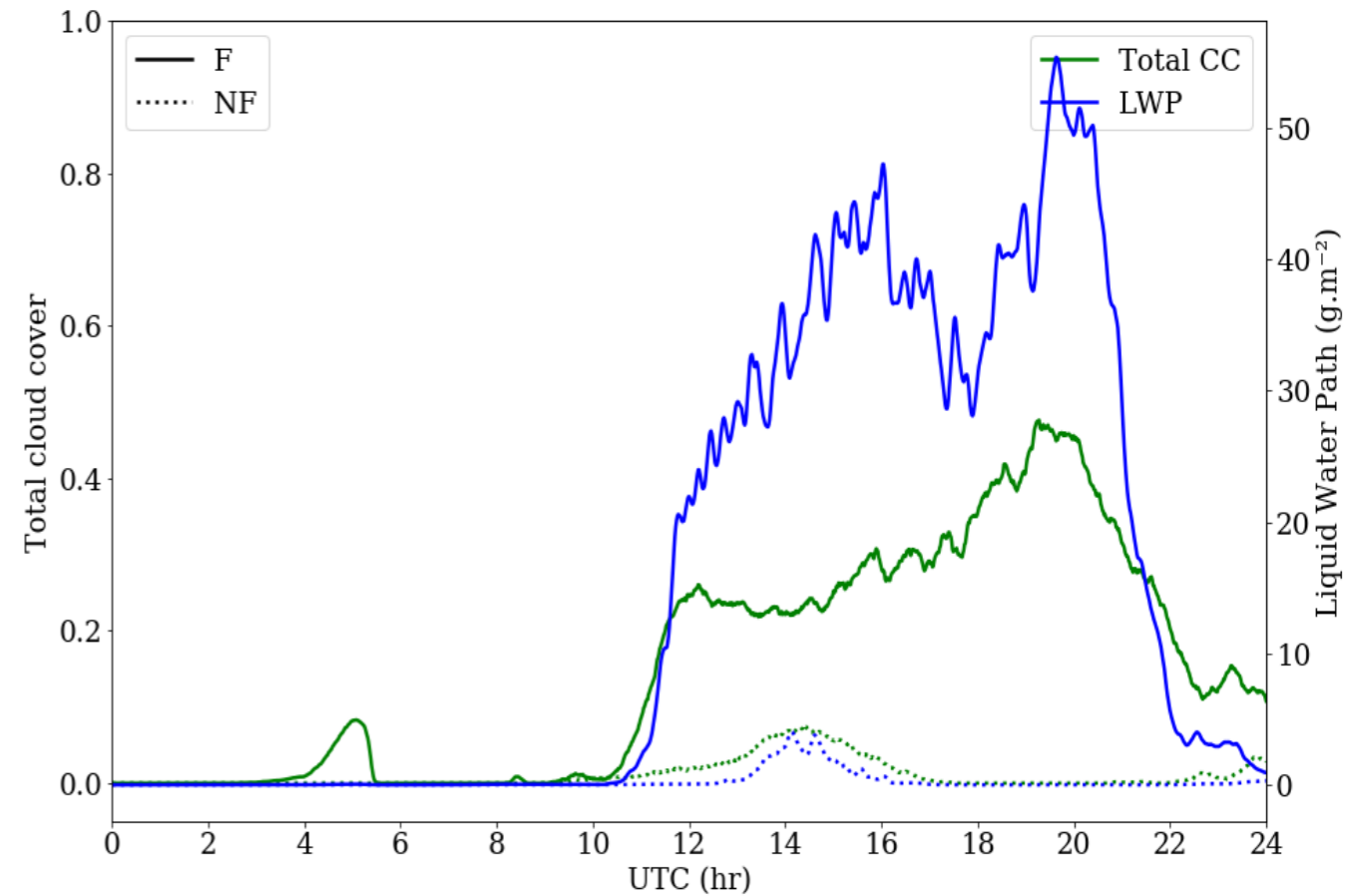
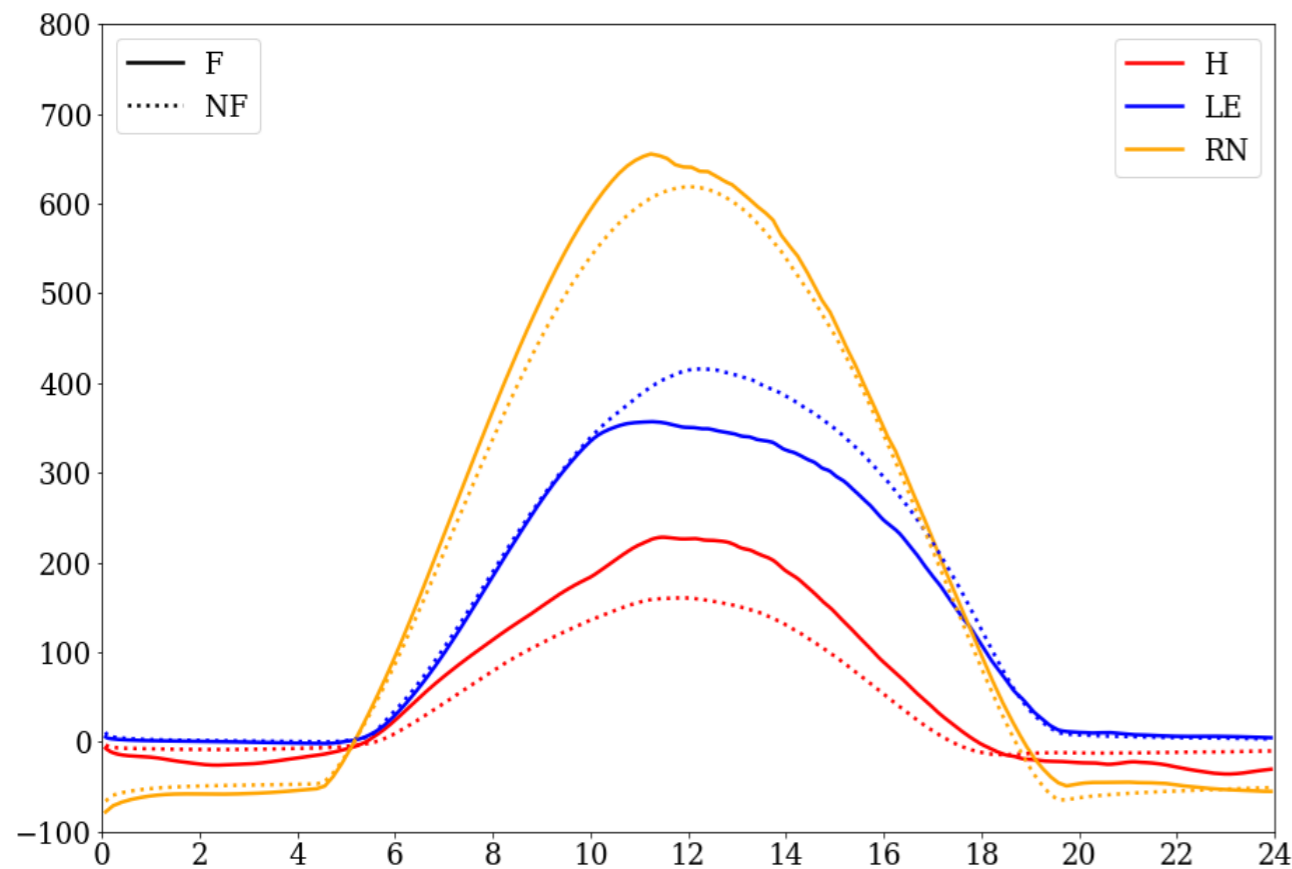
- ◆ **Rayonnement net (RN)** D'abord légèrement plus haut au-dessus de la forêt (effet de l'albédo inférieur)
- ◆ **Flux de chaleur sensible (H)** supérieur et flux de **chaleur latente (LE)** inférieur

9 juillet 2013

Couverture nuageuse et
liquid water path (LWP)

$g.m^{-2}$

$W.m^{-2}$ Bilan d'énergie de surface



Impact de la forêt

- ◆ **Rayonnement net (RN)** D'abord légèrement plus haut au-dessus de la forêt (effet de l'albédo inférieur)
- ◆ **Flux de chaleur sensible (H)** supérieur et flux de **chaleur latente (LE)** inférieur

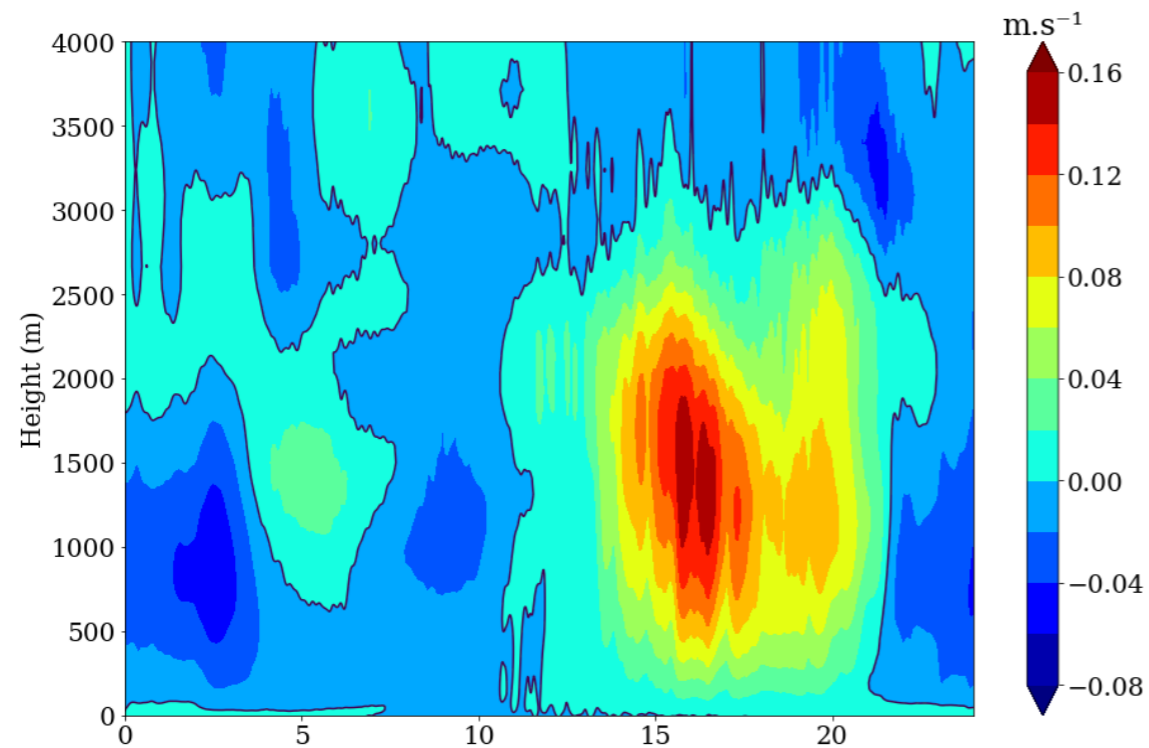
➔ **Couverture nuageuse (Total CC)** nettement plus forte

- Effet sur la dynamique atmosphérique

9 juillet 2013

Différence : « Forêt (F) - Non-forêt (NF) »

Vitesse du vent vertical



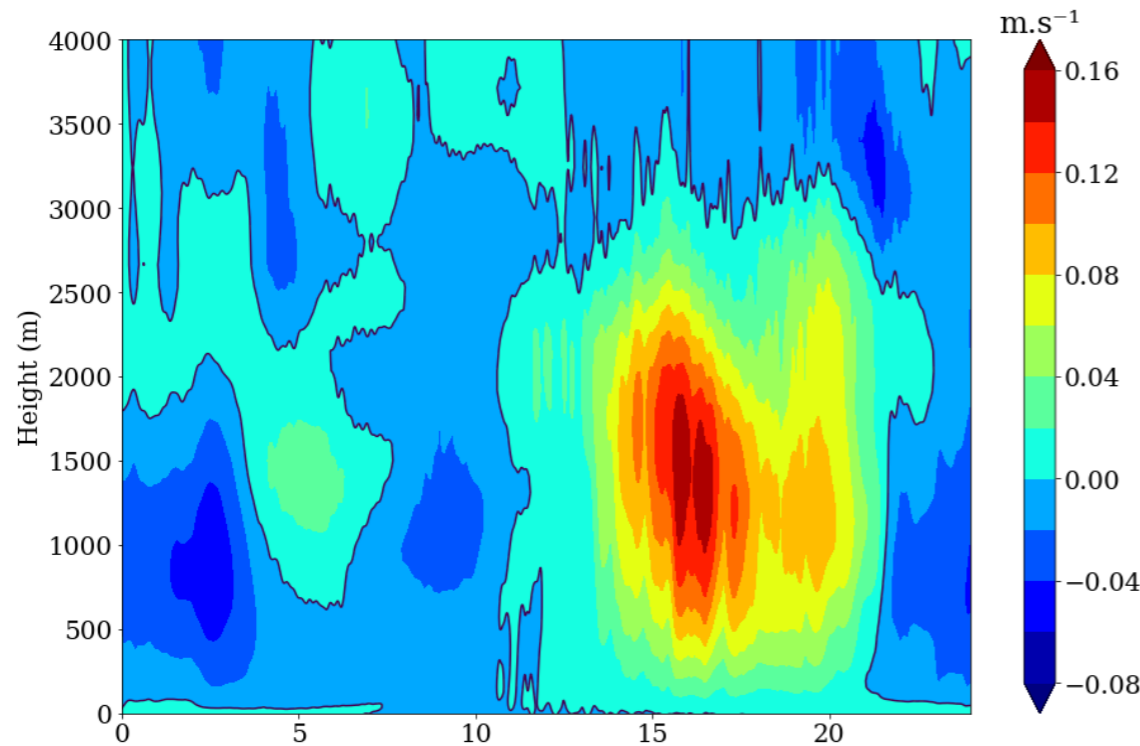
- Les **courants ascendants au-dessus de la forêt** sont générées par le **flux de chaleur sensible élevé**

- Effet sur la dynamique atmosphérique

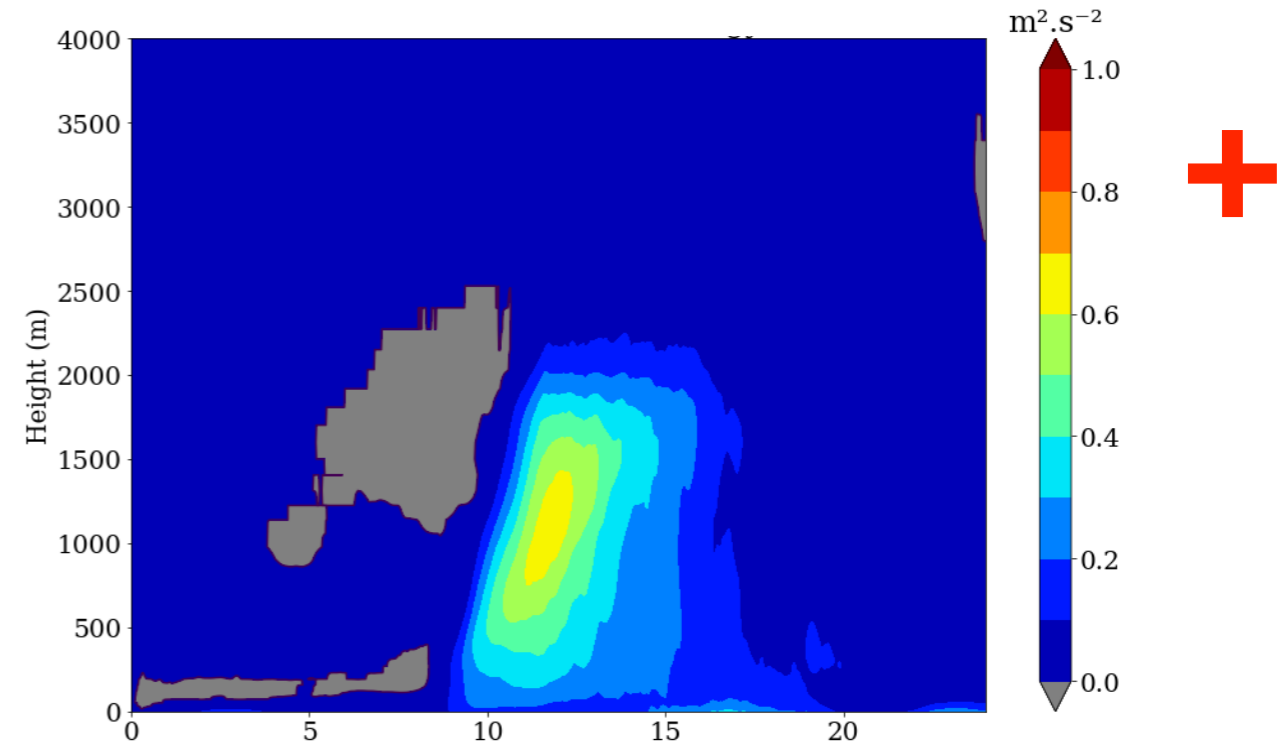
9 juillet 2013

Différence : « Forêt (F) - Non-forêt (NF) »

Vitesse du vent vertical



Energie turbulence cinétique



- Les **courants ascendants au-dessus de la forêt** sont générées par le **flux de chaleur sensible élevé**

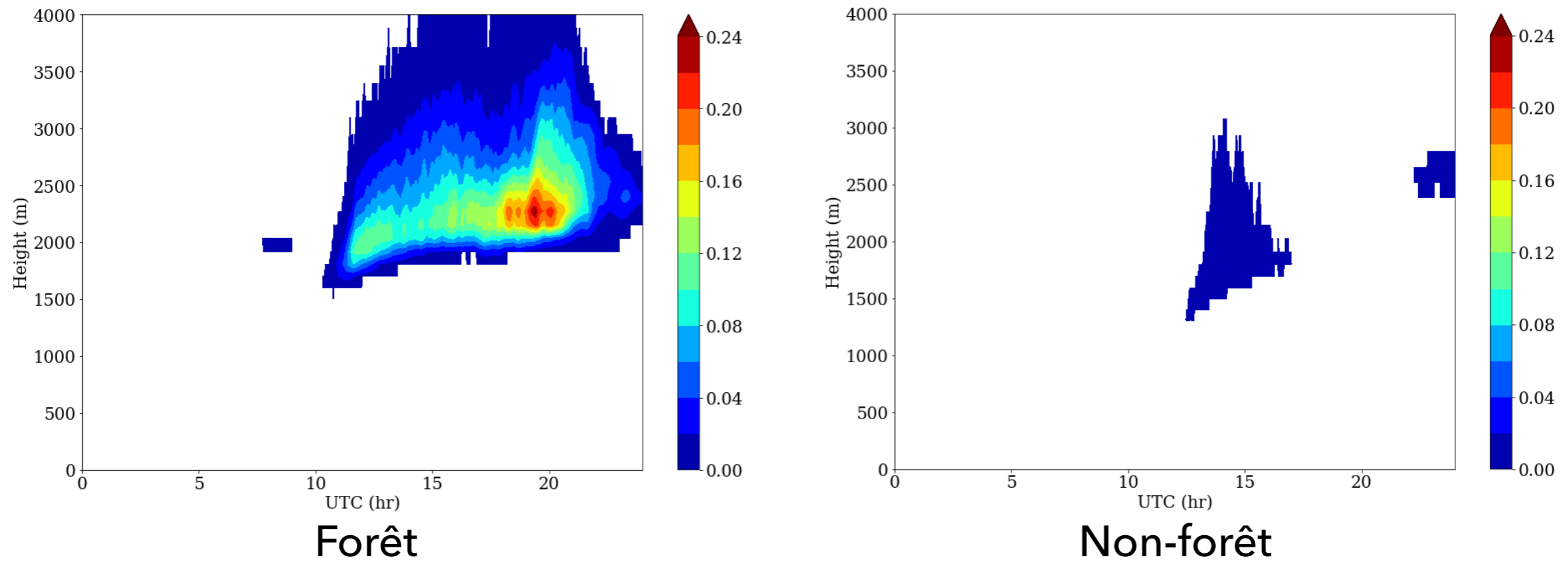
- **Forte turbulence au-dessus de la forêt** causée par :

- Le flux de chaleur sensible (production thermique de turbulence)
- La longueur de rugosité de la forêt (production dynamique de turbulence)

- Développement nuageux

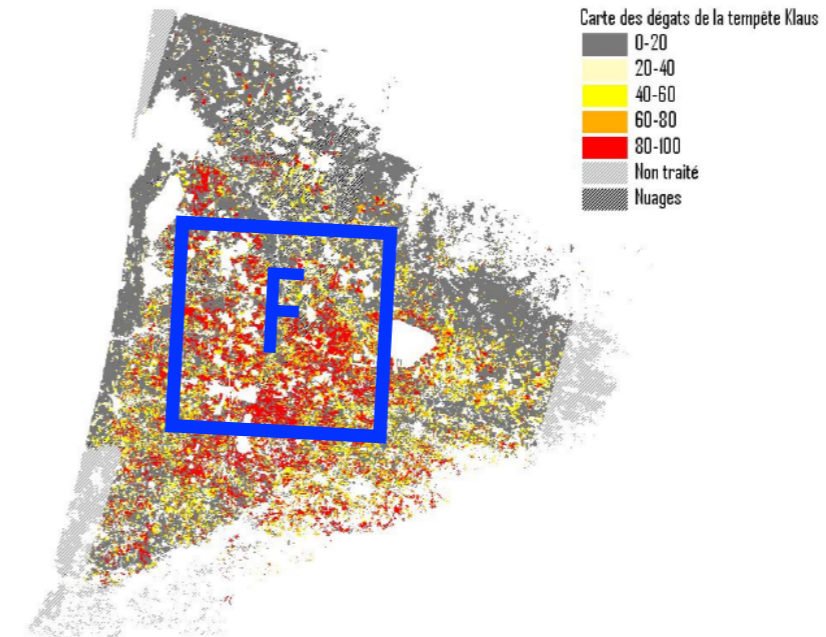
9 juillet 2013

Couverture nuageuse



- Forêt : plus de nuages avec une base et un sommet plus élevés

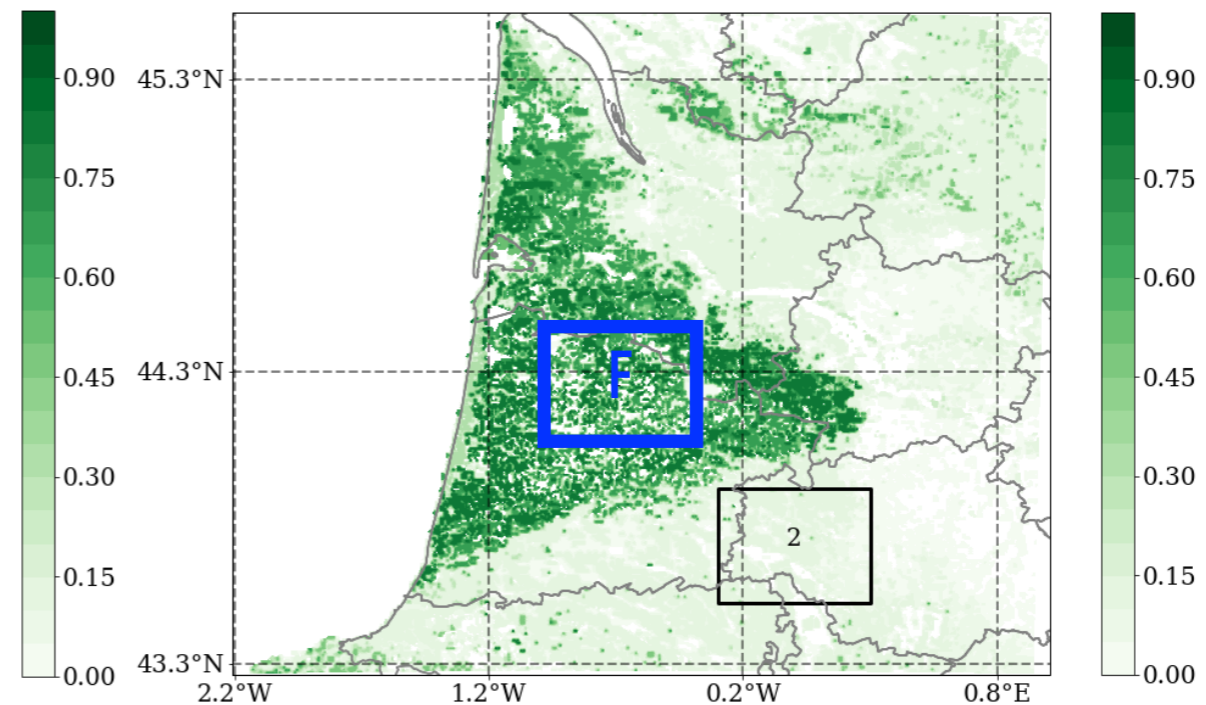
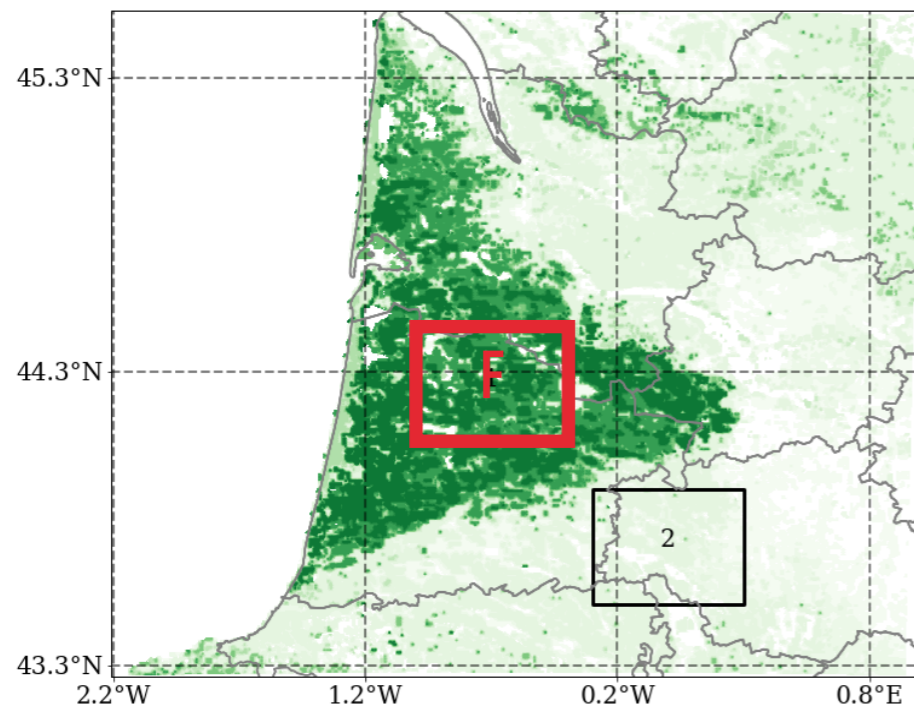
- Carte de déforestation de la tempête Klaus
 - ➔ Produit par l'IGN (Institut national de l'information géographique et forestière)



- Prise en compte dans le modèle :

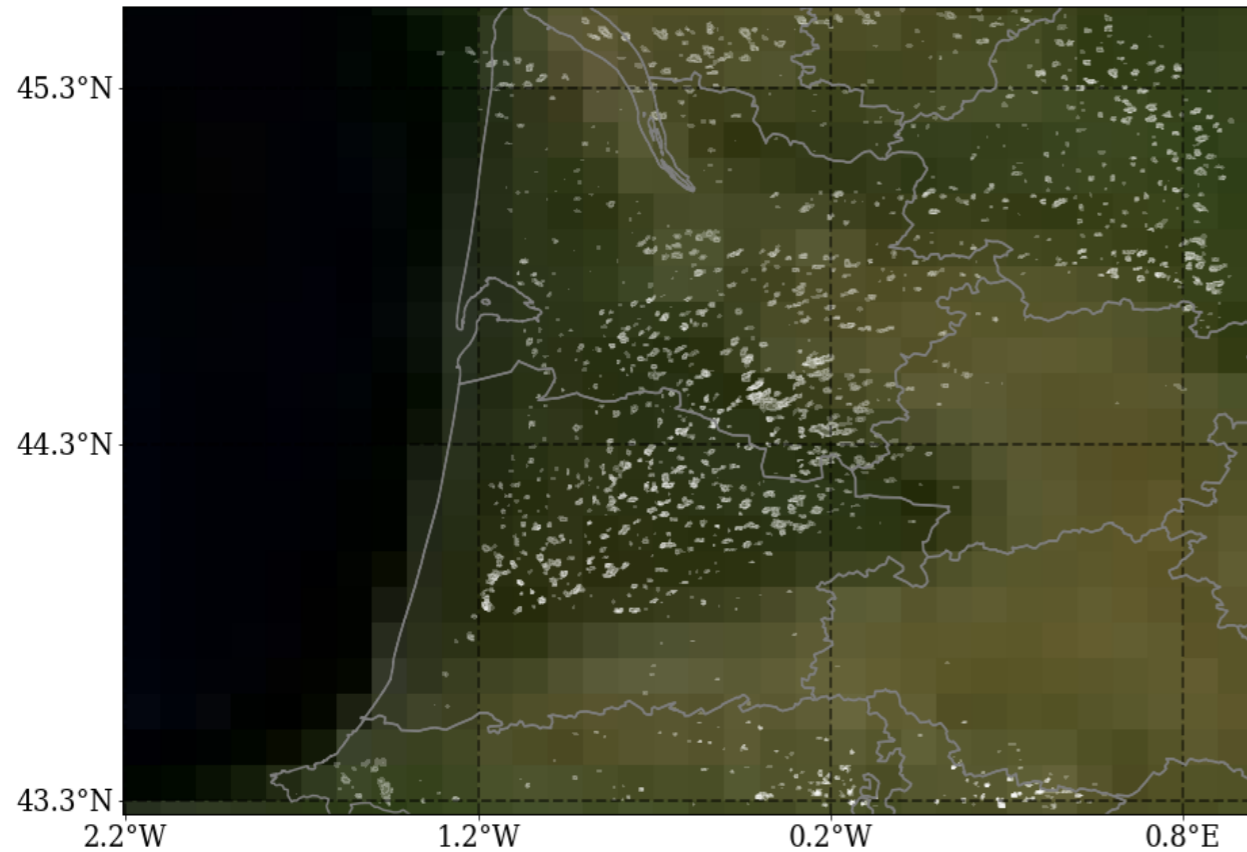
PreKlaus 61% de forêt (F)

PostKlaus 38% de forêt (F)

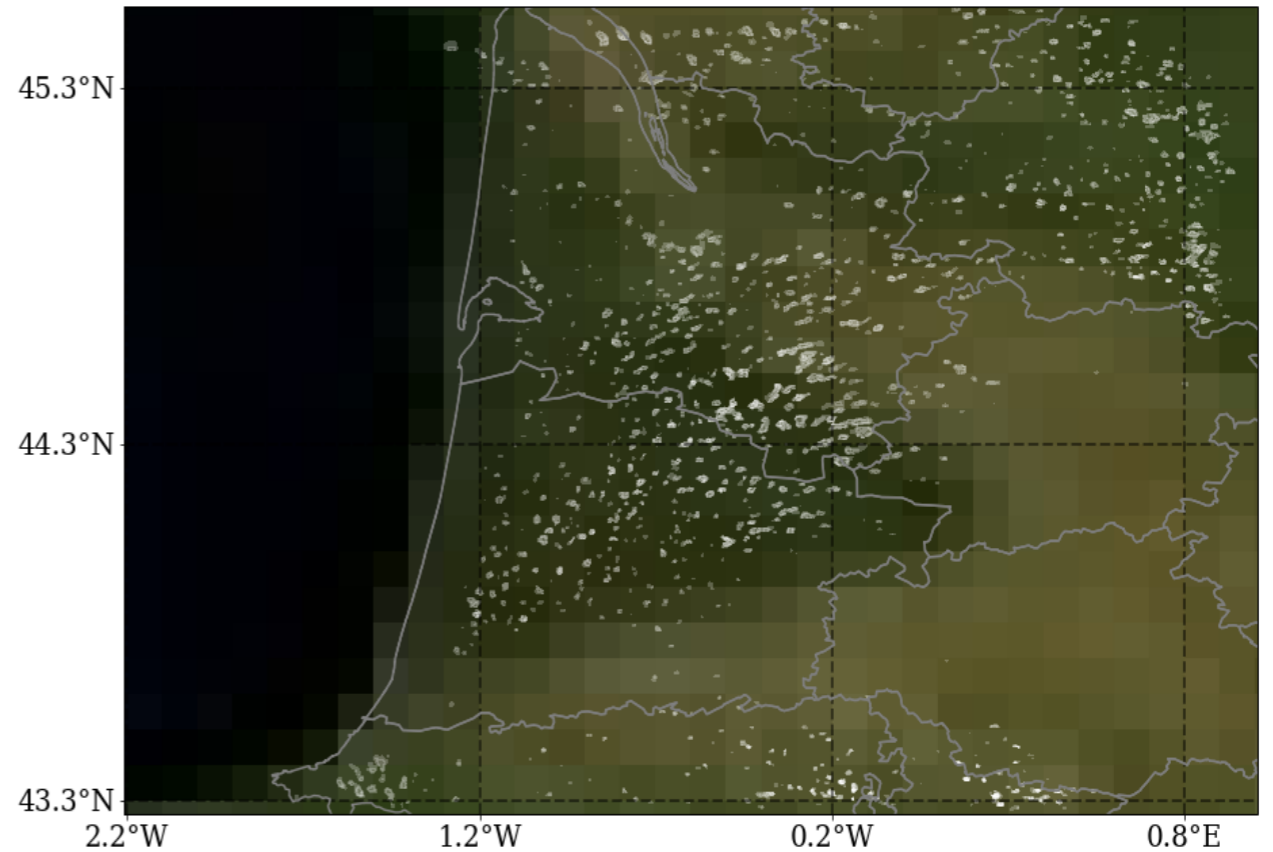


9 juillet 2013 13 UTC

PreKlaus



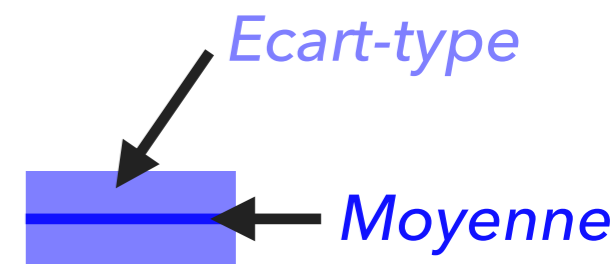
PostKlaus



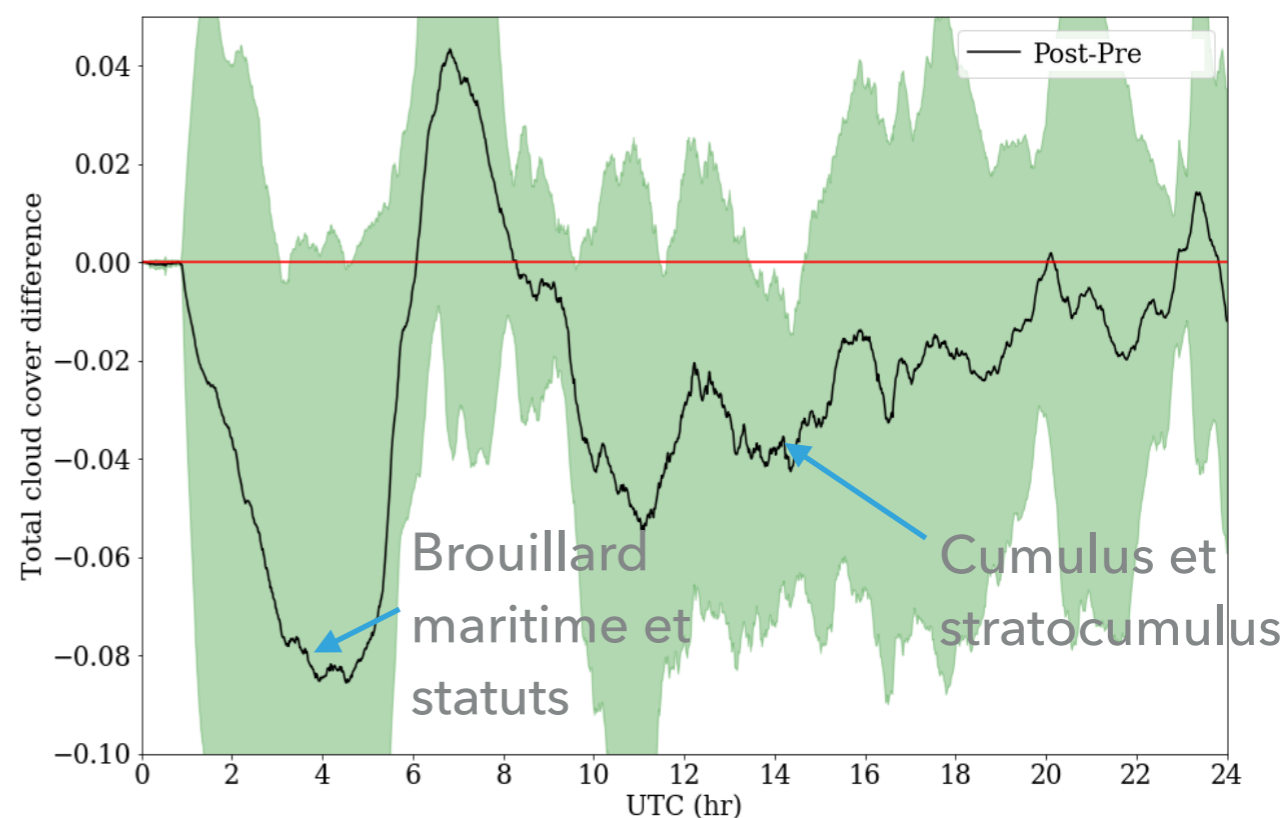
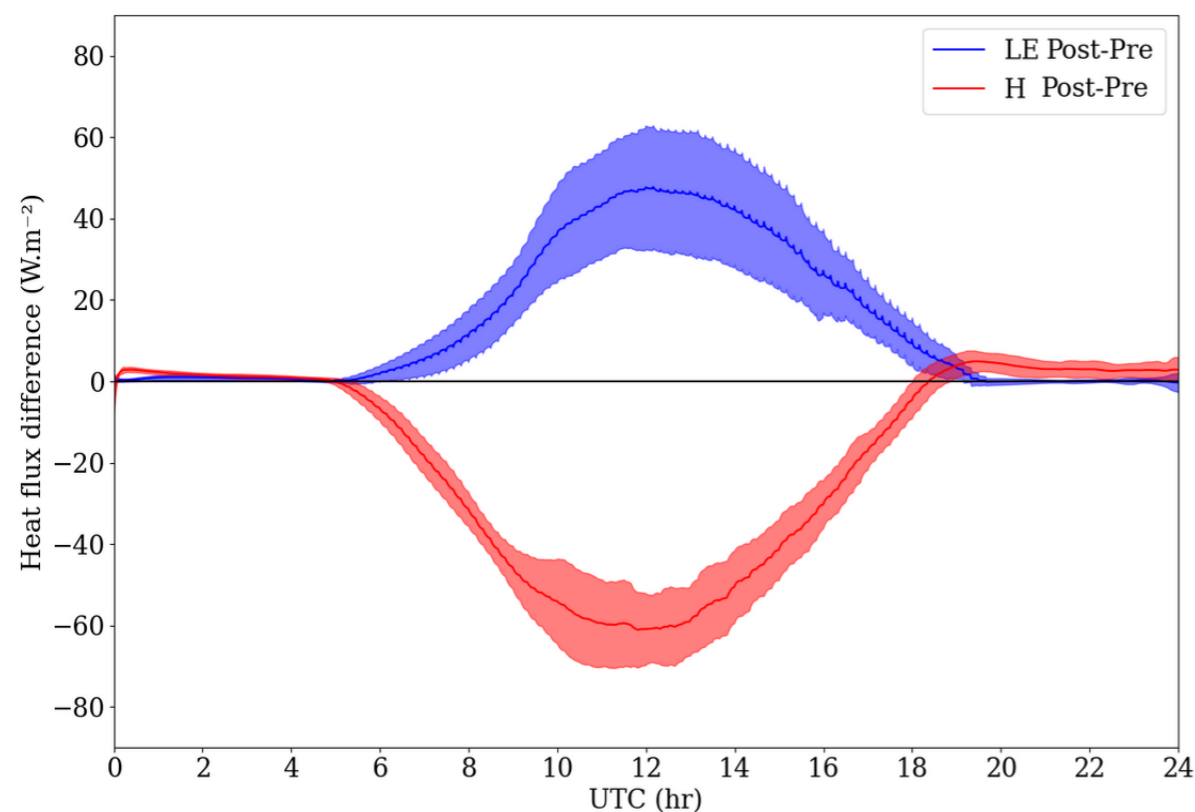
➔ La couverture nuageuse sur la forêt diminue lorsque la couverture forestière diminue

- Validation sur 14 cas de nuages de CL entre 2016 et 2022

Moyenne sur les 14 cas de la différence « PostKlaus - PréKlaus » pour le carré F



W.m⁻²

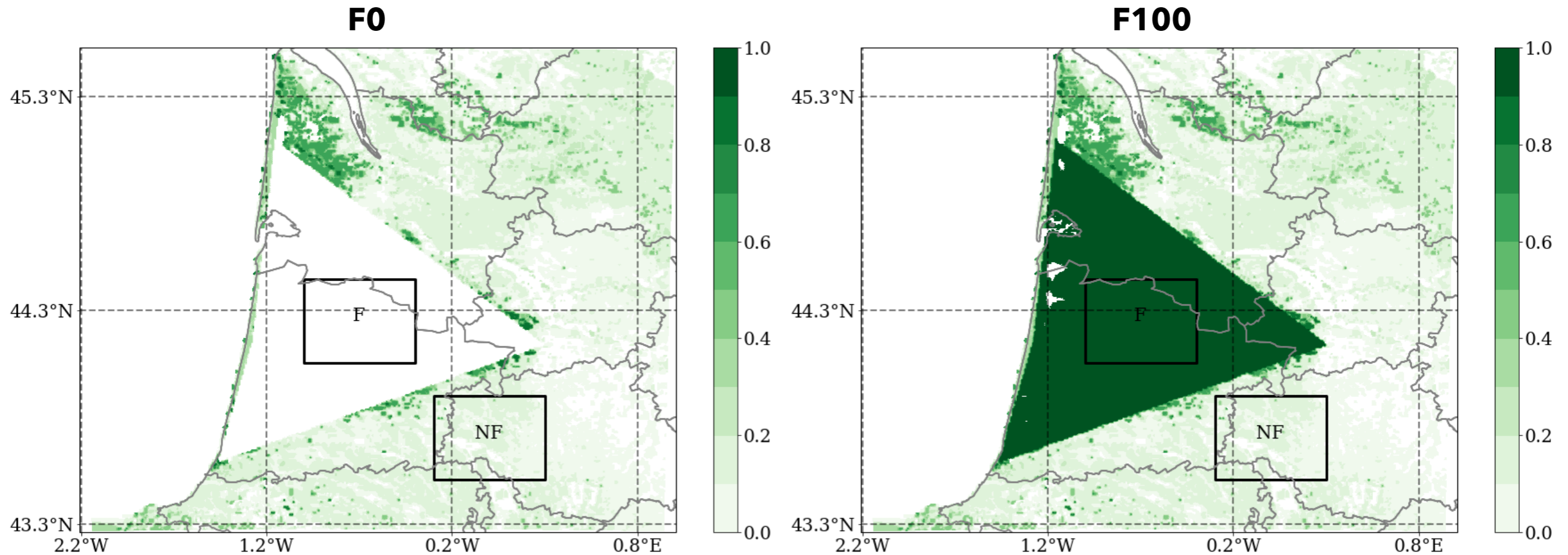


- Après la tempête Klaus :
 - LE : + 20%
 - H : - 20%

→ Couverture nuageuse : - 25% (Teuling et al., 2017)

Robustesse des résultats sur 14 cas

- Remplacement de la forêt des Landes par une couverture de surface idéalisée de prairie/conifère tempéré pour le cas 9 juillet 2013



● 0% de conifère tempéré (F0)

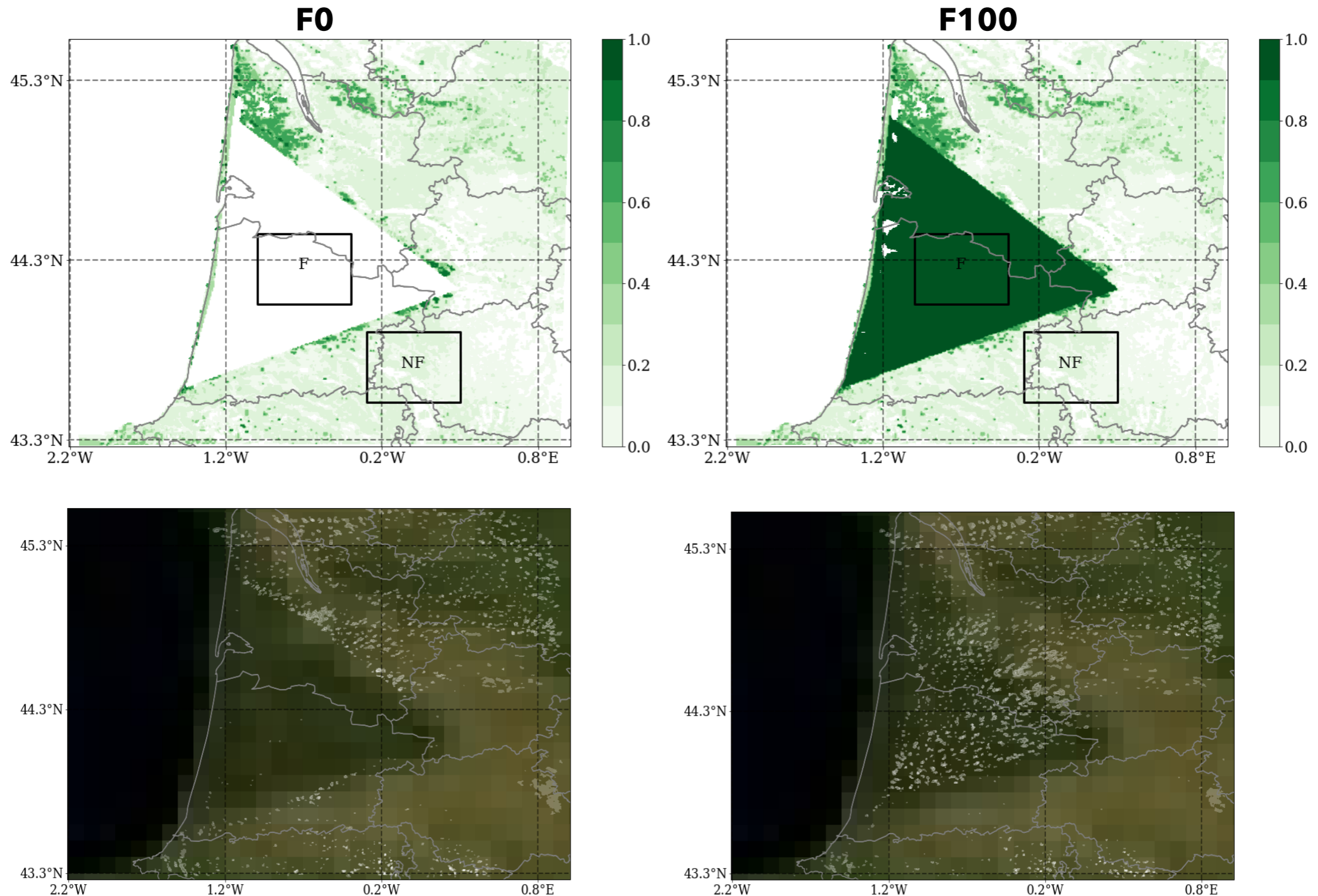
● 100% prairie

● 100% conifère tempéré (F100)

● 0% prairie

- Scénarios considérés : F0, F20, F40, F60, F80 et F100 (PreKlaus: 61%, PostKlaus: 38%)

- Remplacement de la forêt des Landes par une couverture de surface idéalisée de prairie/conifère tempéré pour le cas 9 juillet 2013



- **Simulation réaliste** de la couverture nuageuse forestière de CL par le modèle couplé surface-atmosphère
- **Processus physiques** responsables de la différence d'ennuagement de CL **identifiés** :
 - ▶ **Albédo plus faible** : RN plus fort
 - ▶ **H plus fort** et **LE plus faible** : H prévaut
 - ▶ H prévaut : **mouvement convectif plus fort** (vent vertical et production thermique de turbulence)
 - ▶ **Augmentation de la longueur de rugosité** générant de la production dynamique de turbulence
- La **diminution de la couverture nuageuse** après Klaus montré par Teuling et al. (2017) a bien été **simulée et quantifiée** sur 14 cas

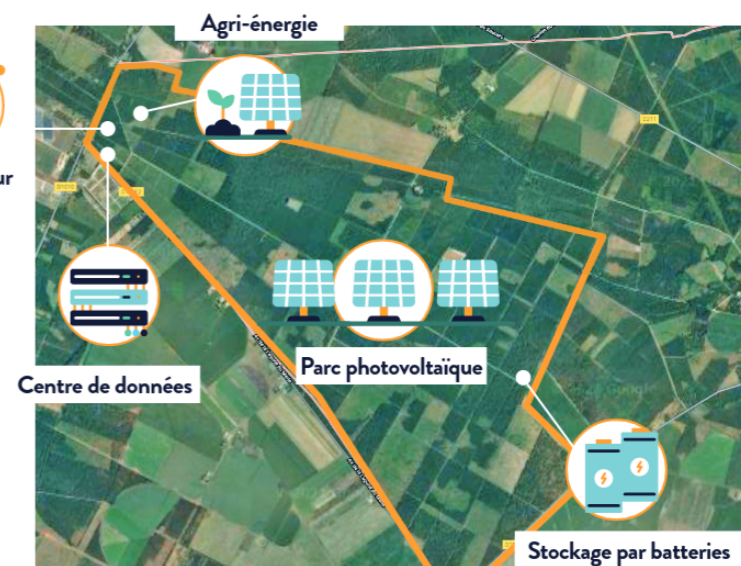
- **Simulation réaliste** de la couverture nuageuse forestière de CL par le modèle couplé surface-atmosphère
- **Processus physiques** responsables de la différence d'ennuagement de CL **identifiés** :
 - ▶ **Albédo plus faible** : RN plus fort
 - ▶ **H plus fort** et **LE plus faible** : H prévaut
 - ▶ H prévaut : **mouvement convectif plus fort** (vent vertical et production thermique de turbulence)
 - ▶ **Augmentation de la longueur de rugosité** générant de la production dynamique de turbulence
- La **diminution de la couverture nuageuse** après Klaus montré par Teuling et al. (2017) a bien été **simulée et quantifiée** sur 14 cas

- **Utilisation prospective** plus approfondie **du modèle** pour un **changement d'utilisation des terres**

- ▶ Exemple de projet de développement foncier : ferme solaire Horizeo (1000 ha)



Electrolyseur



Projet
Horizeo

Occupation des terres et climat régional: impact des surfaces forestières sur l'ennuagement dans le sud-ouest de la France

Gaëtan Noual

<https://theses.hal.science/tel-04211022>



JGR Atmospheres

Simulating the Effects of Regional Forest Cover and Windthrow-Induced Cover Changes on Mid-Latitude Boundary-Layer Clouds

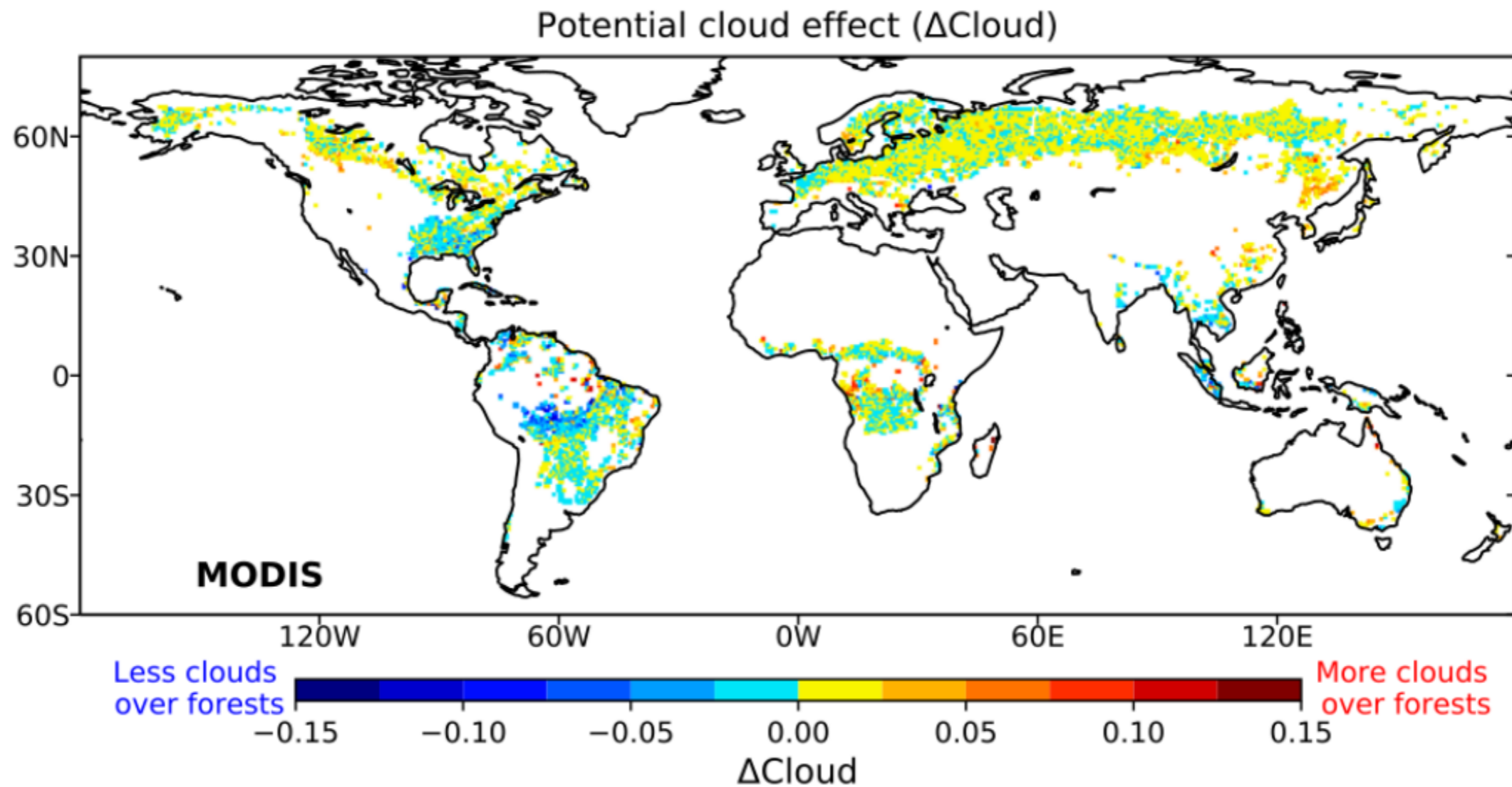
G. Noual^{1,2} , Y. Brunet¹ , P. Le Moigne² , and C. Lac² 

¹ISPA, INRAE, Villenave d'Ornon, France, ²CNRM, Université de Toulouse, Météo-France, CNRS, Toulouse, France



MERCI POUR VOTRE ATTENTION

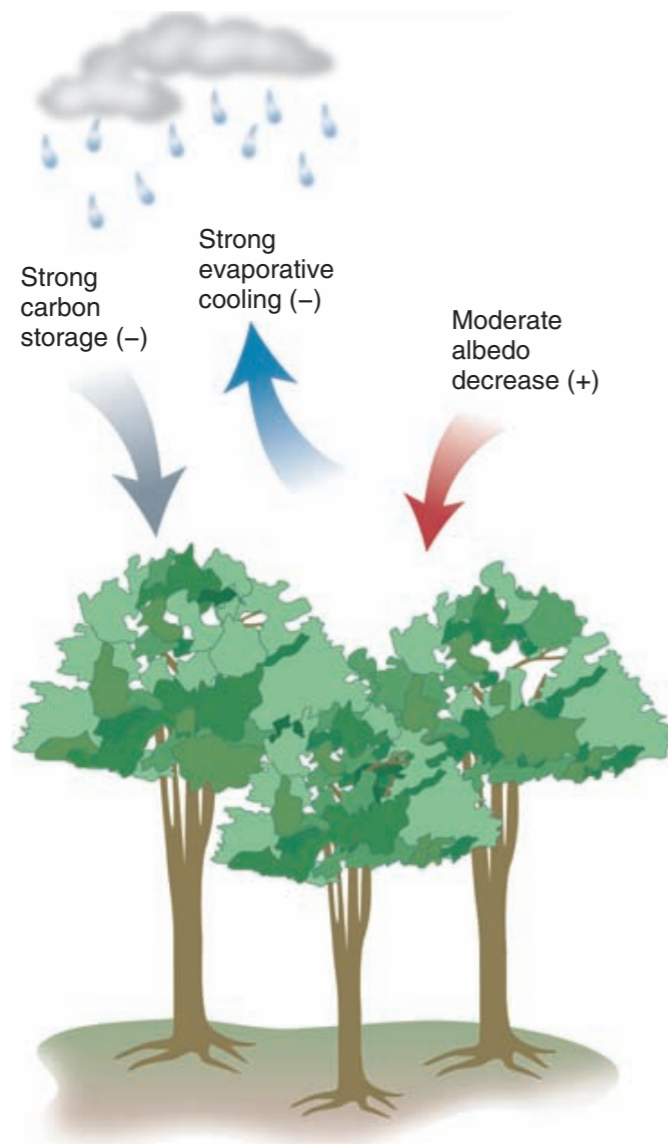
- Effect of the forest on cloudiness is highly dependent on the region



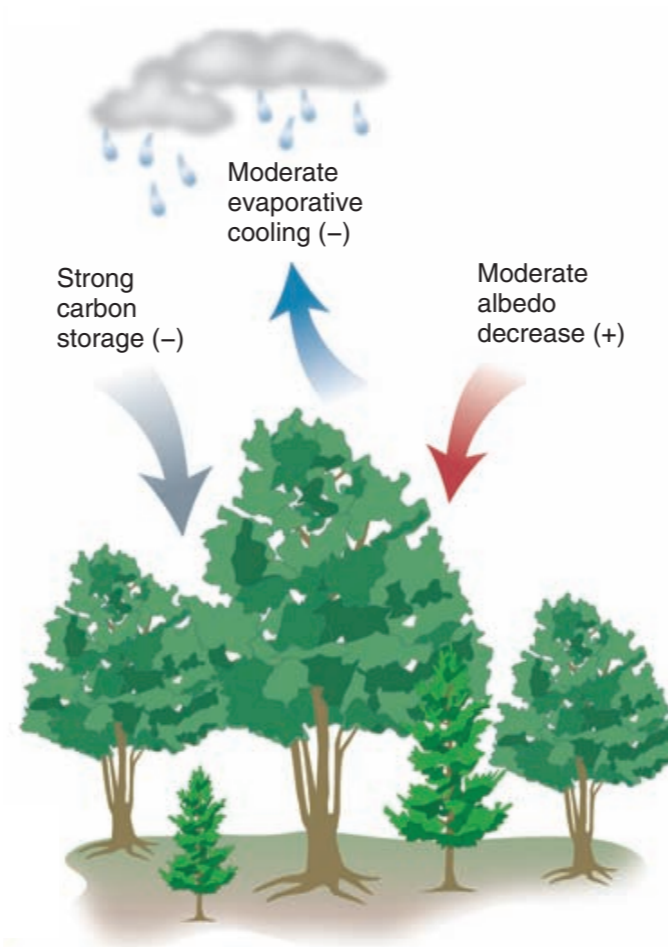
Xu et al. (2022)

- Impact of the climate region

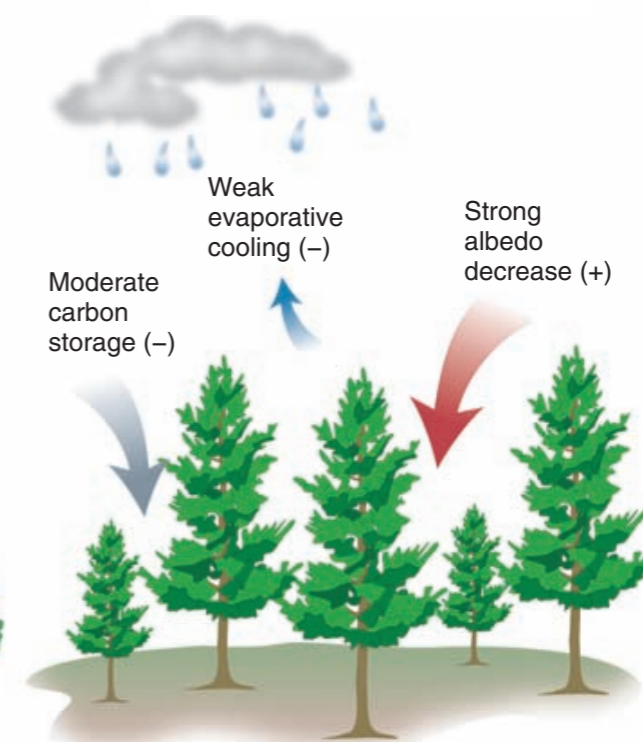
Tropical forest



Temperate forest

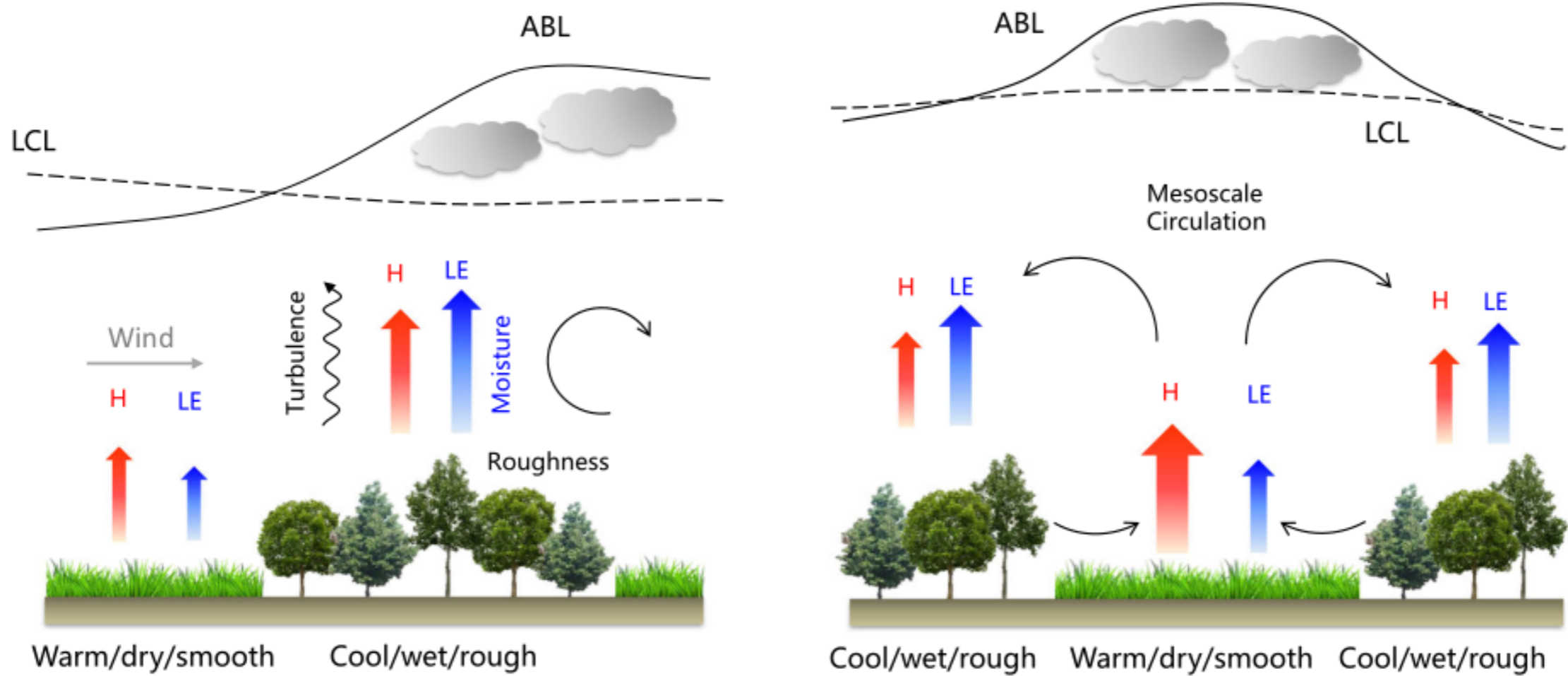


Boreal forest



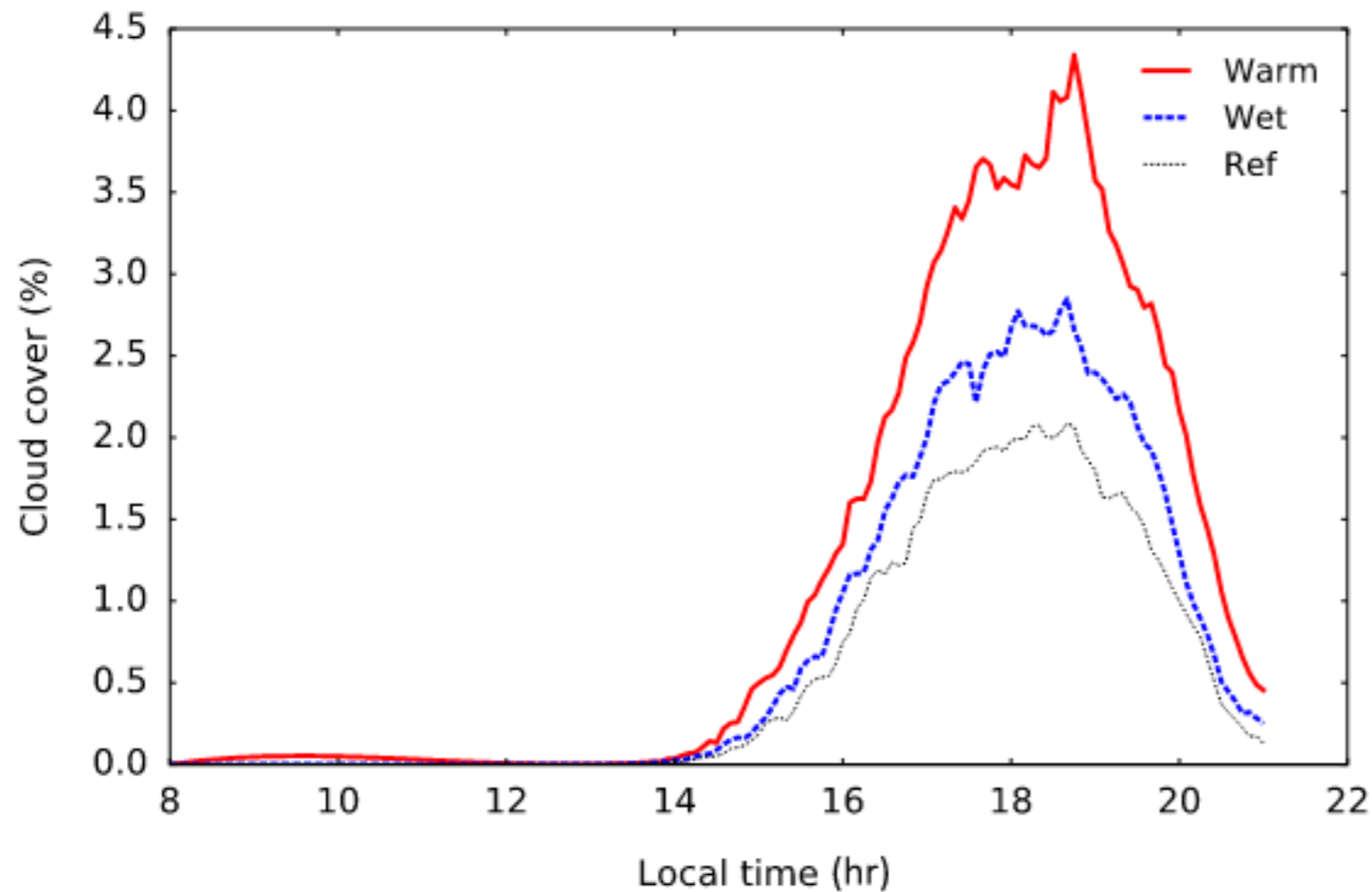
Bonan et al. (2008)

- Surface heterogeneities: contrasted results



Xu et al. (2022)

- Key role of the distribution between sensible (H) and latent (LE) heat surface fluxes



- Warm: Ref + 5% H
- Wet: Ref + 5% LE

Bosman et al. (2019)

- Is a coupled surface-atmosphere mesoscale model capable of reproducing a BL cloud cover contrast between forest and non-forest?

➔ **Evaluation of mesoscale modelling**

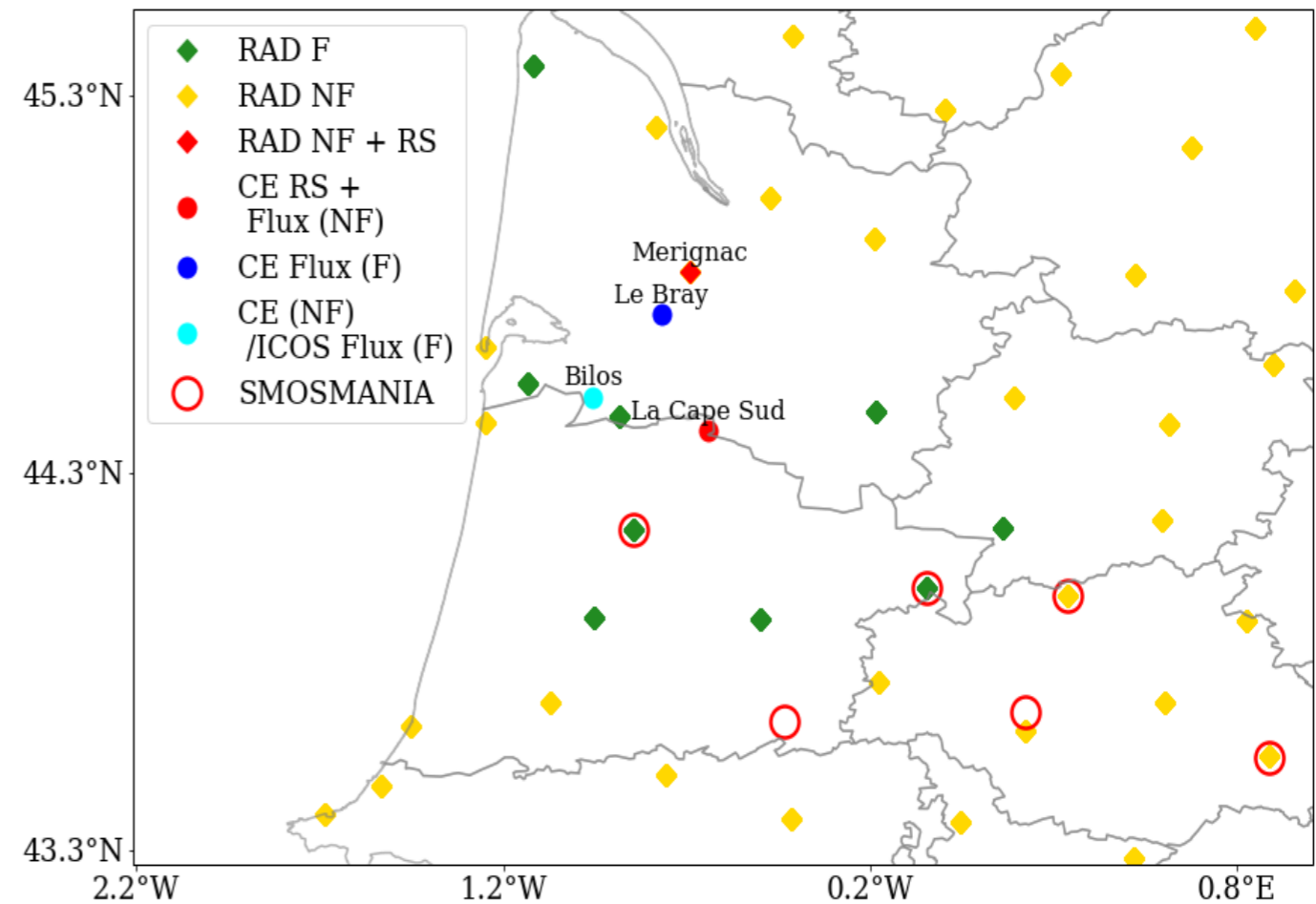
- What are the predominant BL processes that generate differences in cloudiness between forest and non-forest?

➔ **Improvement of the understanding the processes**

- What is the effect of changes in forest cover on cloud diurnal cycle?

➔ **Quantification of forest cover change impact**

- Satellite data: MSG or MODIS
- CarboEurope (CE) campaign measurement
- BL survey: radiosonde (RS)
- Flux measurement: Bilos ICOS station
- ◆ Operational ground network: RADOME (RAD F or NF)
- Soil measurement: SMOSMANIA

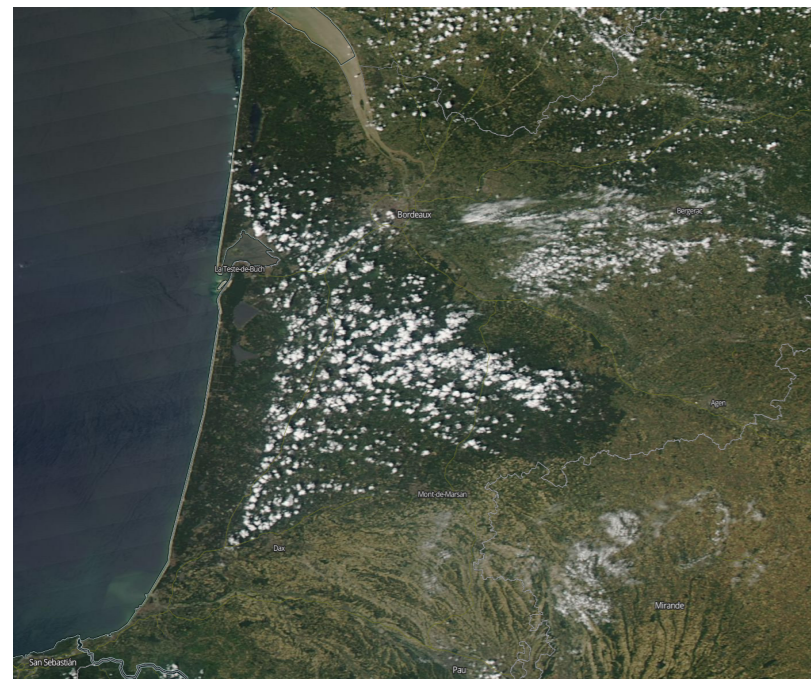


Location of observation data

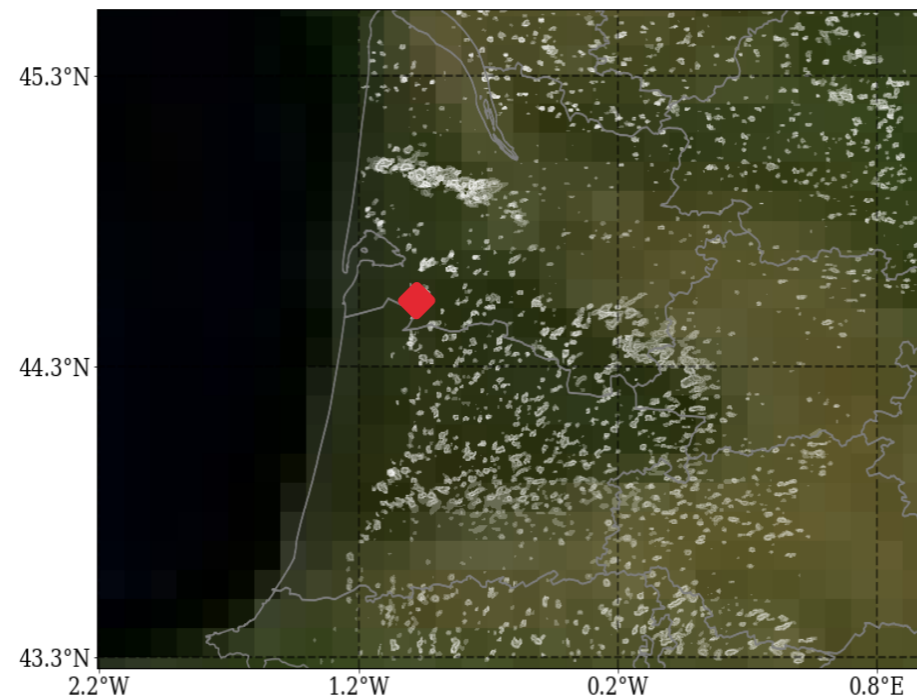
- Model initialization and boundary conditions

9 July 2013

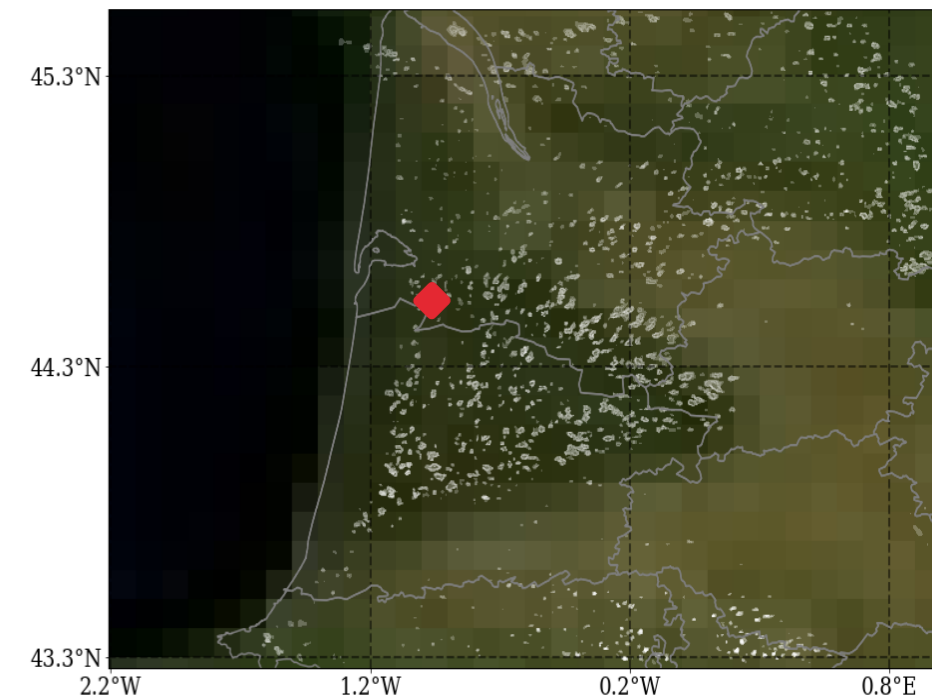
Average cloud fraction between 500 and 3000 m at 13 UTC



AQUA Satellite

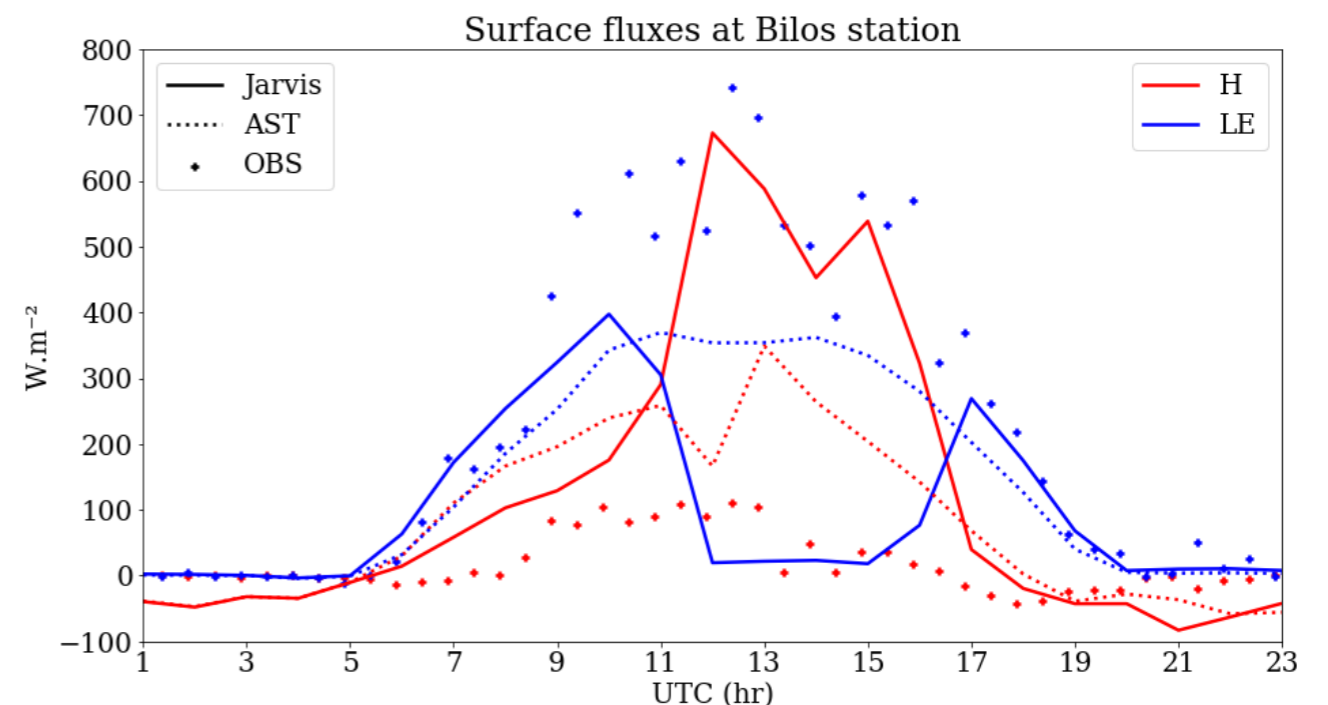


AROME Init



ECMWF Init

- Photosynthesis parameterization (Stomatal control)
 - Jarvis : semi-empirical approach
 - ISBA-A-gs (AST) : physical approach
- ➔ High impact on surface fluxes

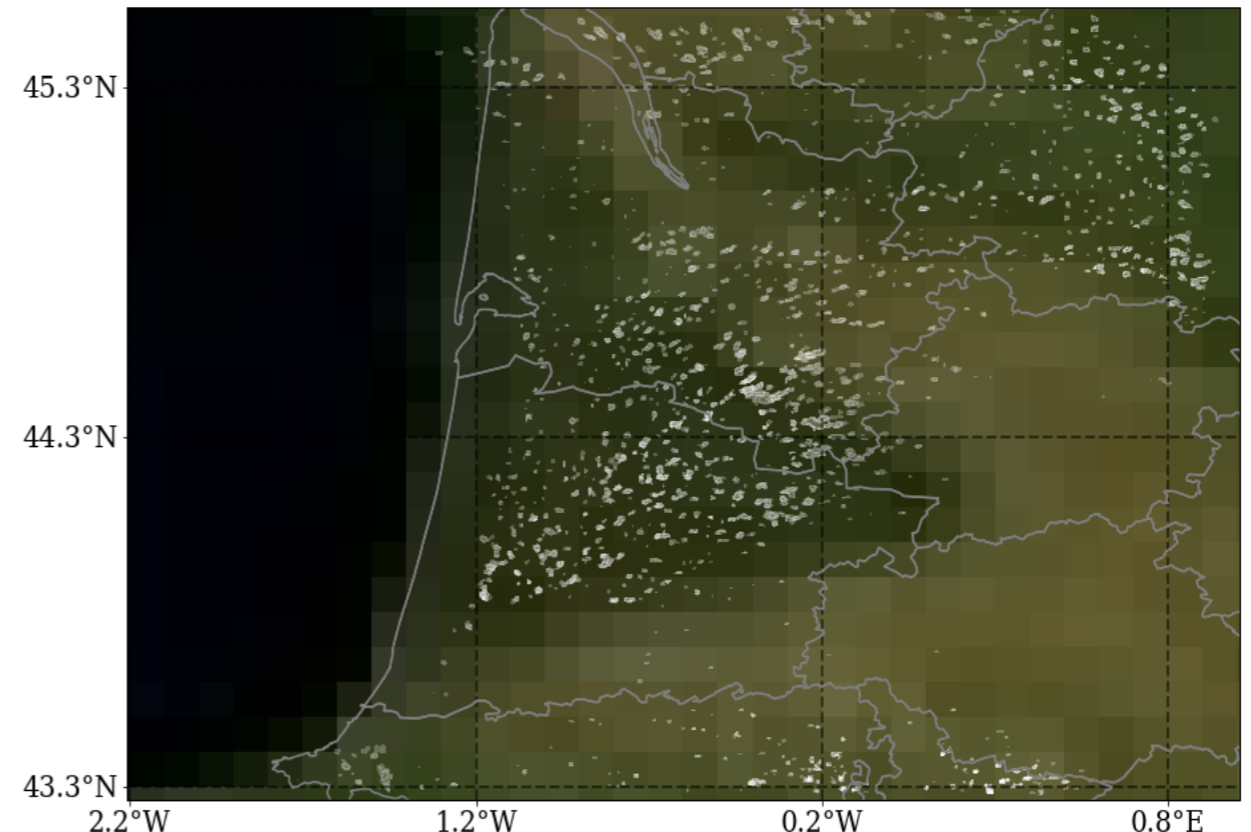
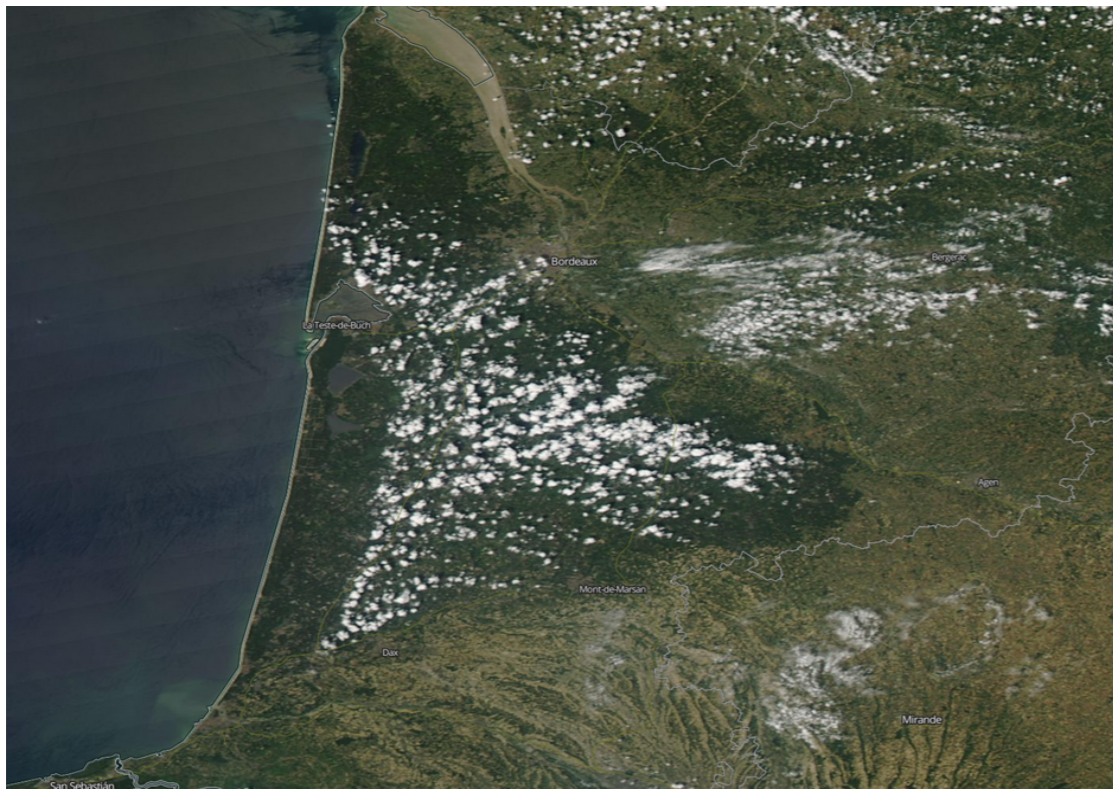


- **Initialization and atmospheric forcing:** AROME, **ECMWF**
- **Surface parameterization:** **ISBA** soil and vegetation model: 3L, DIF, **DIF/MEB**
- **Plant photosynthesis parameterization:** Jarvis, **AST**
- **Atmospheric parameterization:**
 - Shallow convection scheme: EDMF, EDMF-GZ, **OFF**
 - Turbulence scheme: **TURB1D** (cost)
 - Radiation scheme: **ECRAD**

9 July 2013 13 UTC

Observation

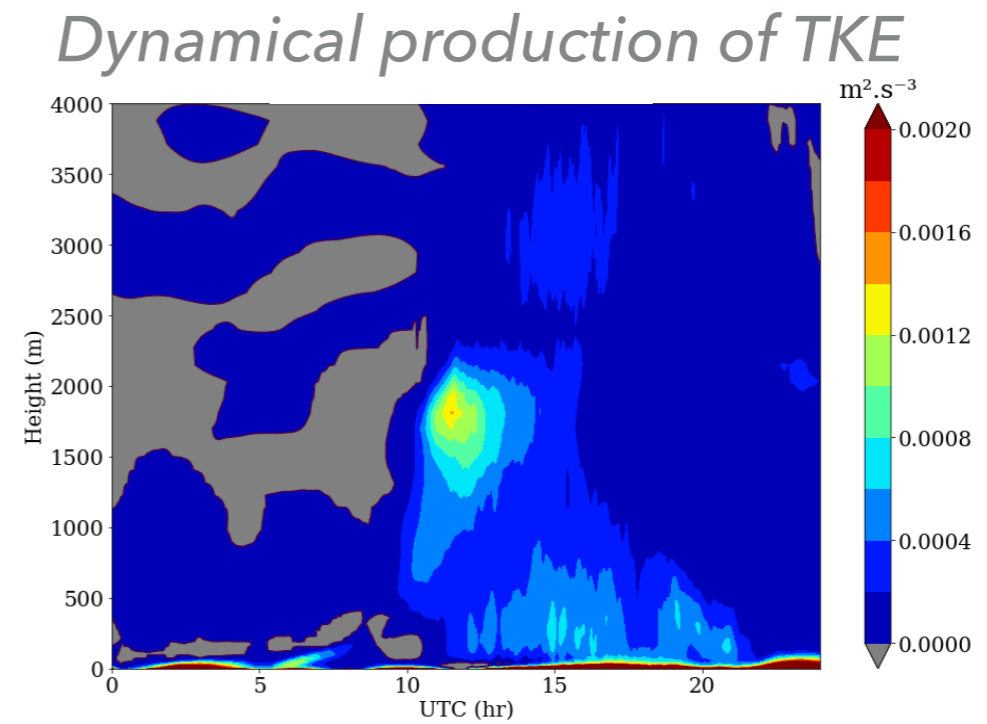
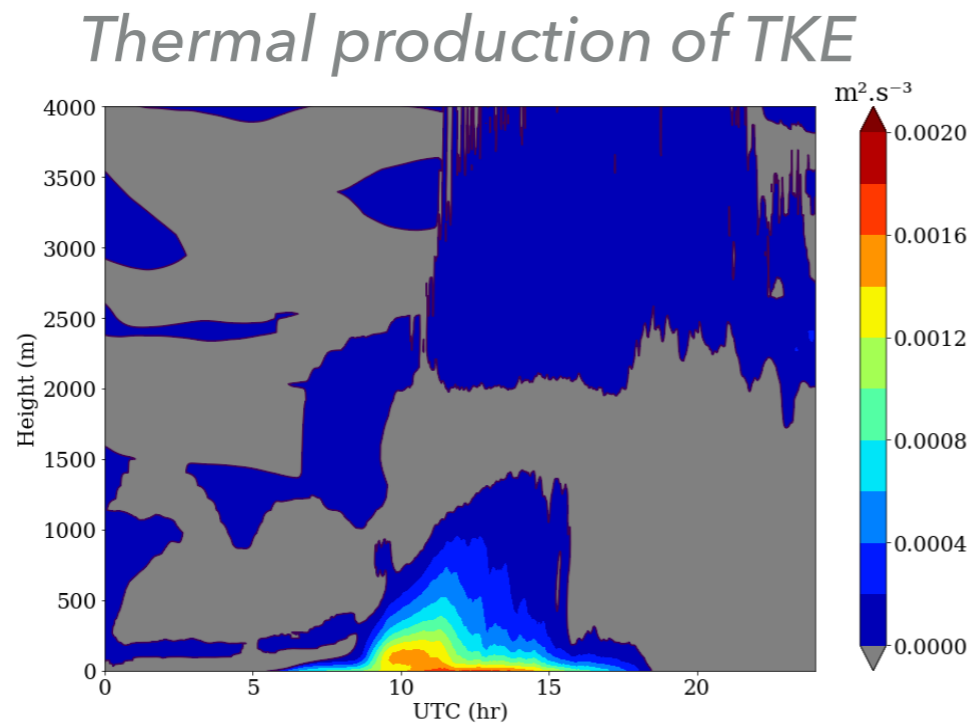
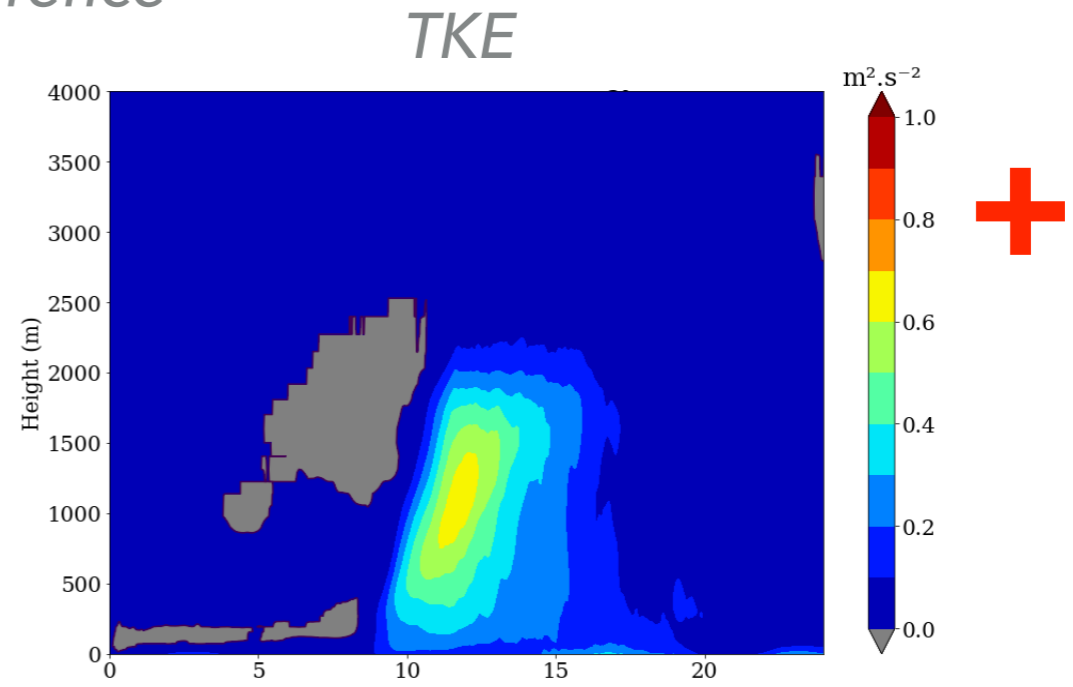
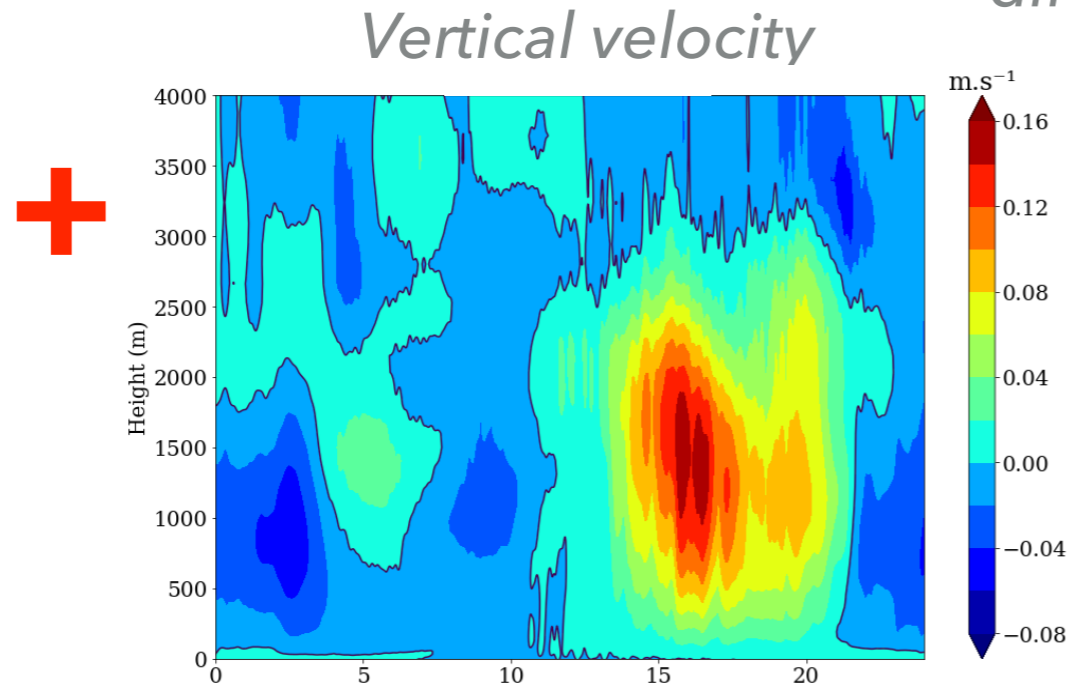
Simulation



- Effects on dynamics

*Forest-NonForest
difference*

9 July 2013



- Thermal production in the lower part of the BL

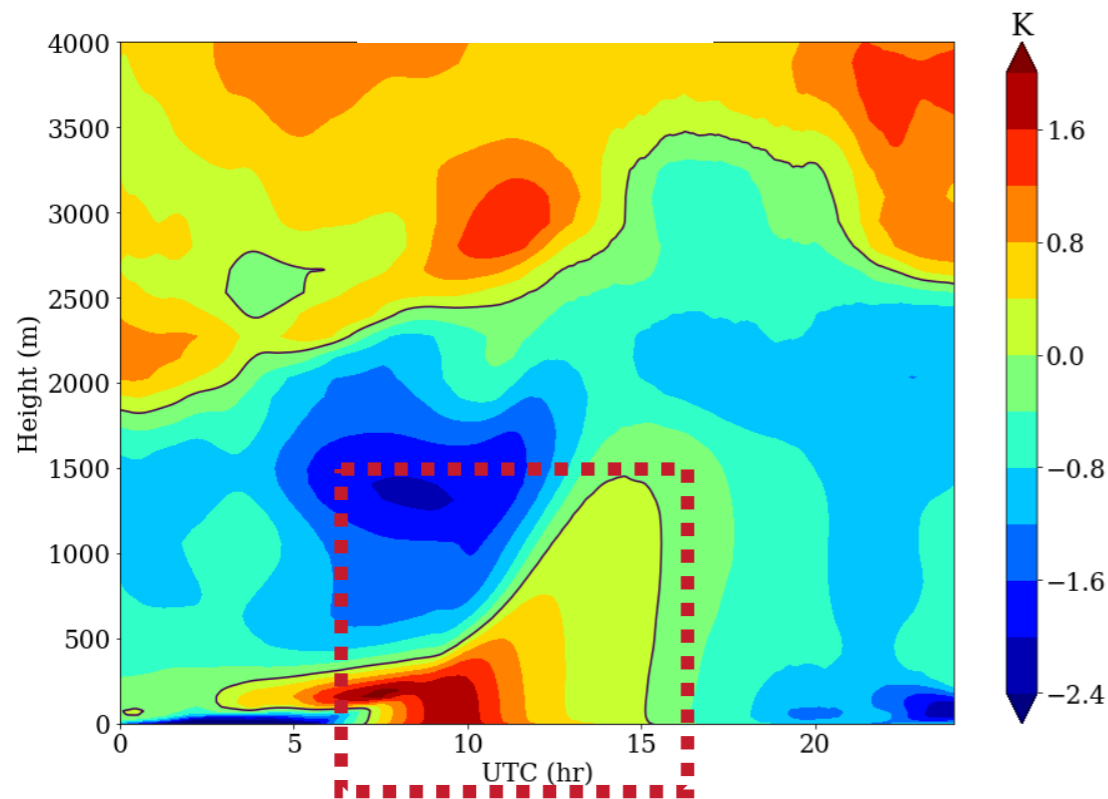
- Dynamical production in the upper part

- Effects on thermodynamics

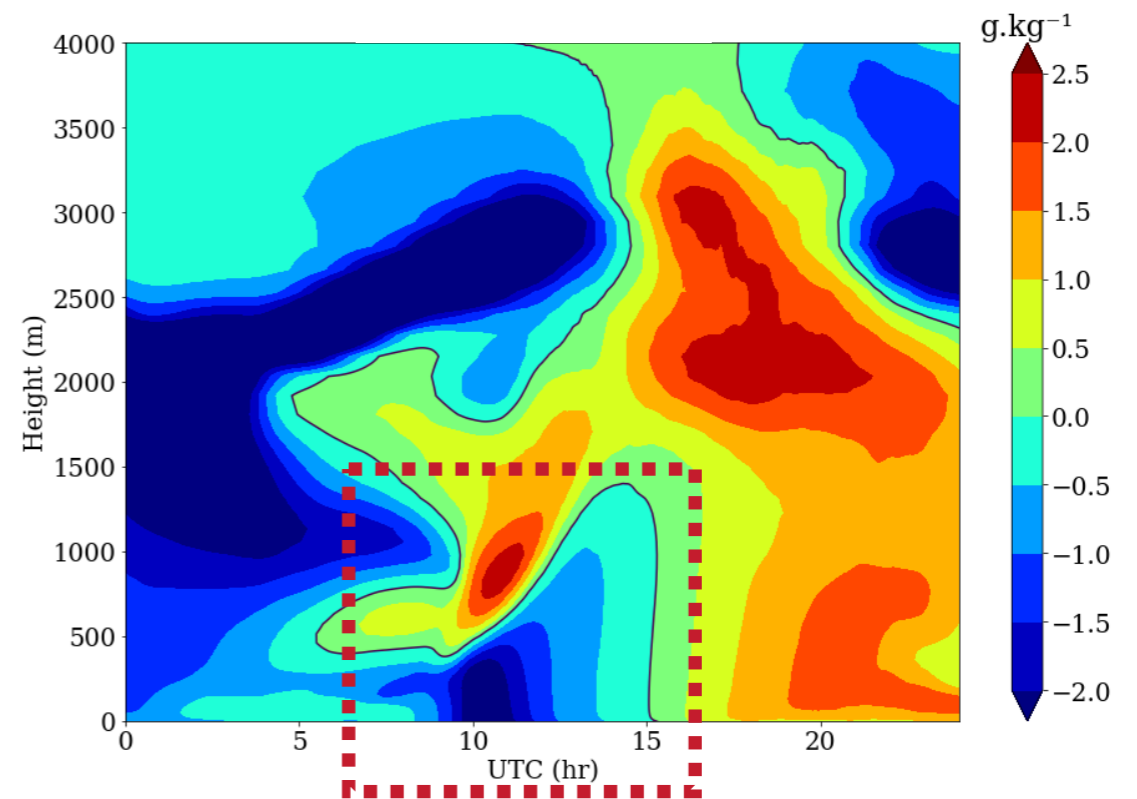
9 July 2013

*Forest-NonForest
difference*

Potential temperature



Vapour mixing ratio



- Higher sensible heat flux on forest

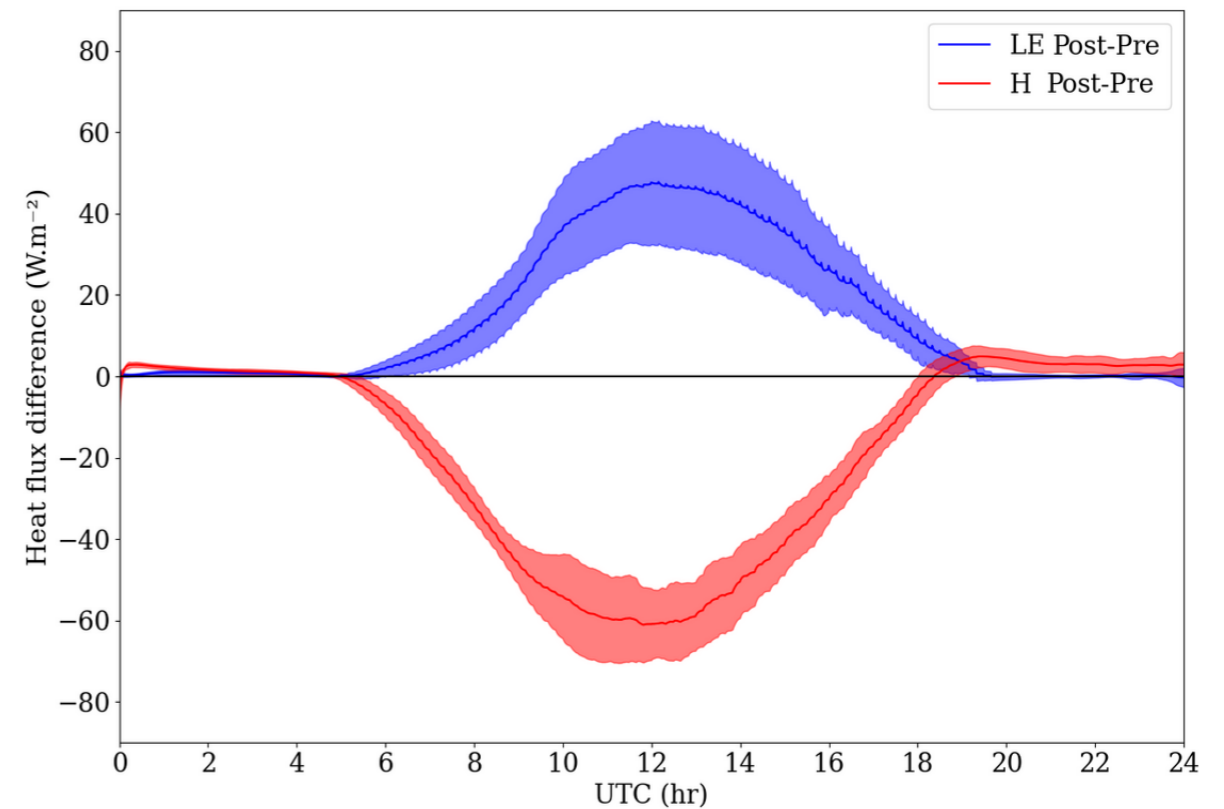
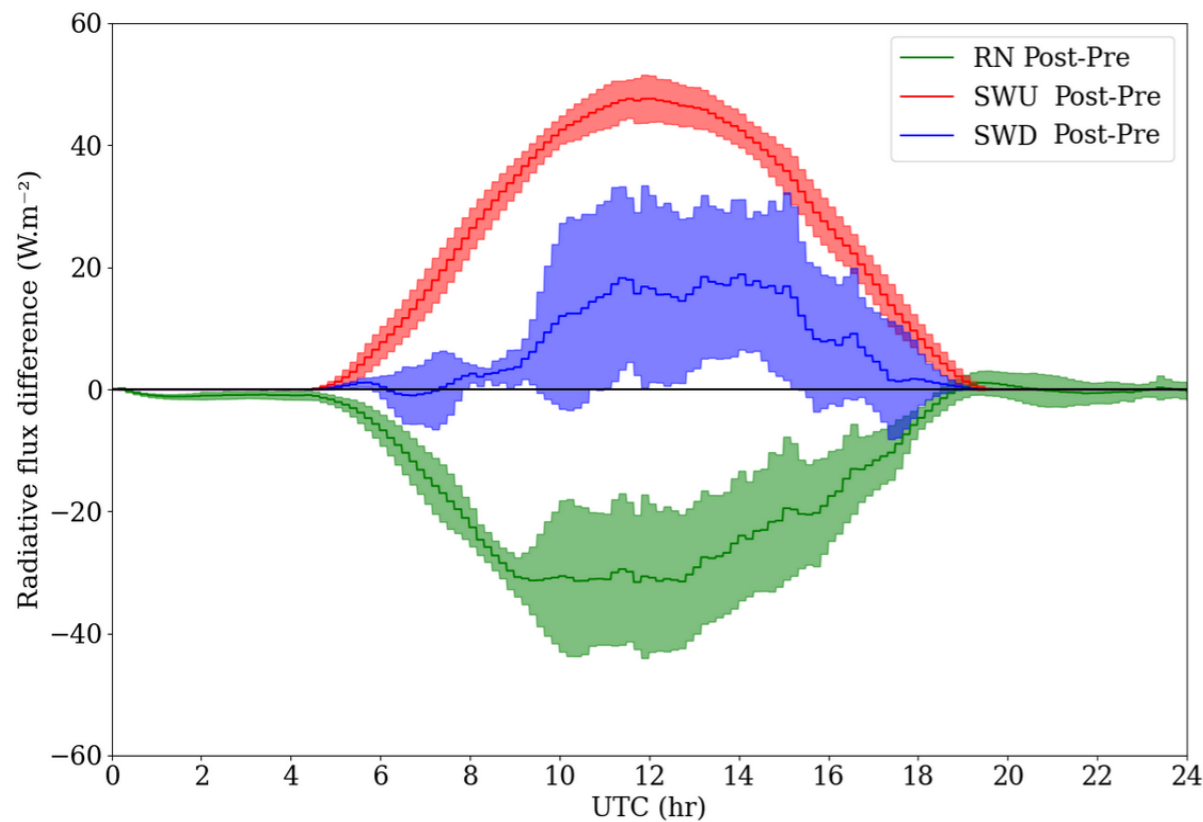
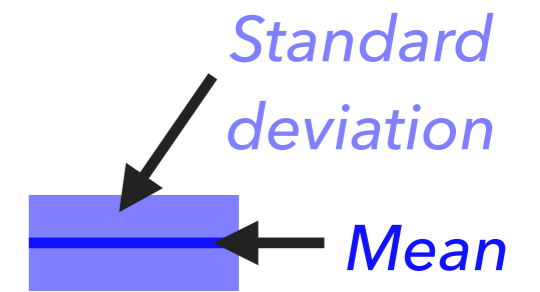
➔ Warmer BL

- Lower latent heat flux on forest

➔ Drier BL

- Validation on 14 summer BL cloud cases between 2016 and 2022

Mean over F



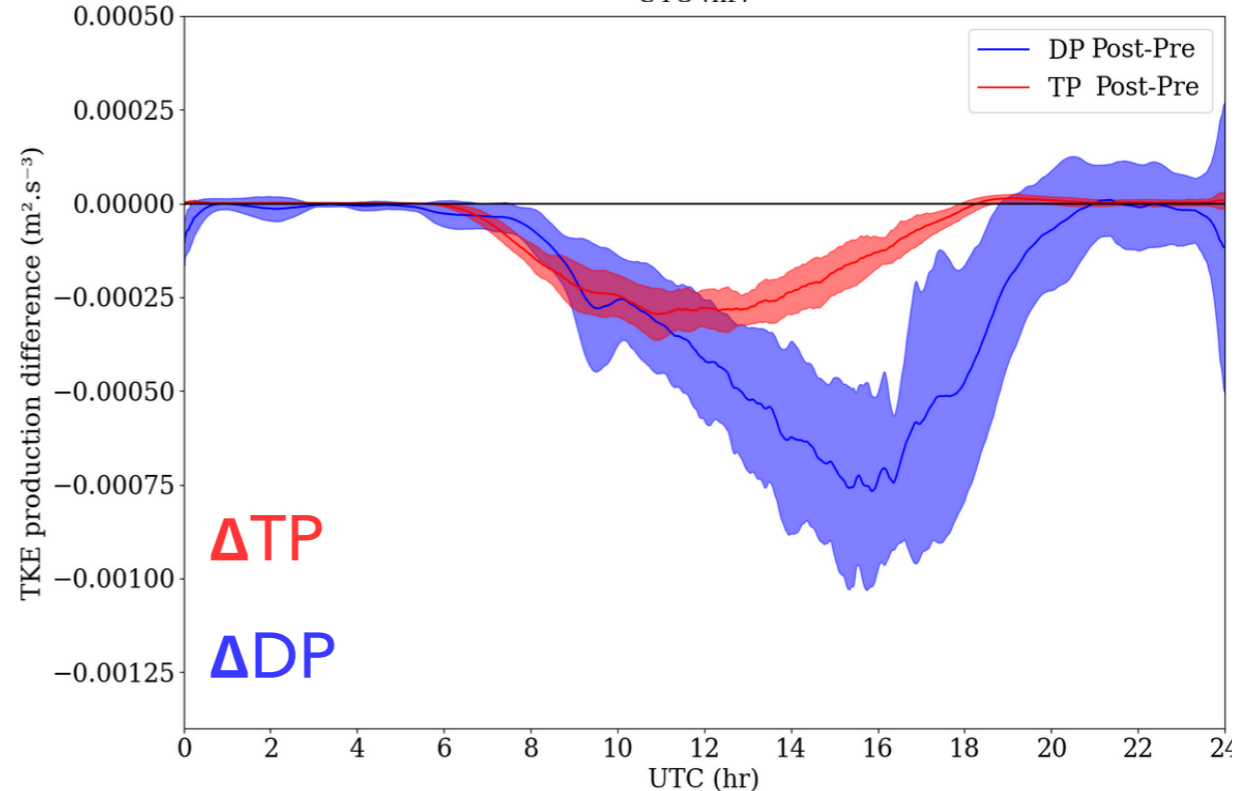
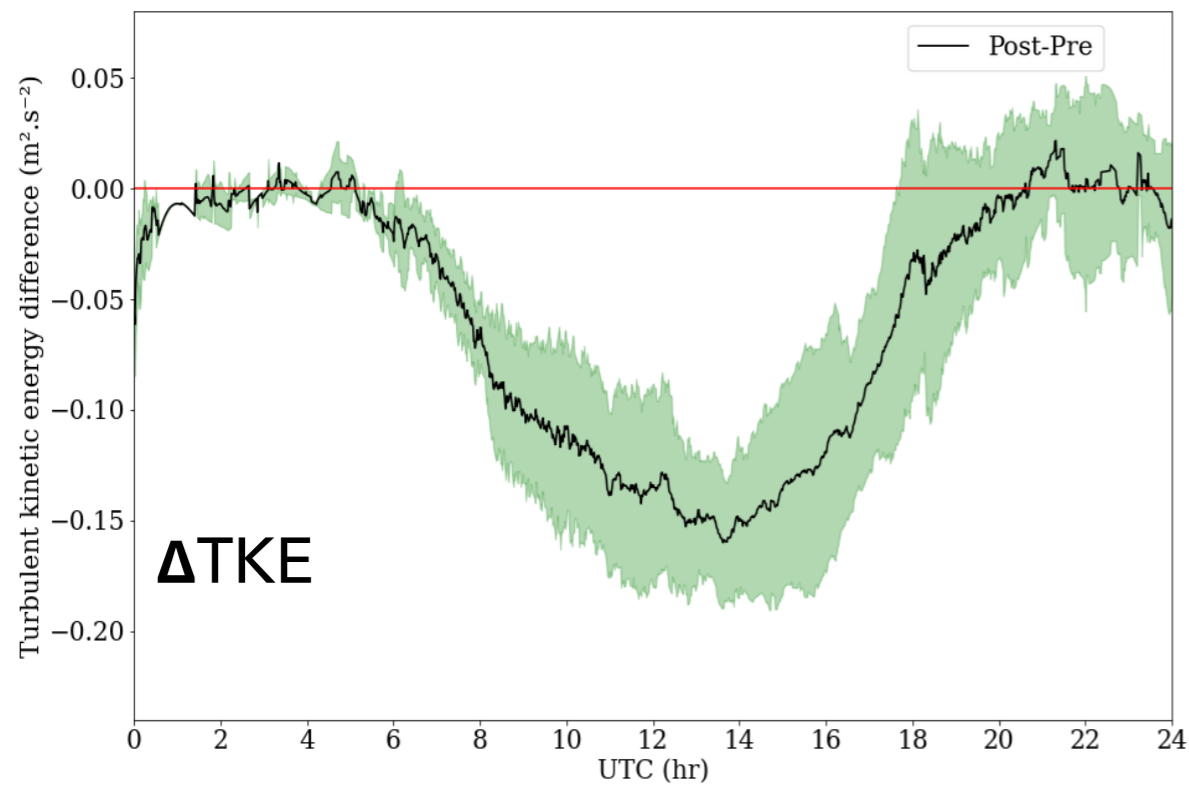
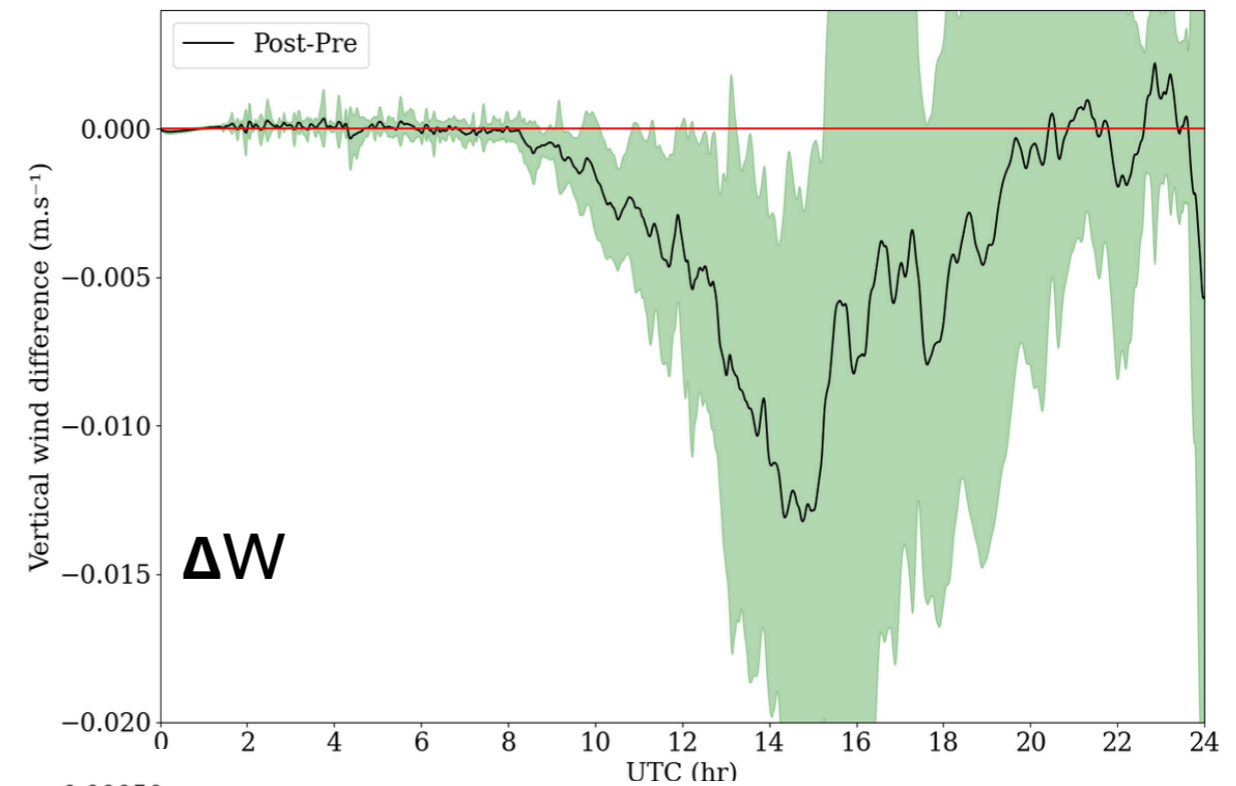
- Net radiation: - 5%
- Short wave down: + 3%
- Short wave up: + 40%

- Latent heat flux: + 20%
- Sensible heat flux: - 20%

- Validation on 14 summer BL cloud cases between 2016 and 2022

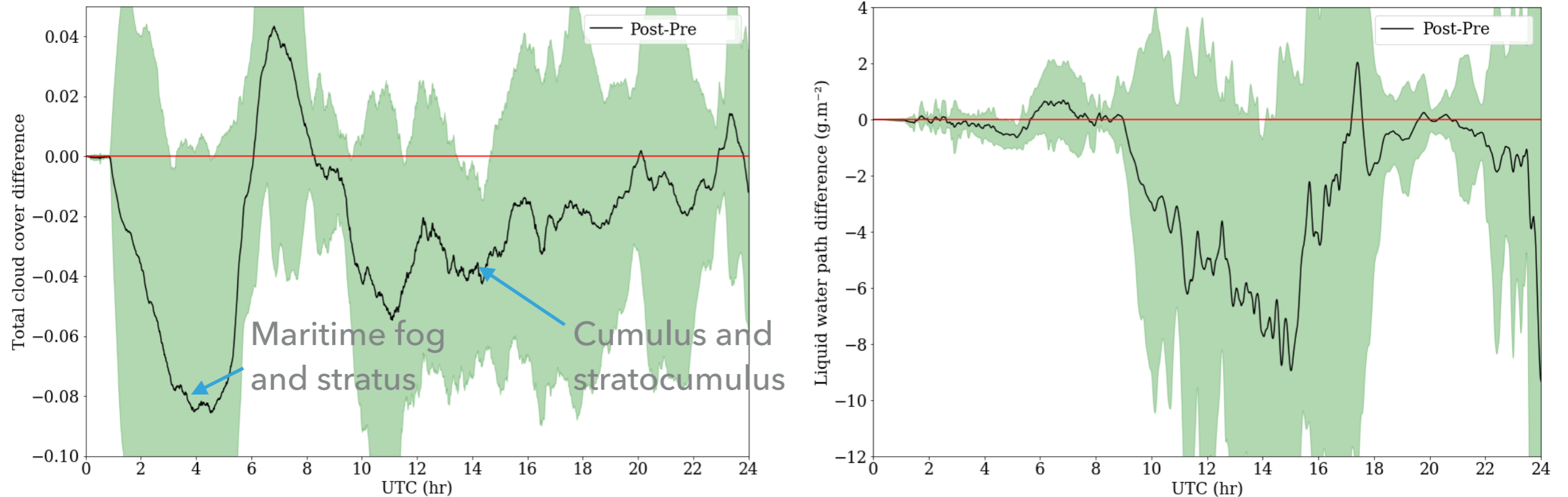
Mean over F on the first 4000 m

- Turbulent kinetic energy: - 18%
- Dynamical production: - 35%
- Thermal production: - 30%



- Validation on 14 summer BL cloud cases between 2016 and 2022

Mean over F on the first 4000 m



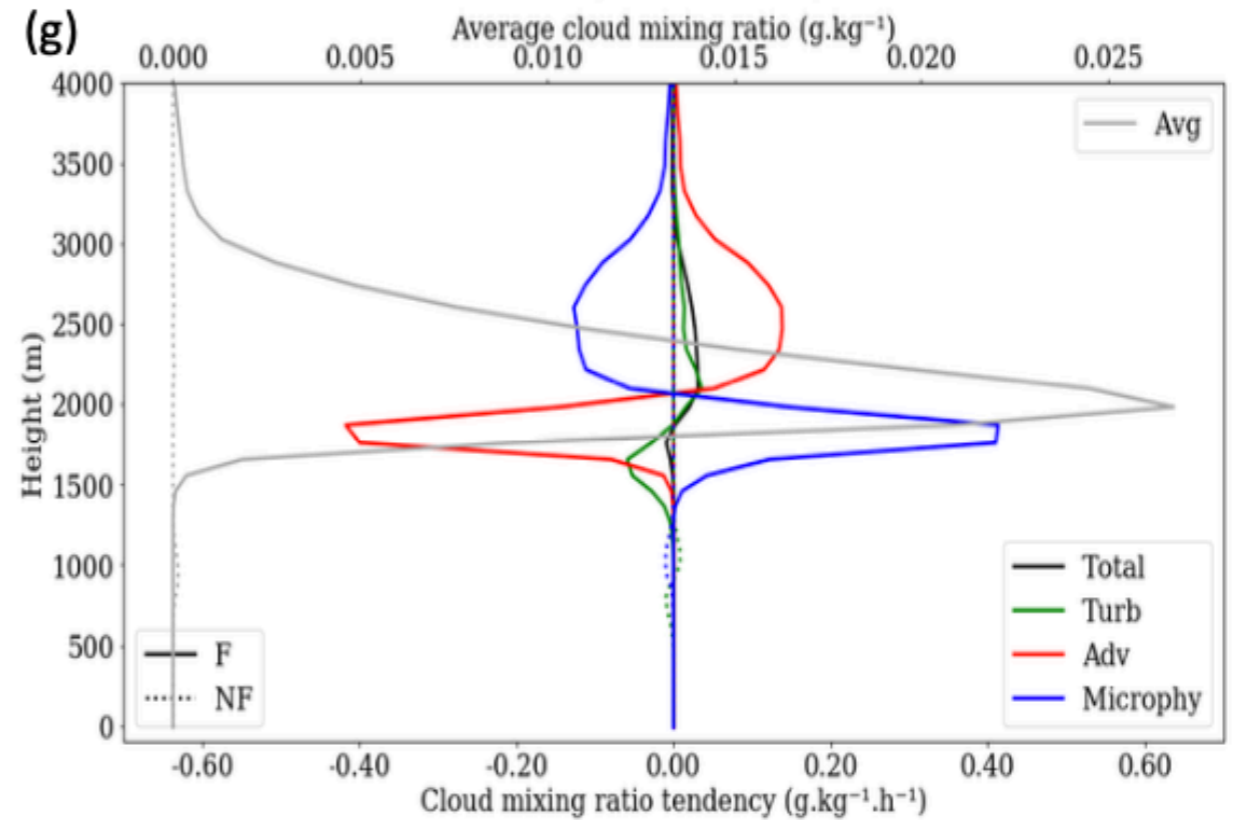
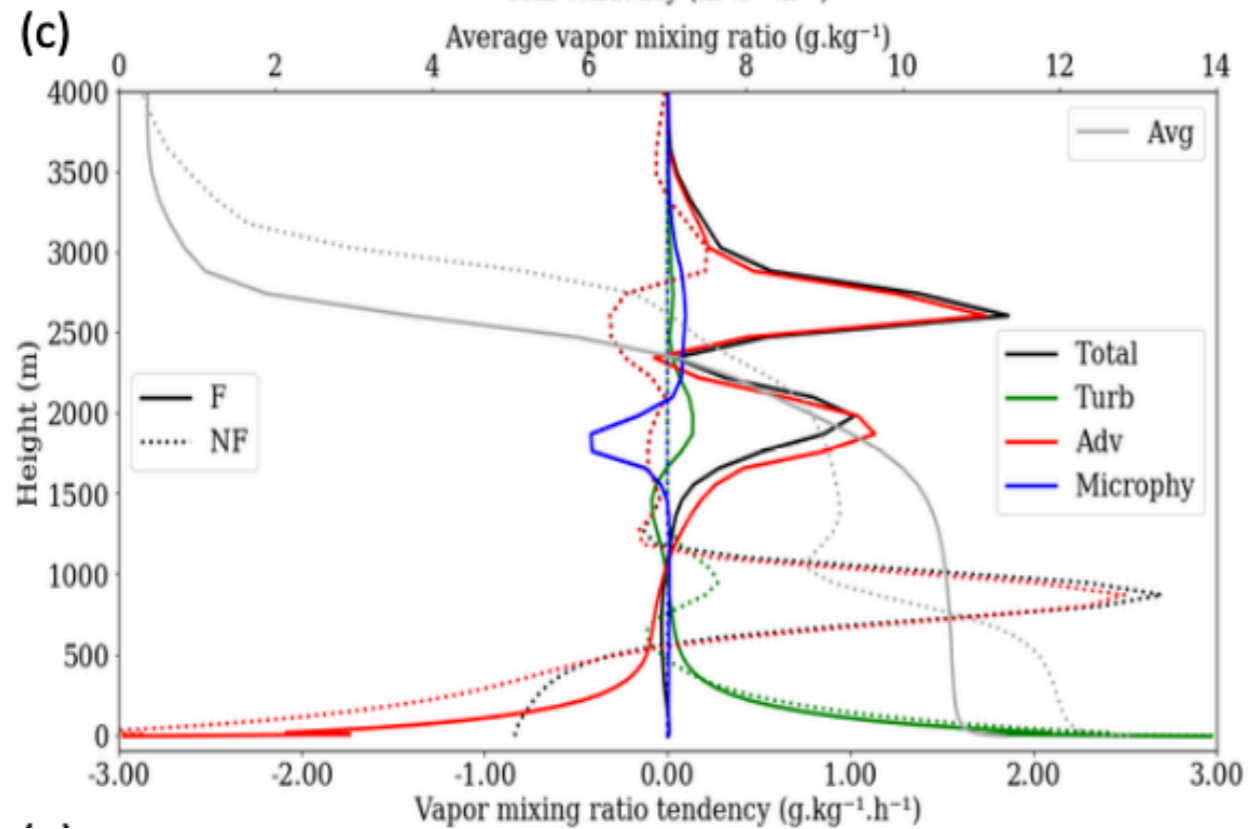
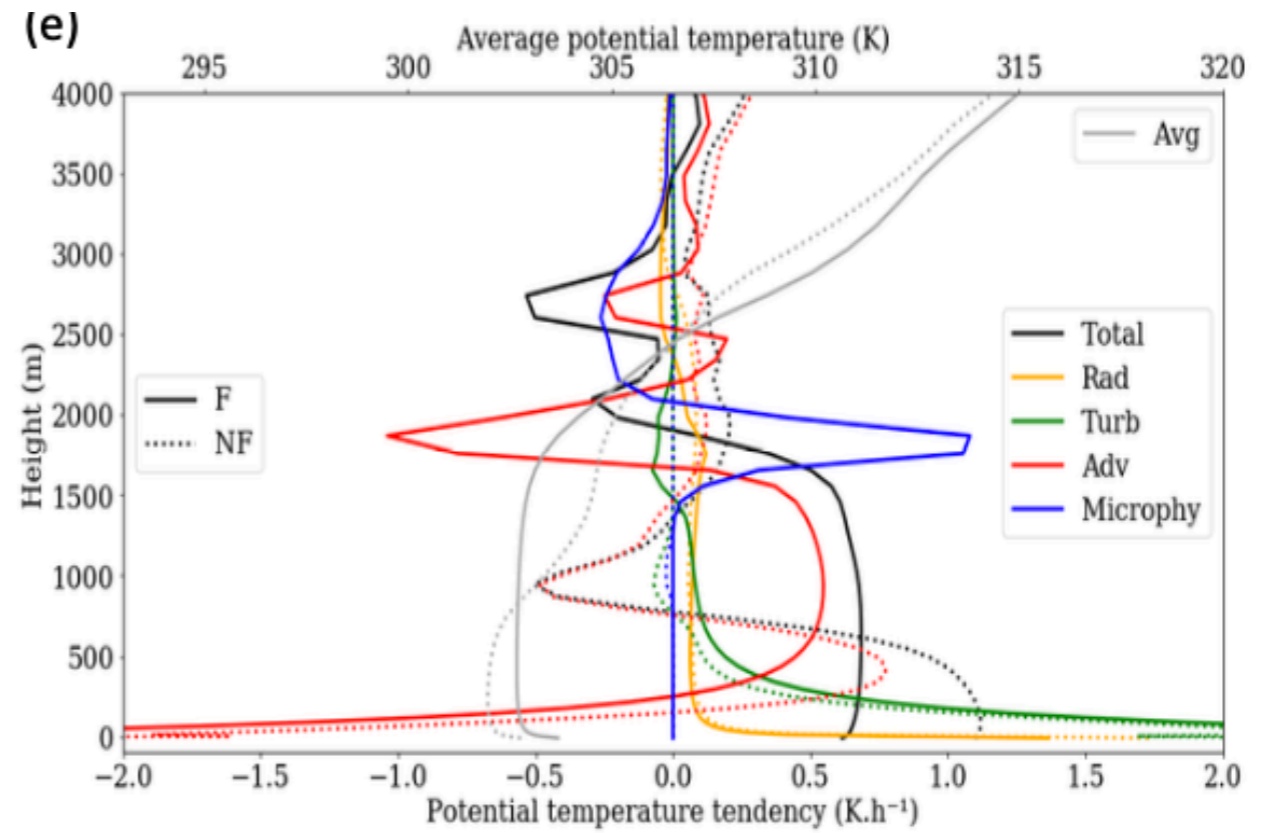
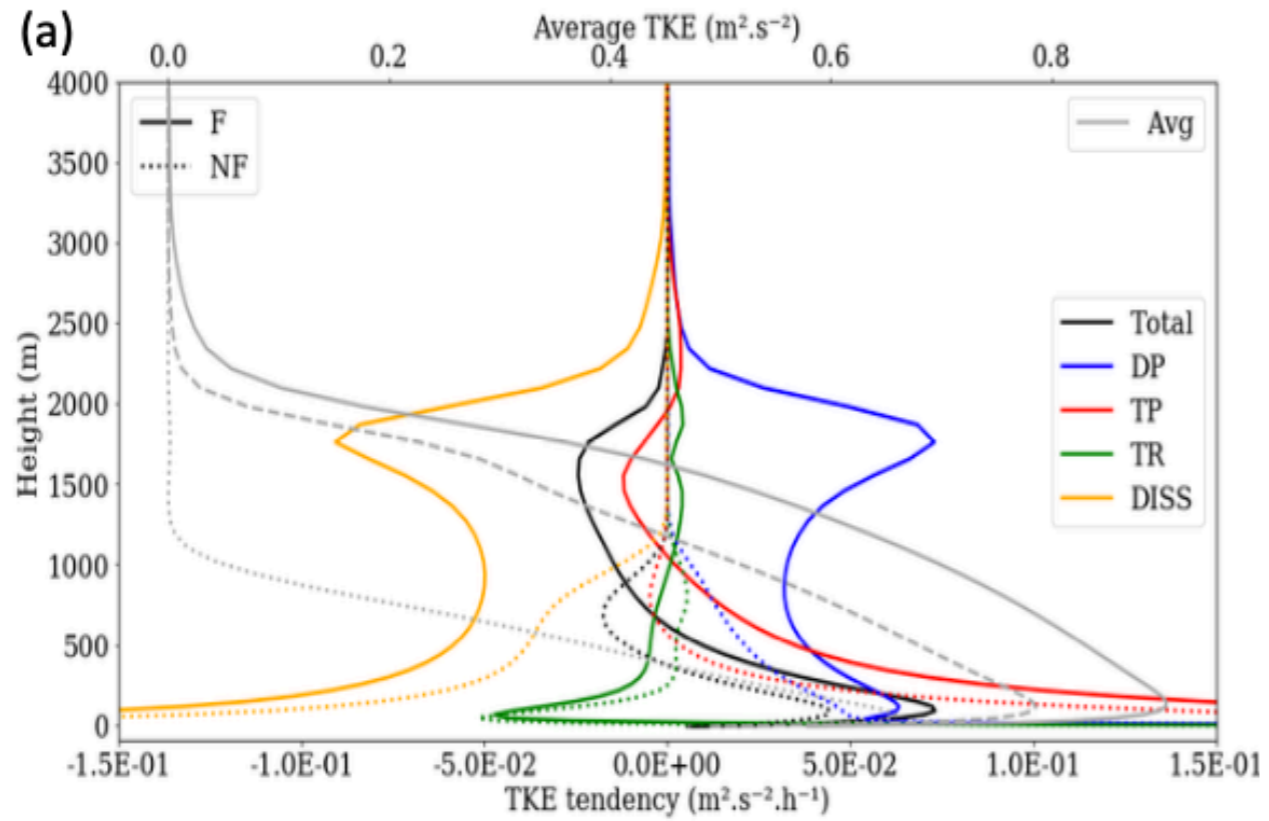
- During the convective phase:

➔ Cloud cover: - 25%
(Teuling et al., 2017)

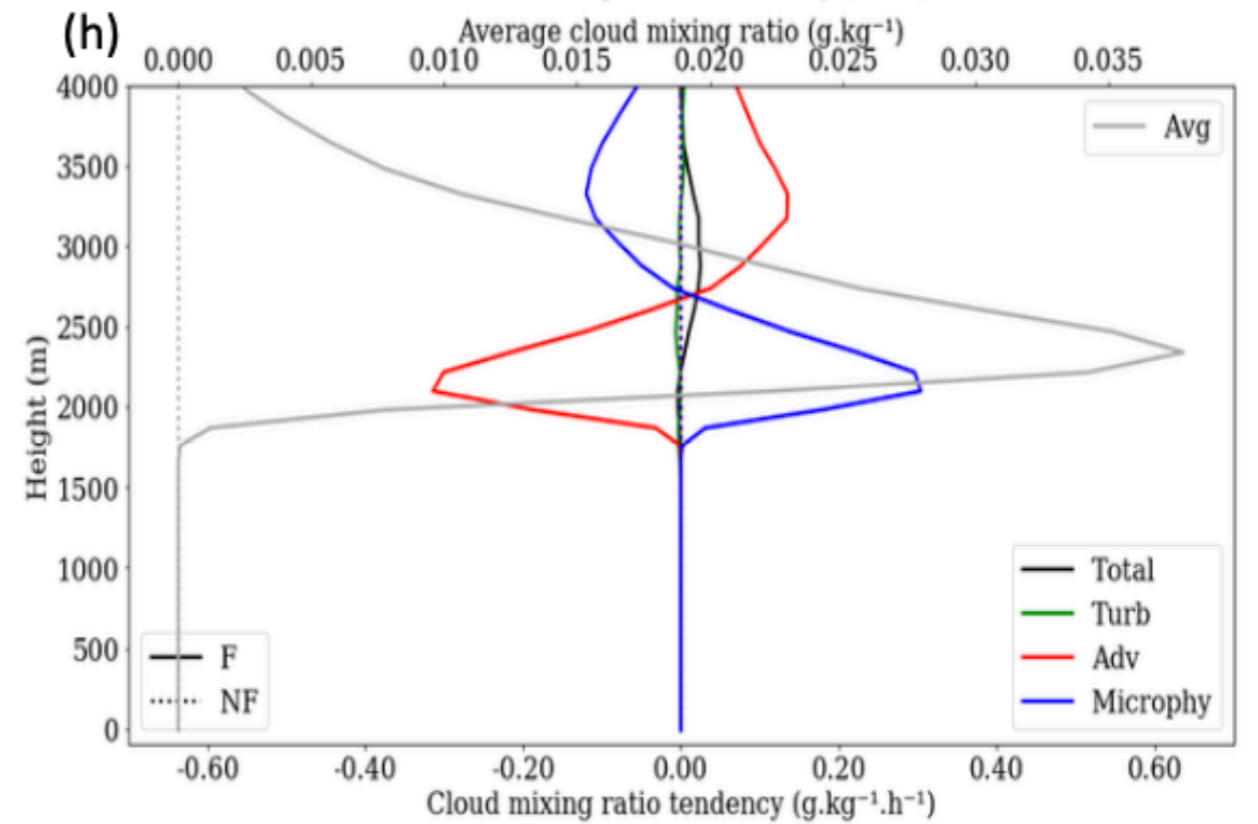
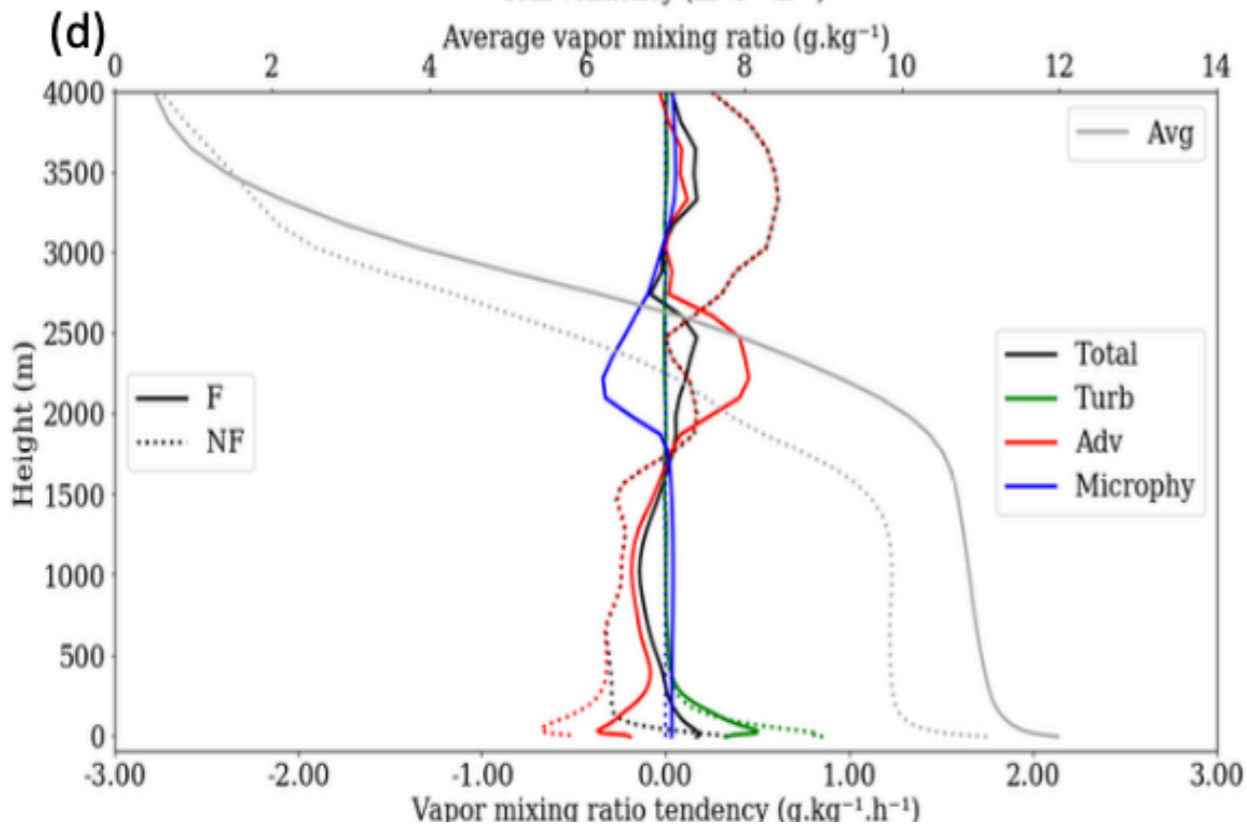
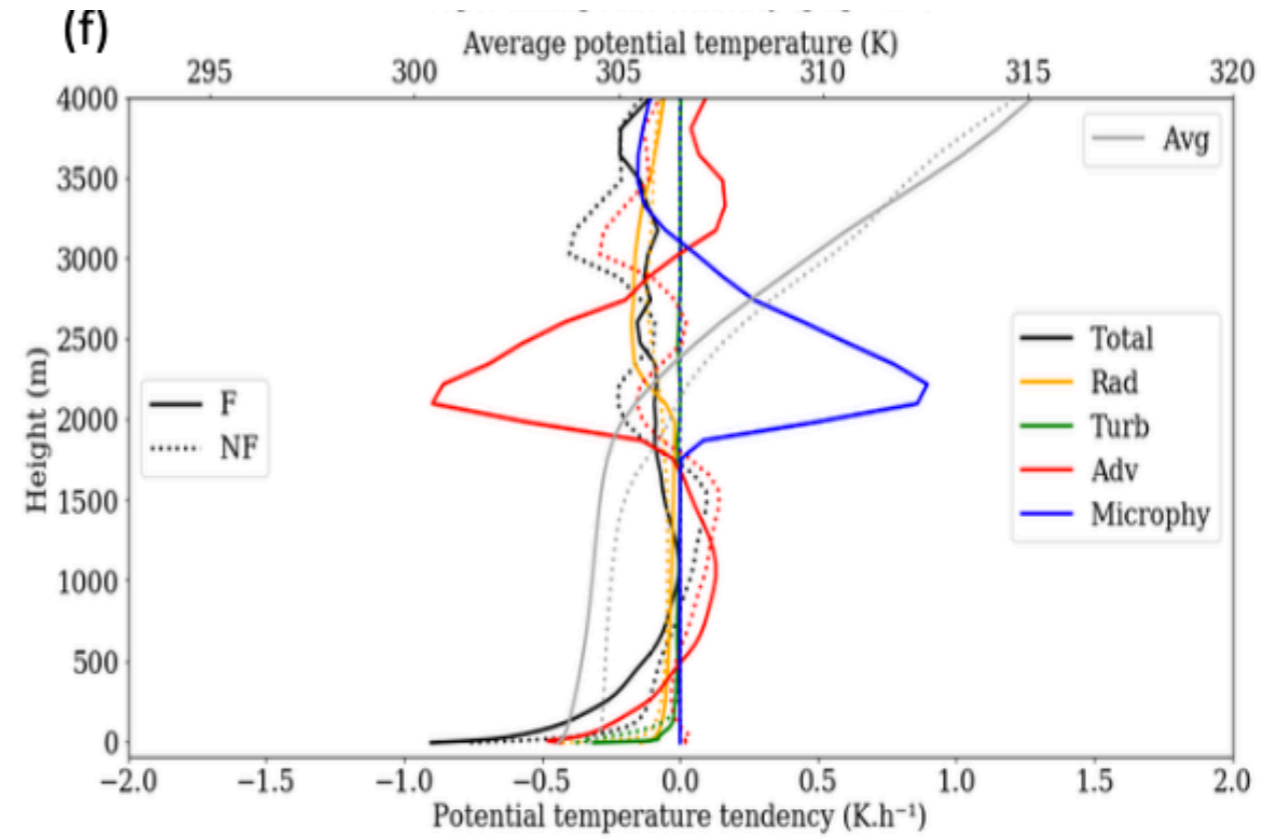
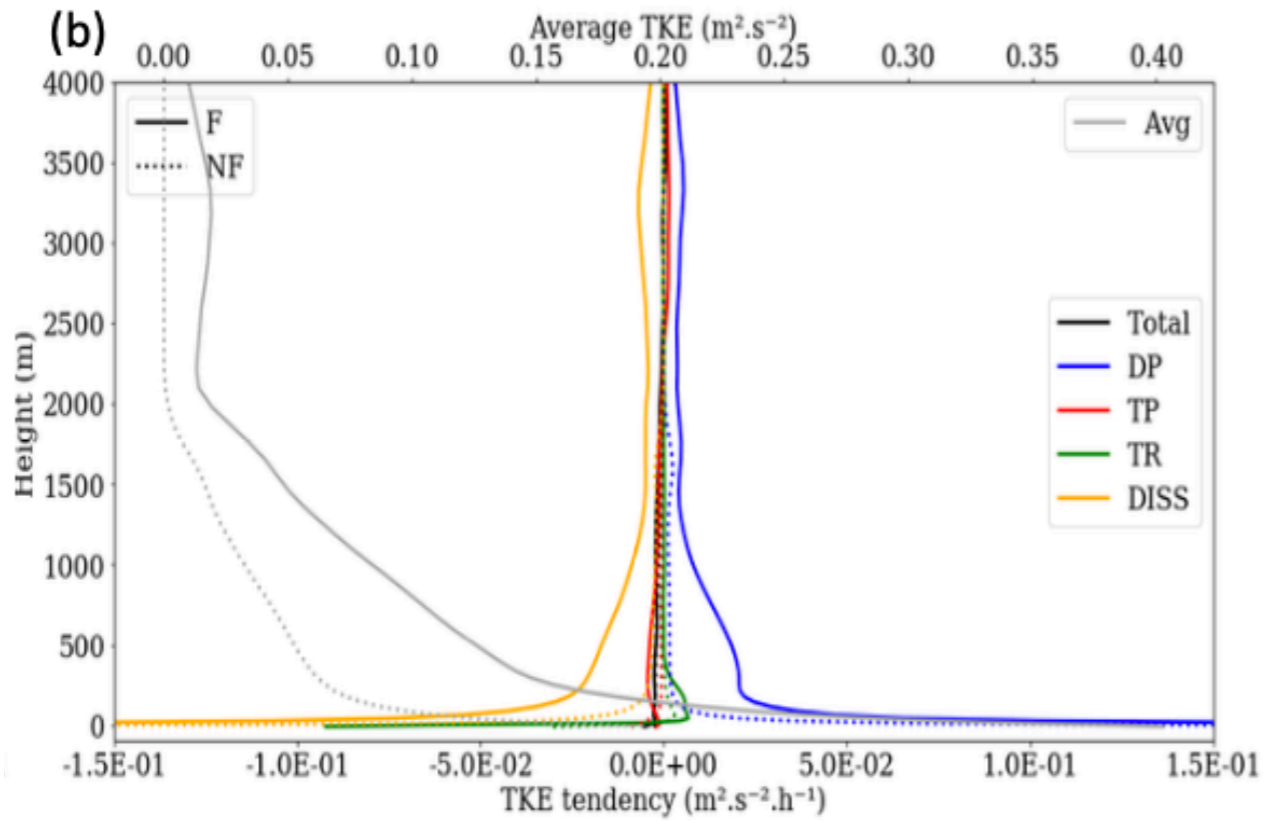
➔ Liquid water path: - 30%

- Less nocturnal low clouds (Pauli et al., 2022)

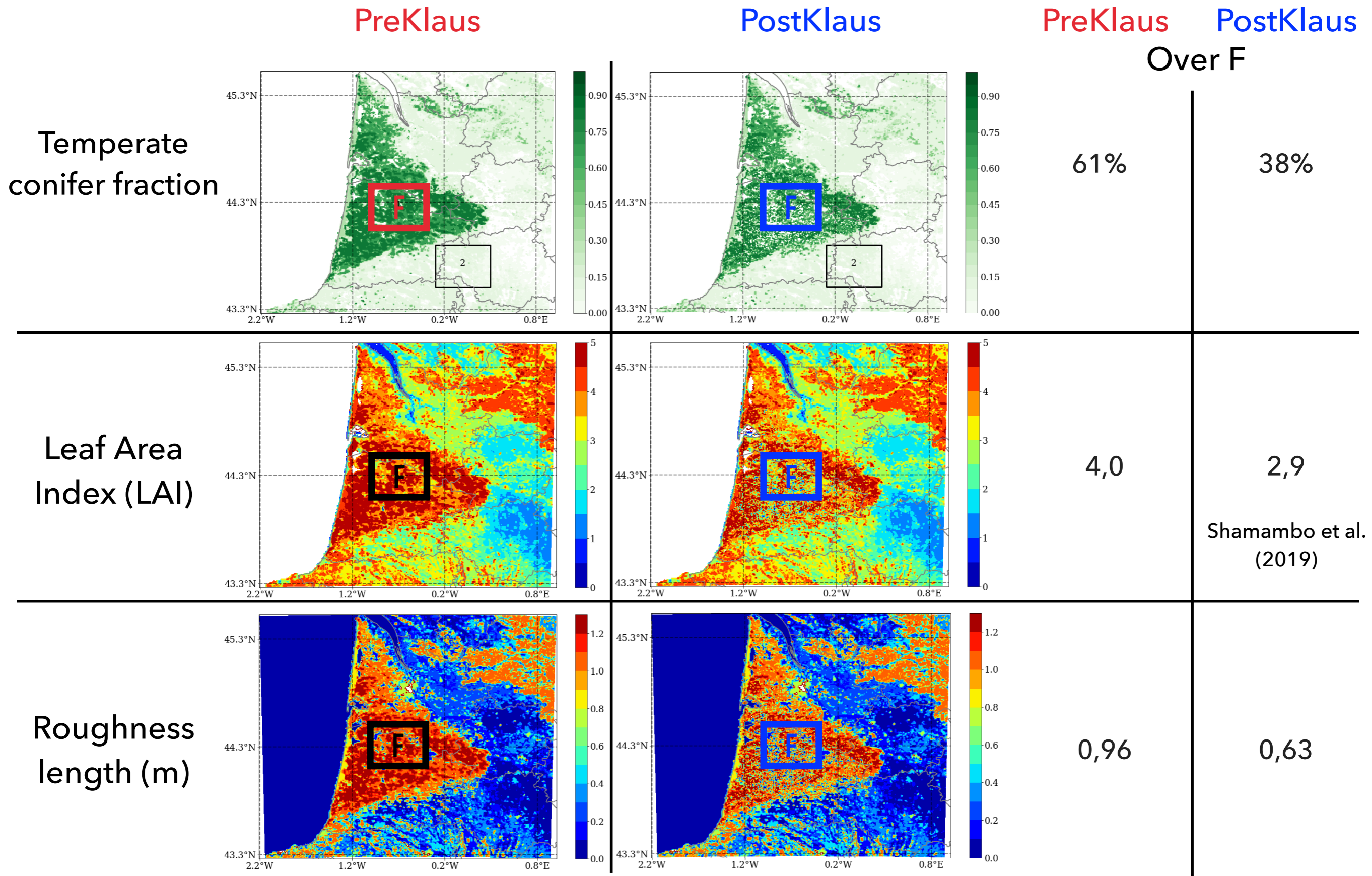
- Reliability of the results over 14 cases



11h30 → 12h

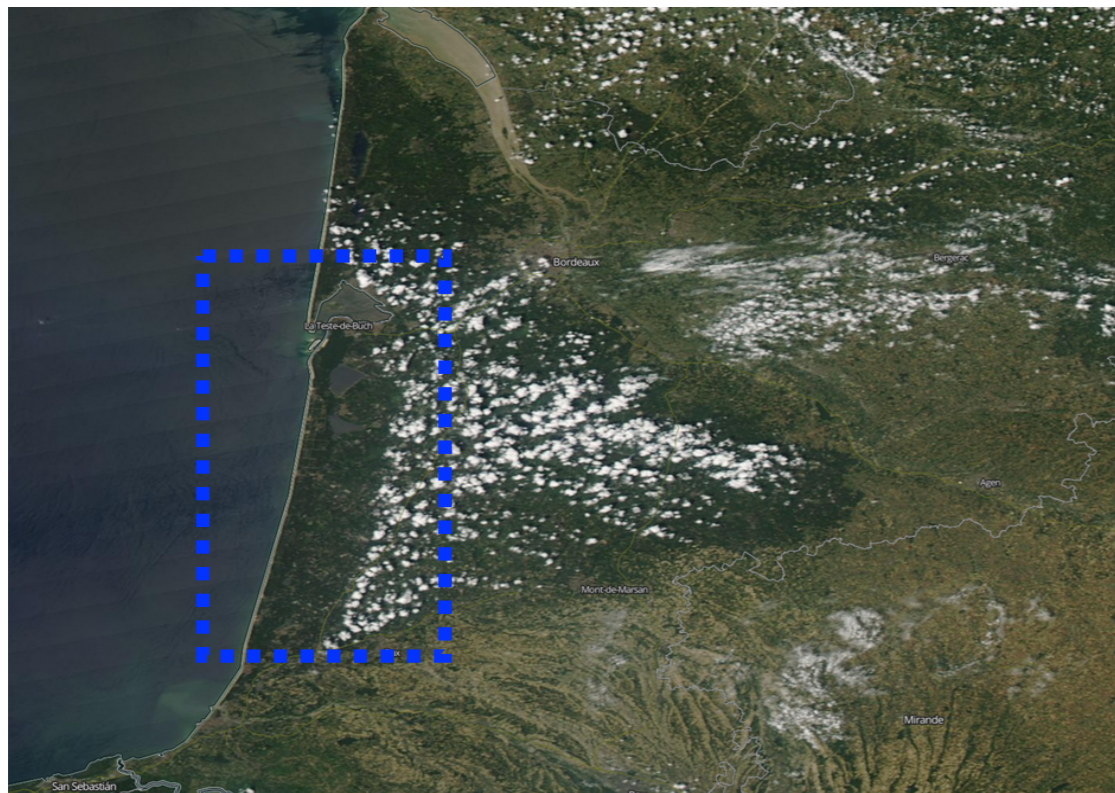


18h → 18h30

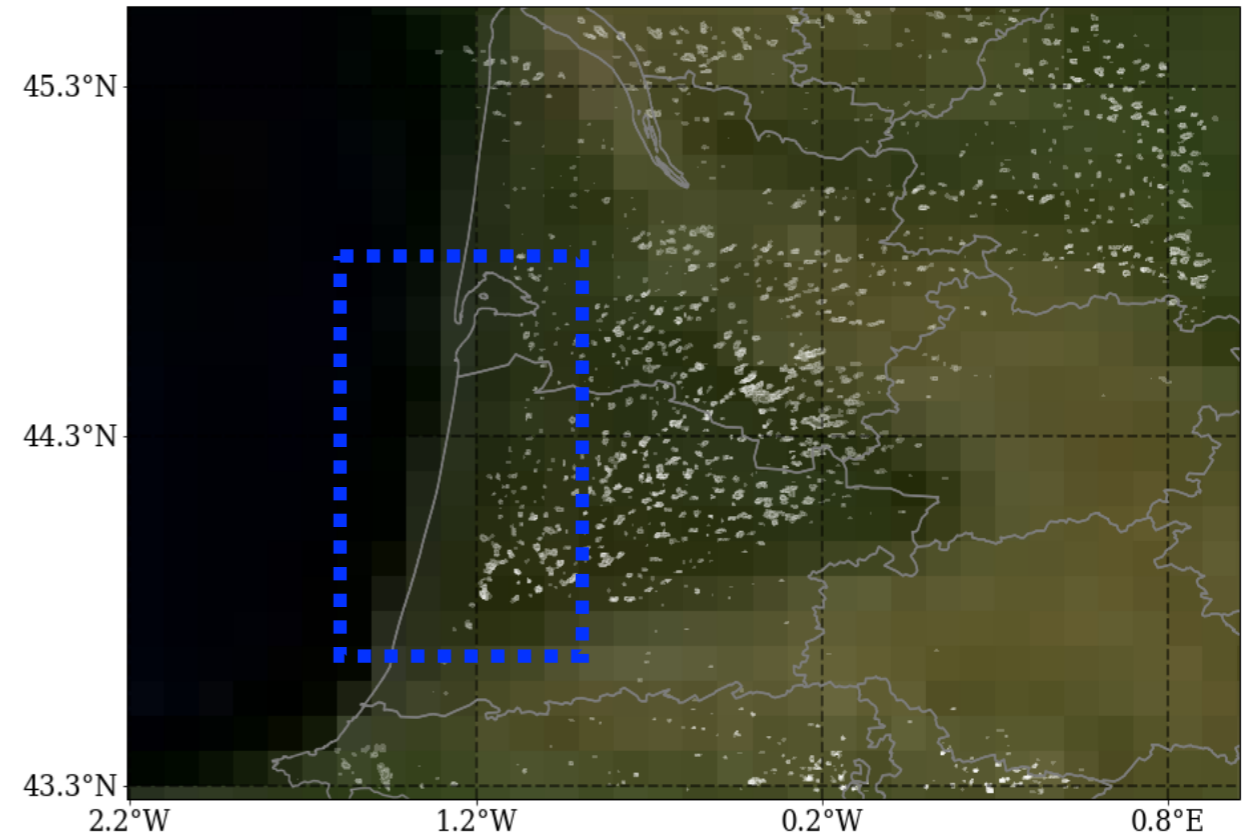


- Visualisation of the impact of sea breeze on cloud formation

9 July 2013 13 UTC

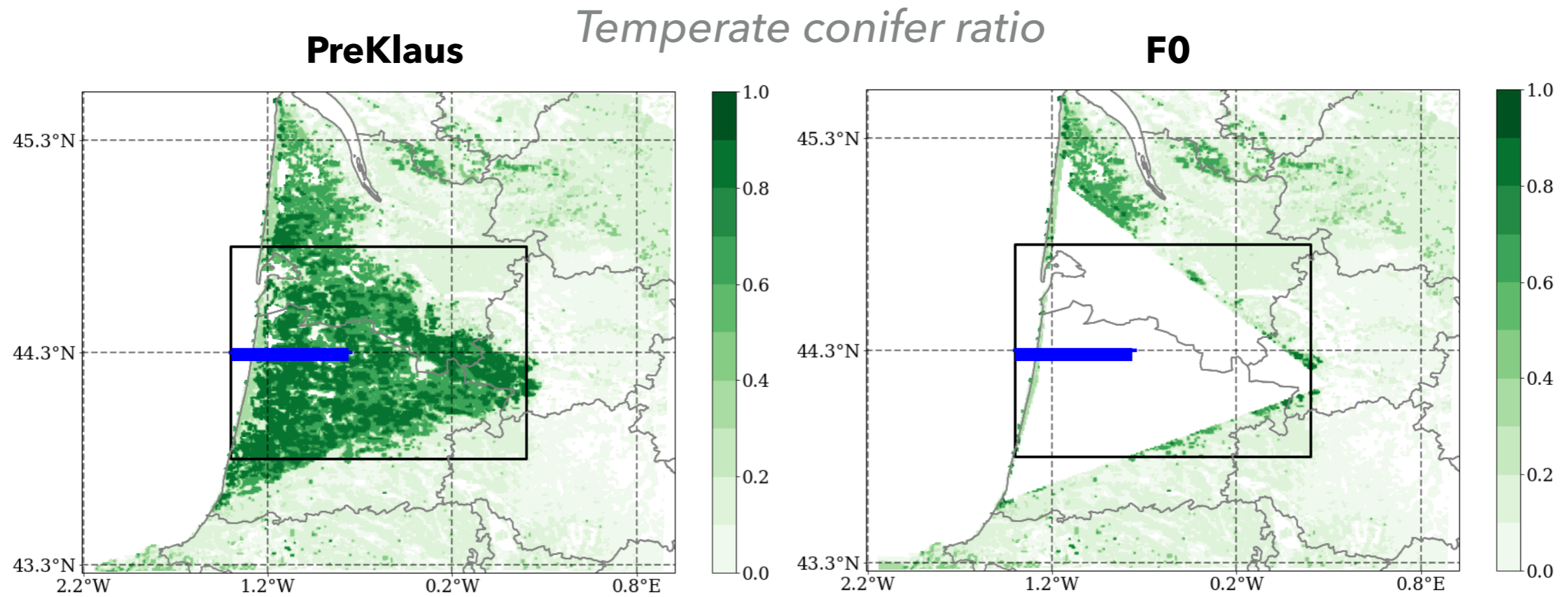


AQUA Satellite



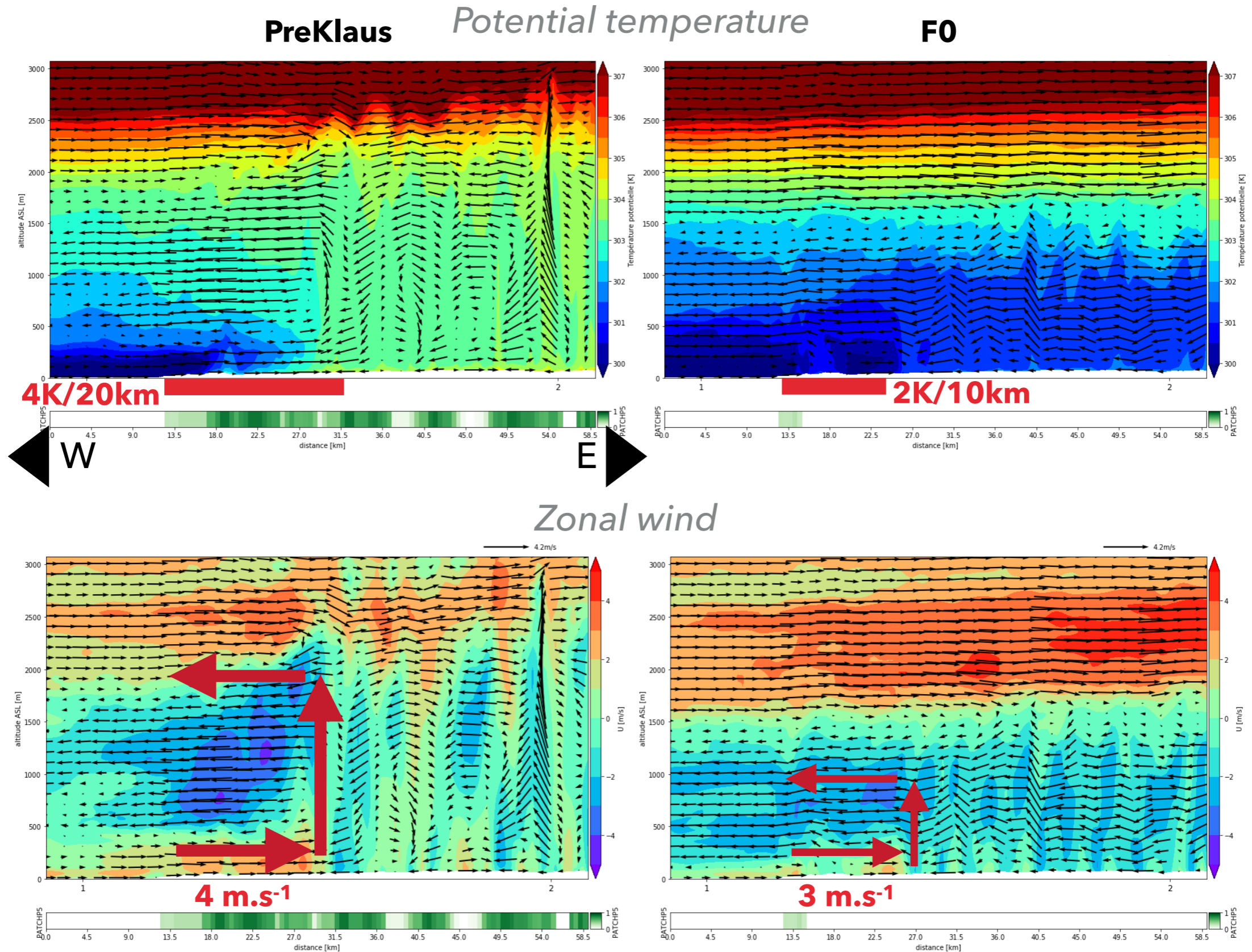
Simulation

- Remove the forest to assess its impact on sea breeze



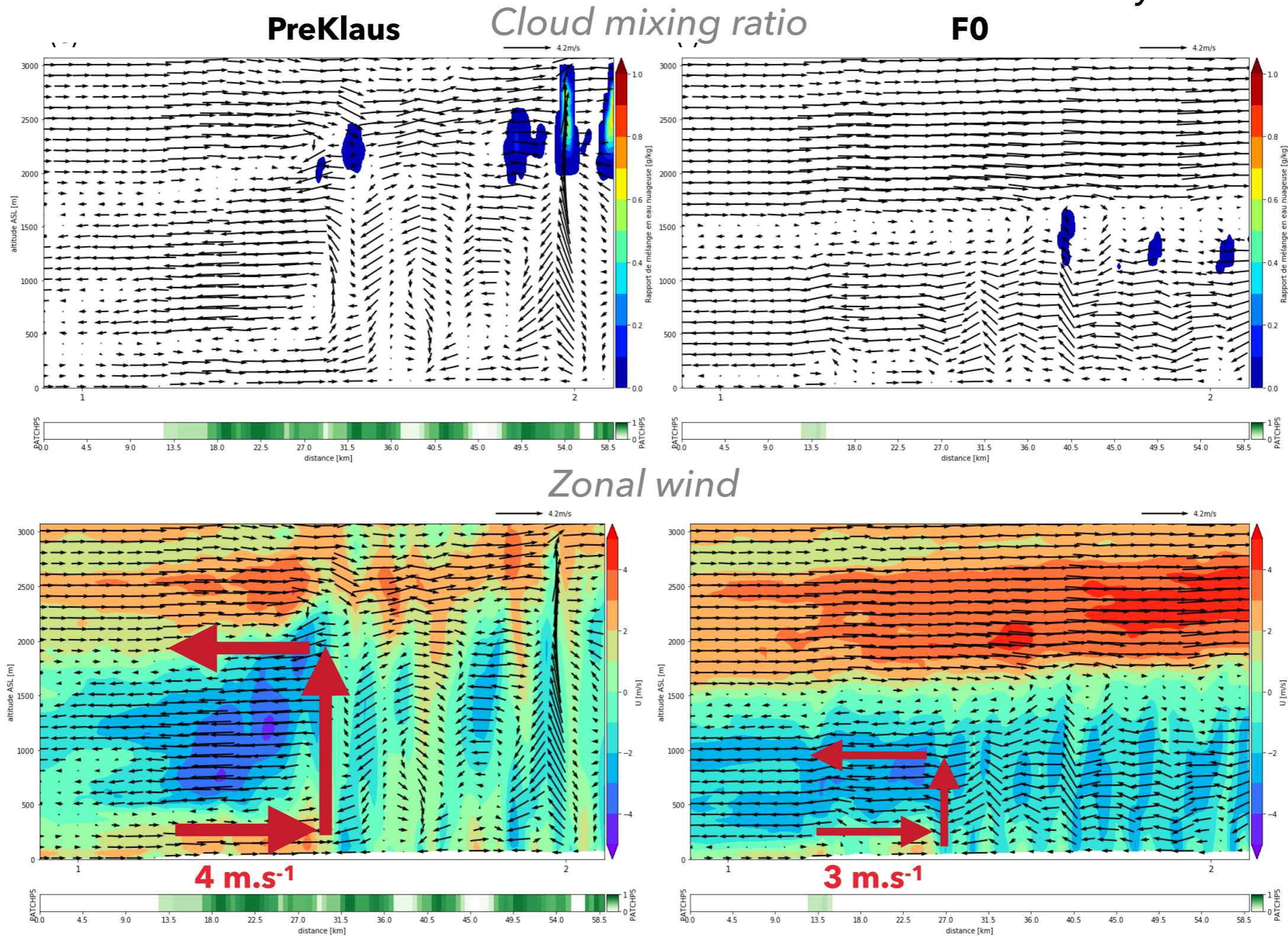
- Sea breeze

9 July 2013 13 UTC



- Sea breeze

9 July 2013 13 UTC



- Cloud formation begins at the breeze front

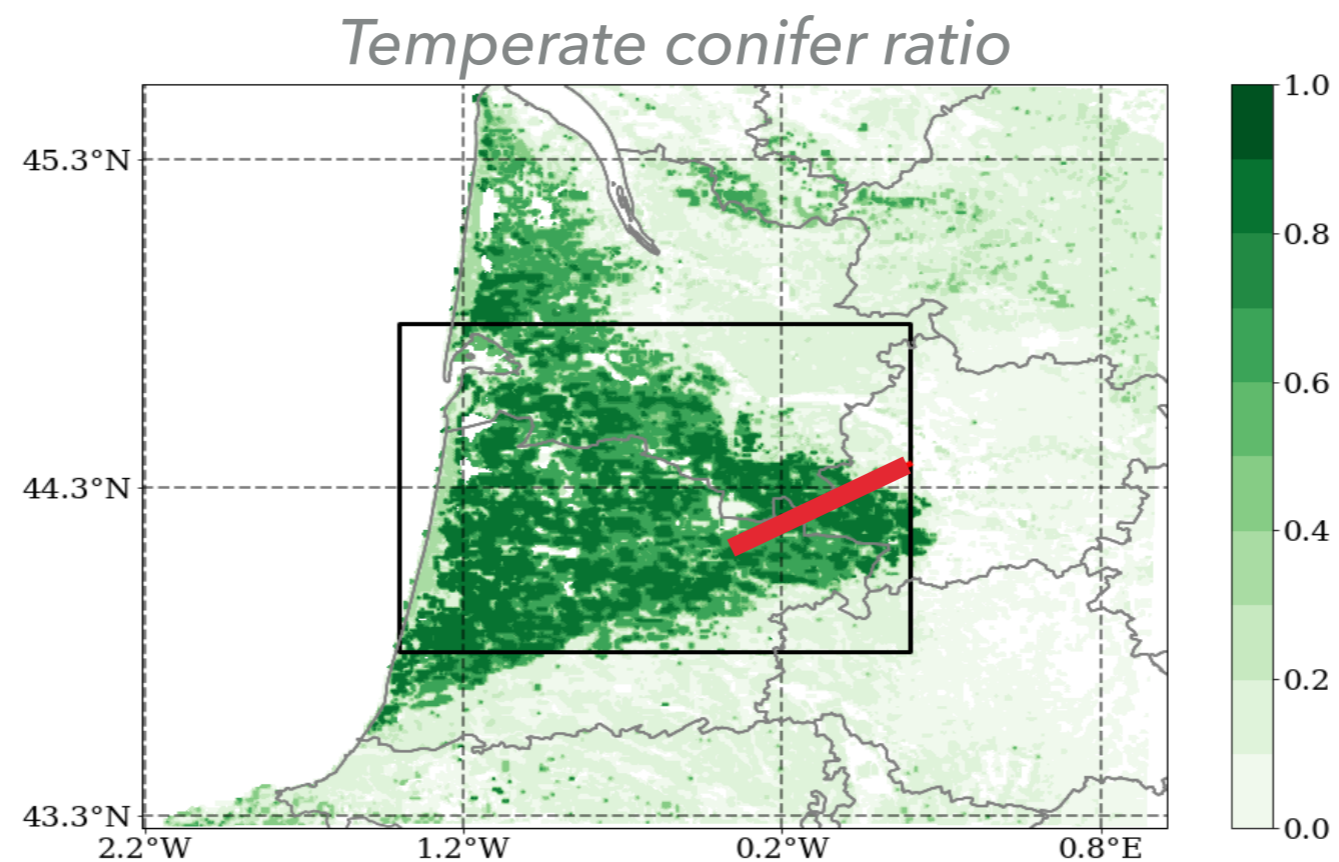
- Visualisation of the impact of forest breeze on cloud formation

AQUA Satellite



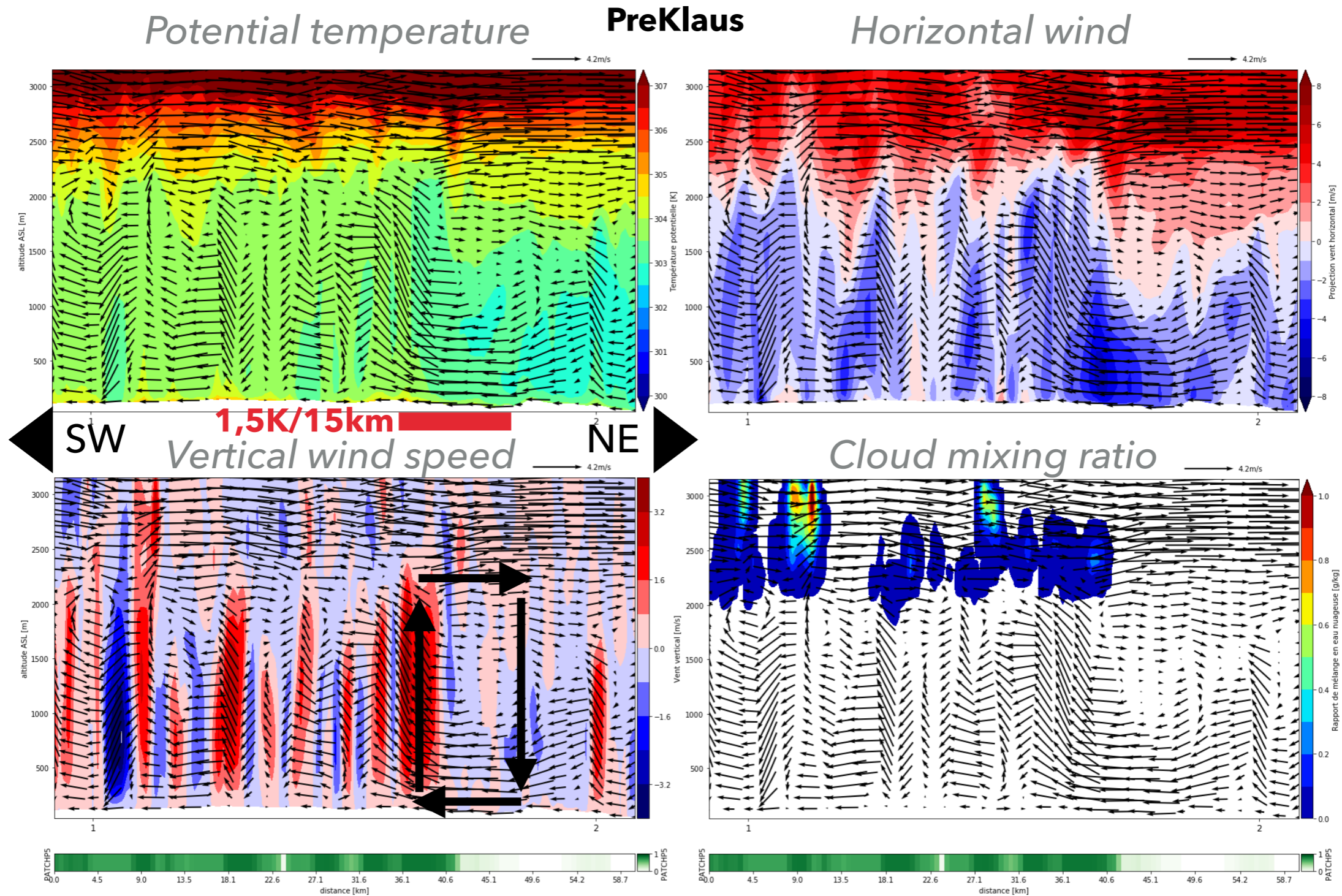
9 July 2013
13 UTC

PreKlaus



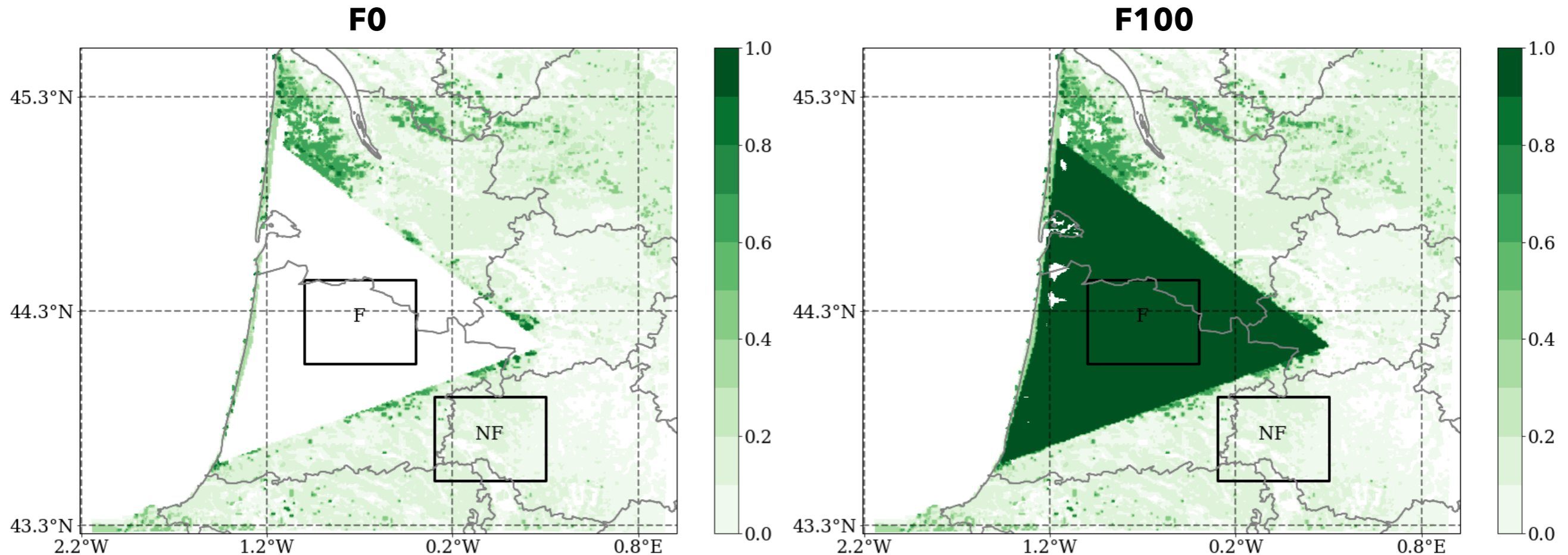
- Forest breeze

9 July 2013 13 UTC



- Local circulation at the forest edge
- Higher resolution would be necessary to get more details

- Replacement of the Landes forest by an idealised surface cover for 9 July 2013
 - ➔ Mix of temperate conifer and grassland in place of the Landes forest



● 0% temperate conifer (F0)

● 100% grassland

● 100% temperate conifer (F100)

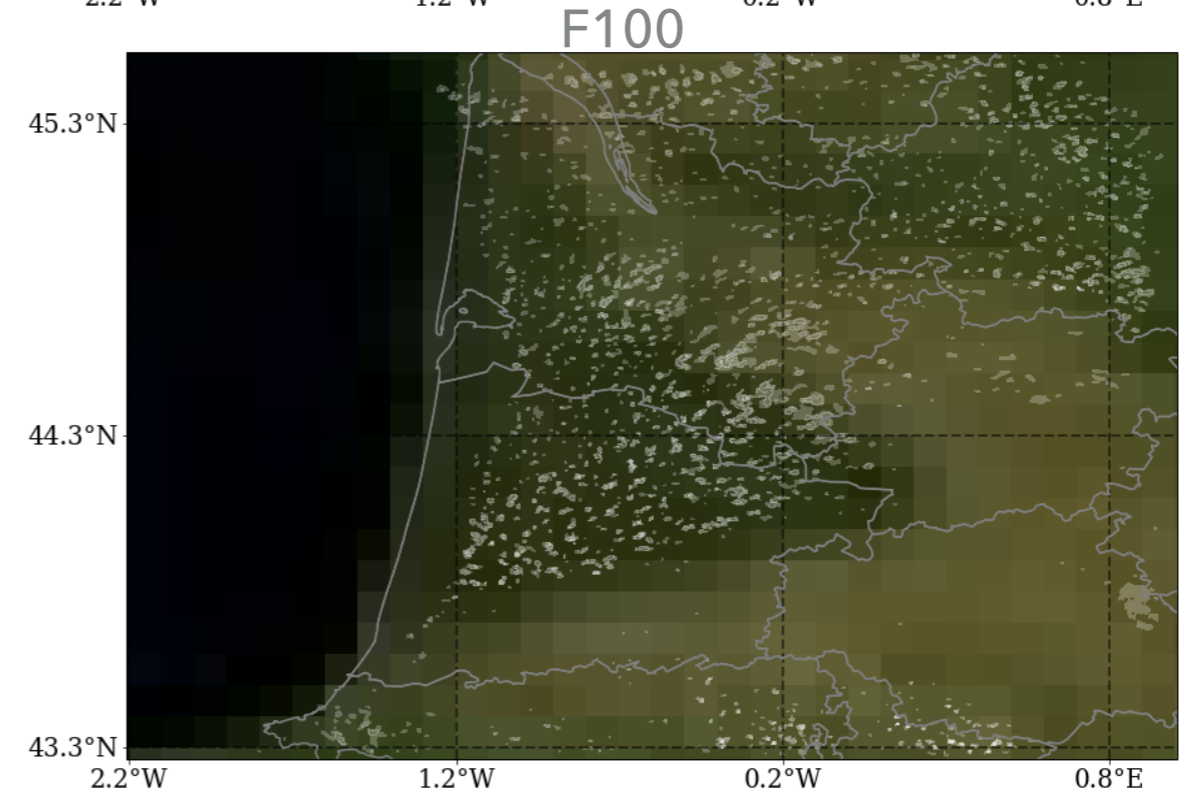
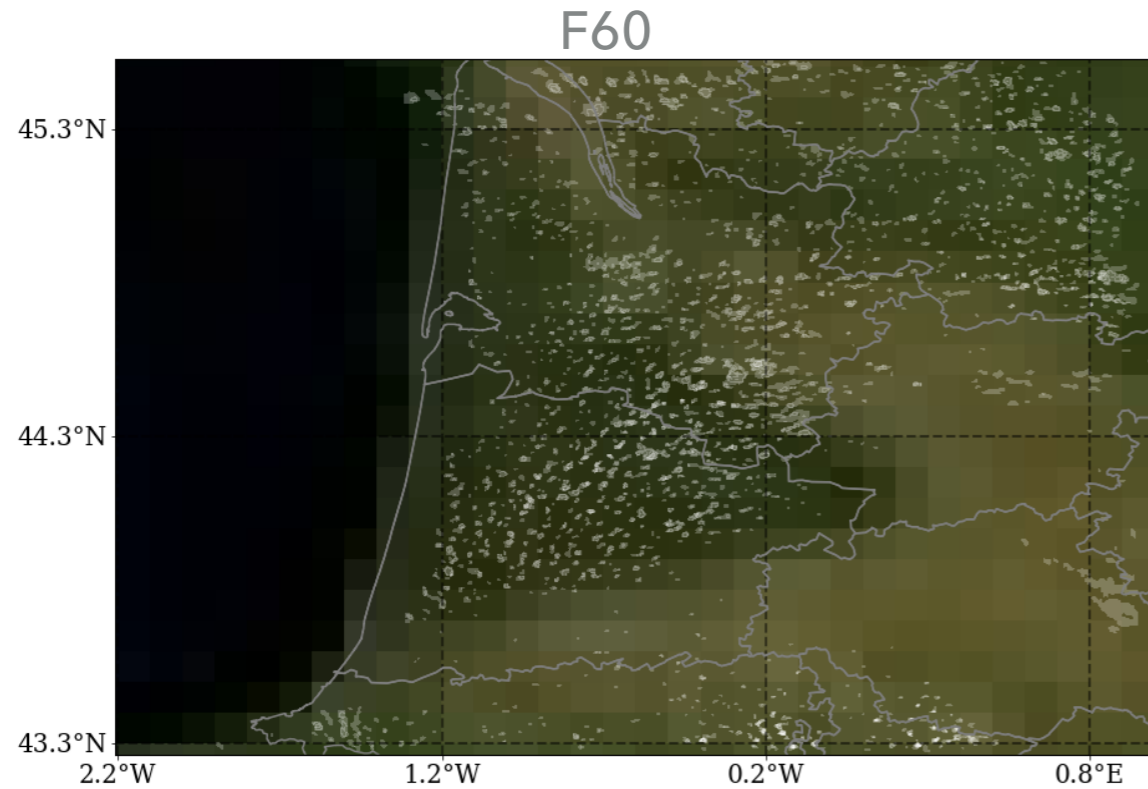
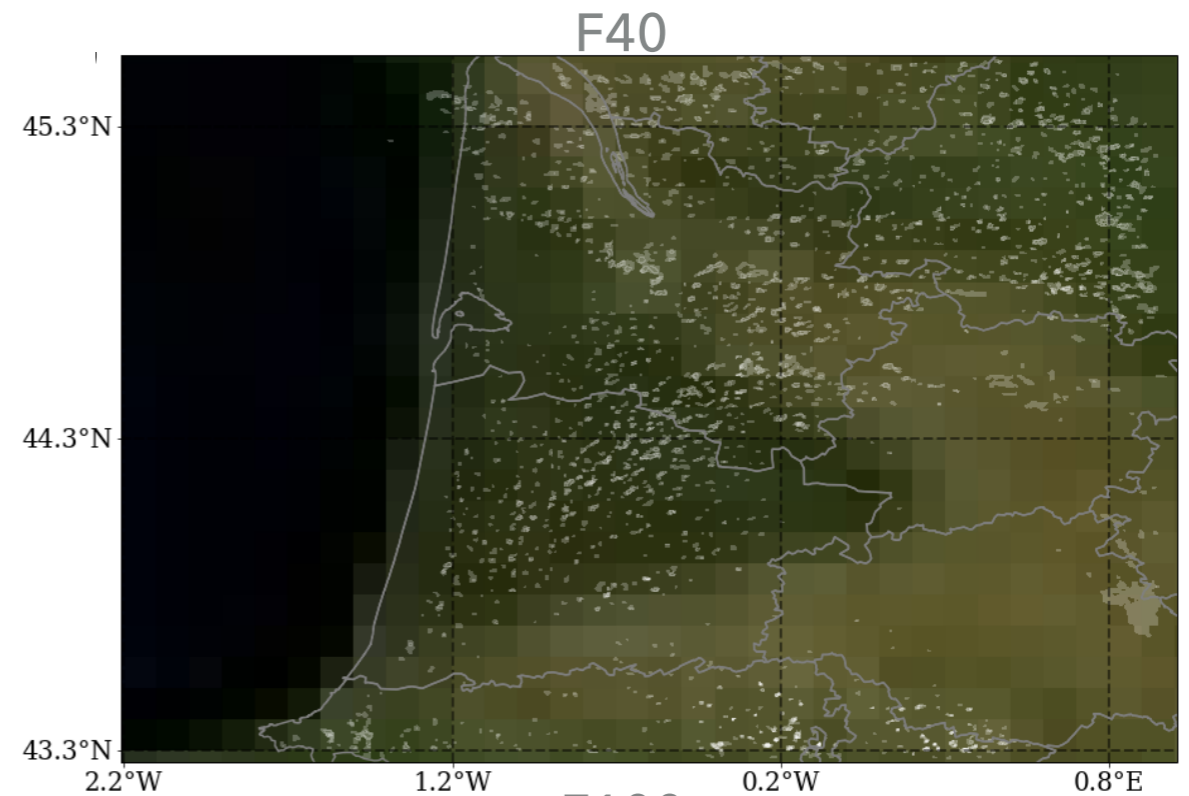
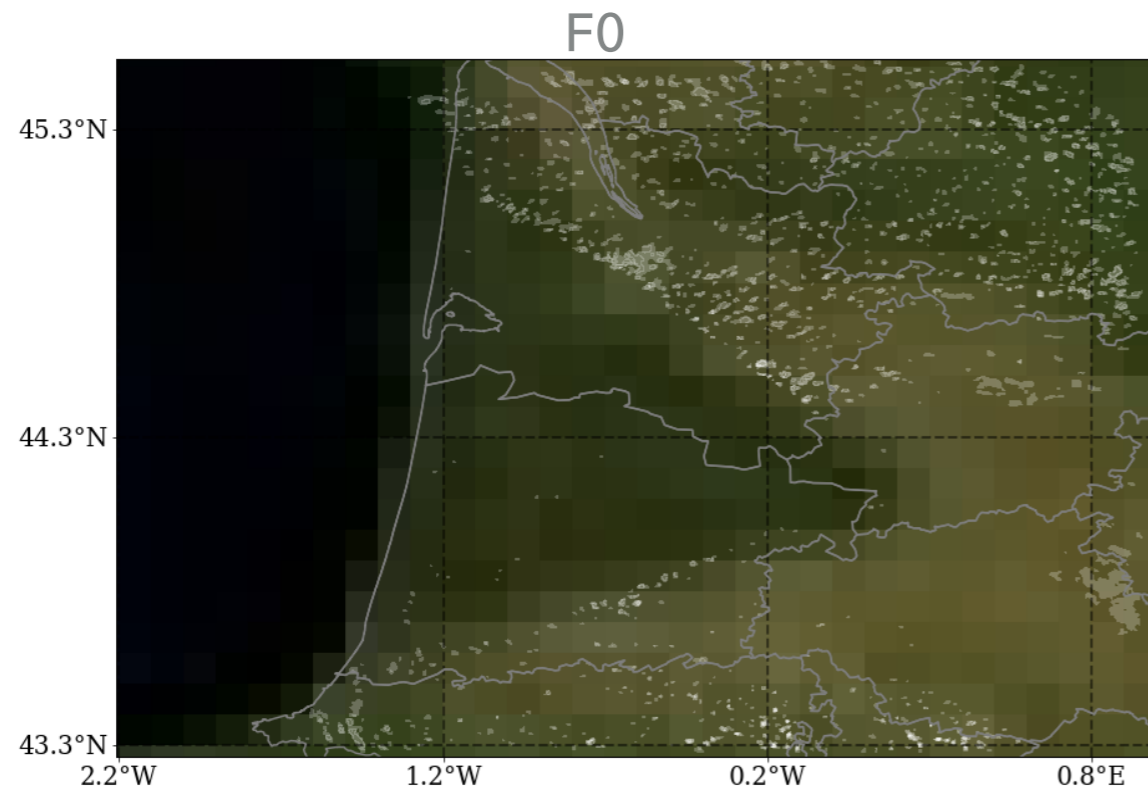
● 0% grassland

- Considered scenarii: F0, F20, F40, F60, F80 and F100

- Temperate conifer PreKlaus: 61%, PostKlaus: 38%

- Simulated cloud cover

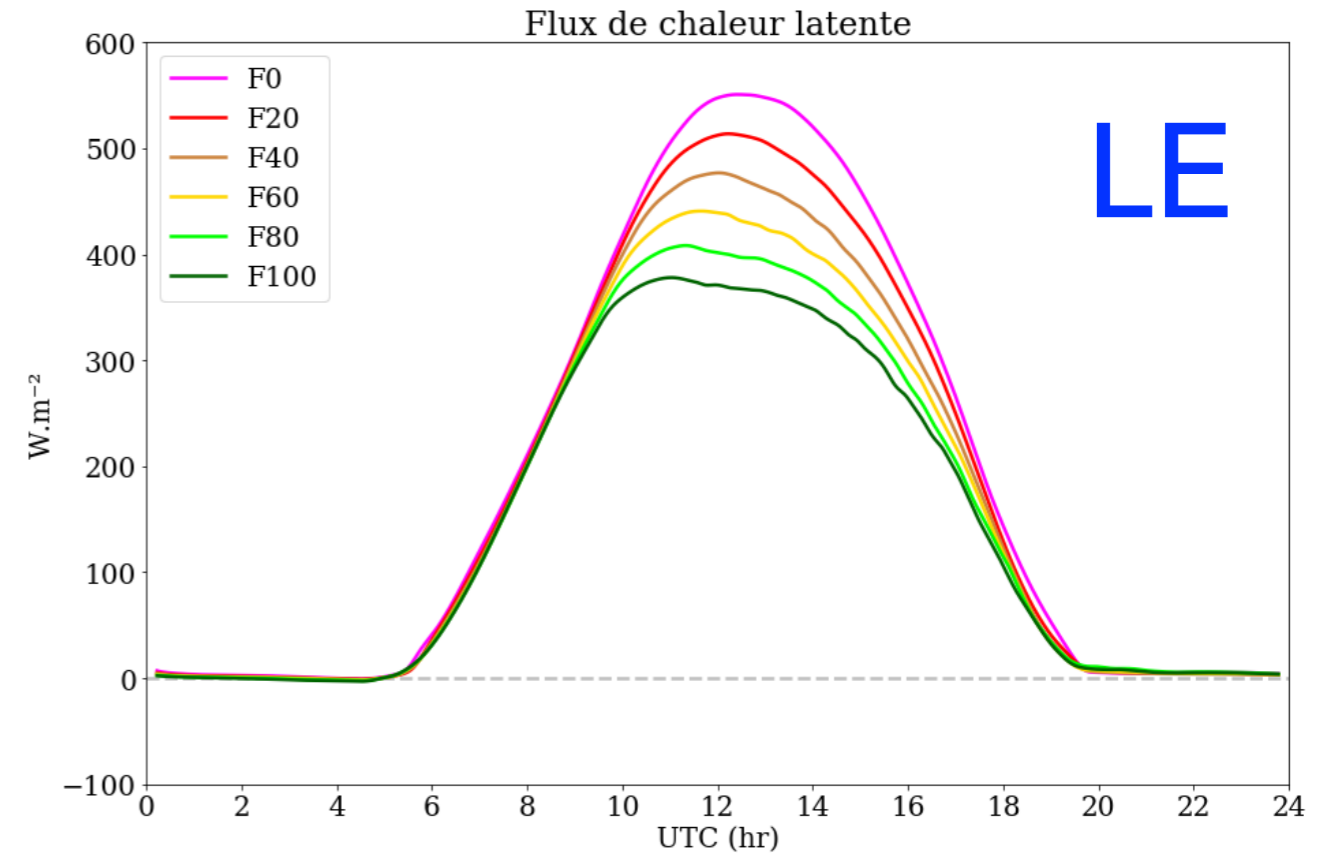
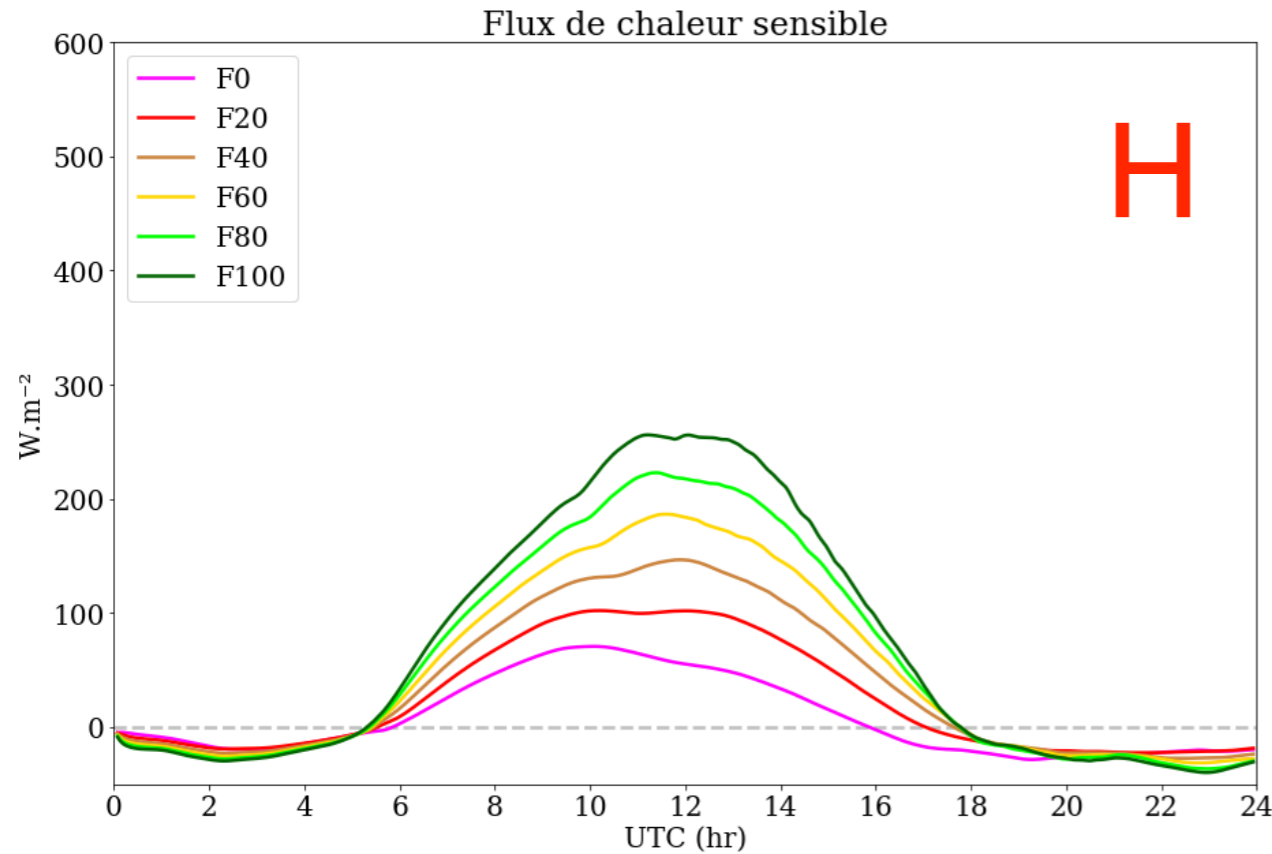
9 July 2013 13 UTC



9 July 2013

- Surface fluxes

Mean over F



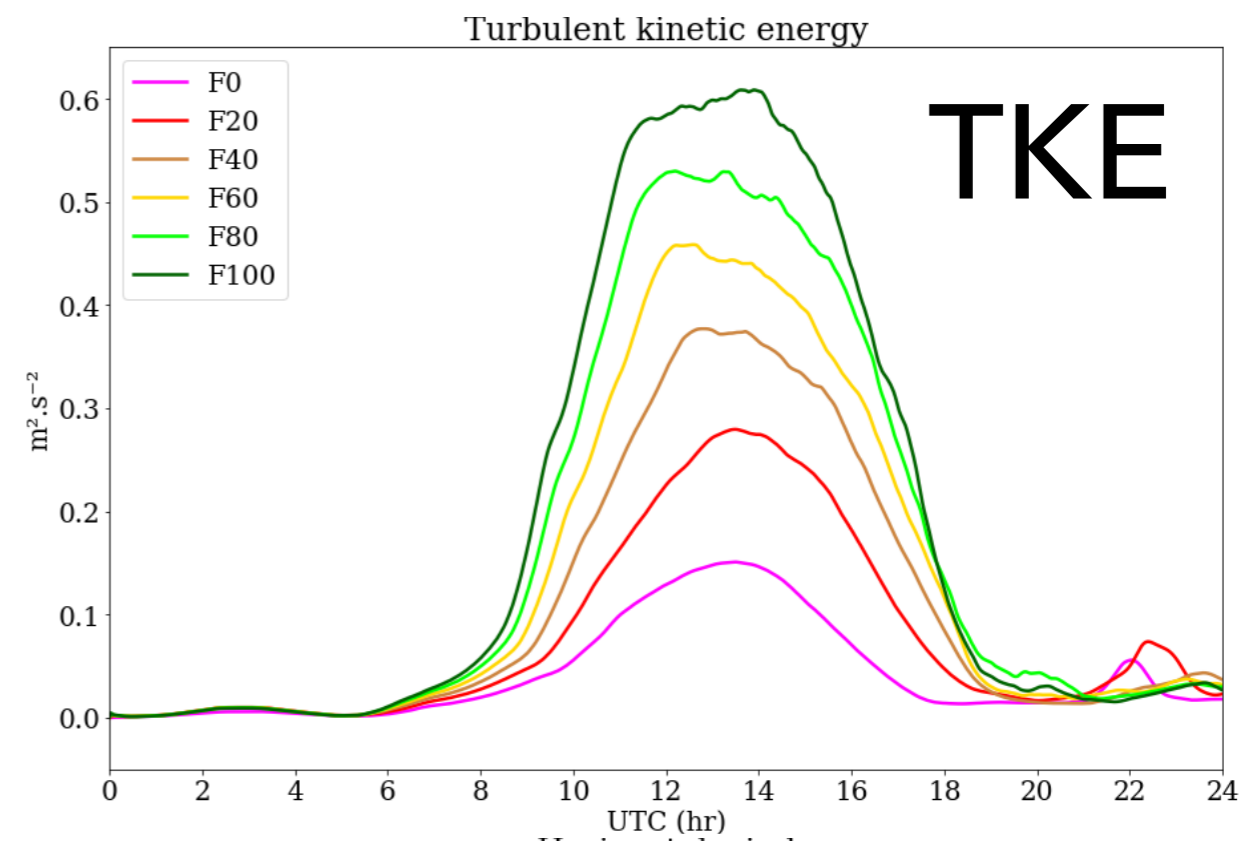
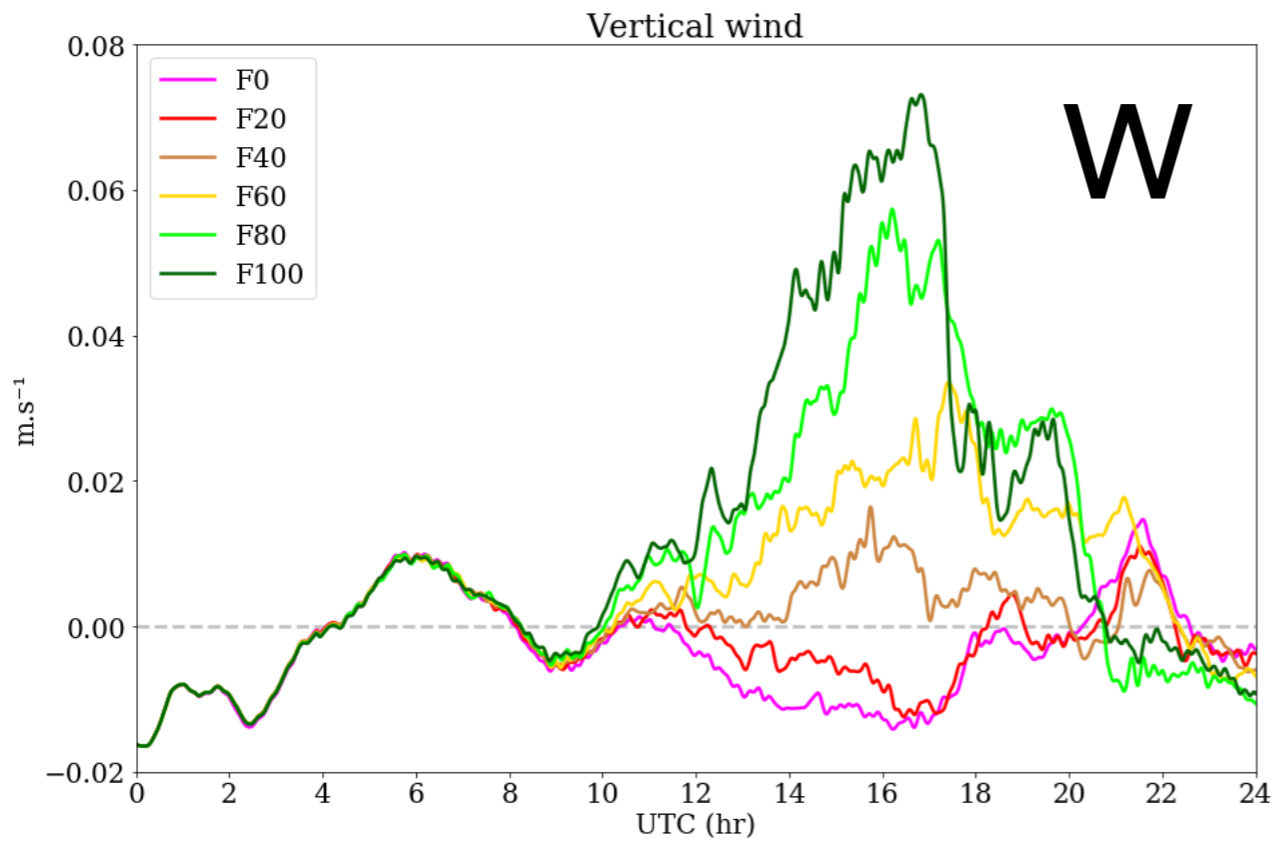
- Quasi-linear variation with forest density

- Reduction of the convective period

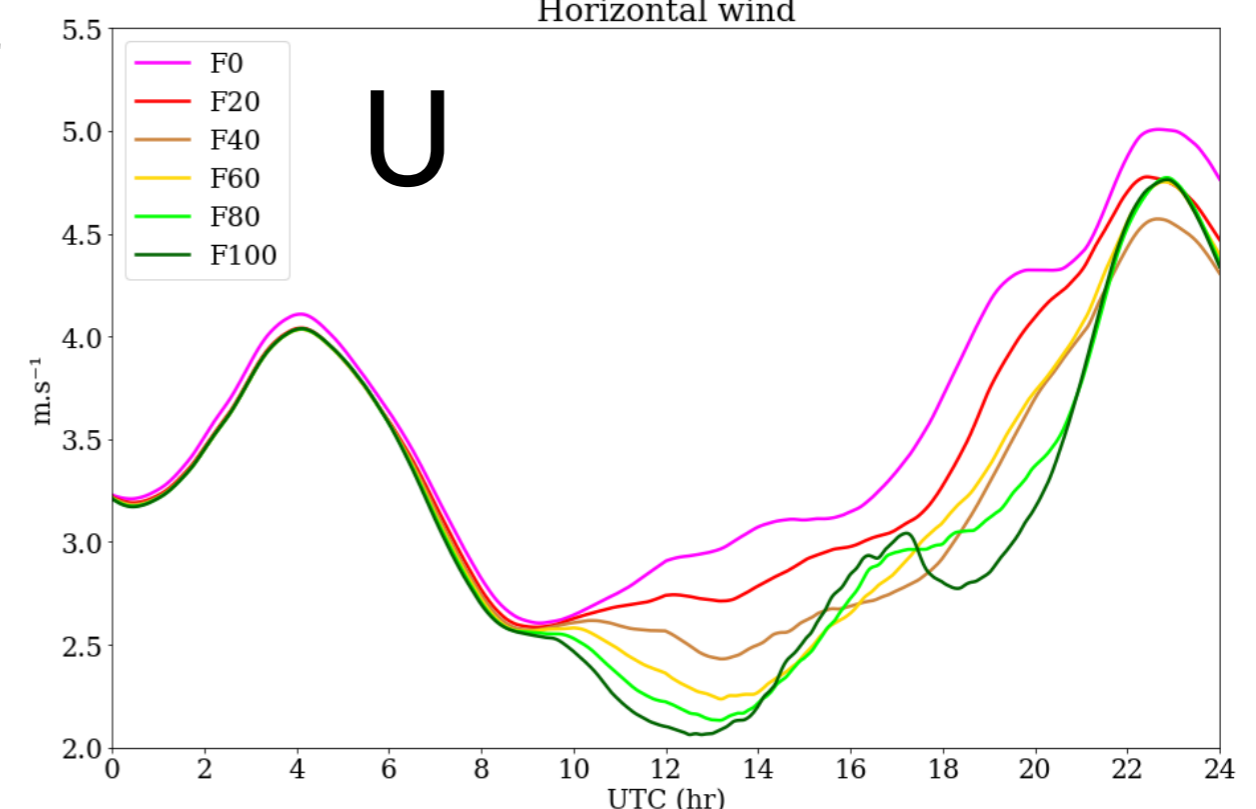
9 July 2013

• Dynamics

Mean over F on the first 4000 m

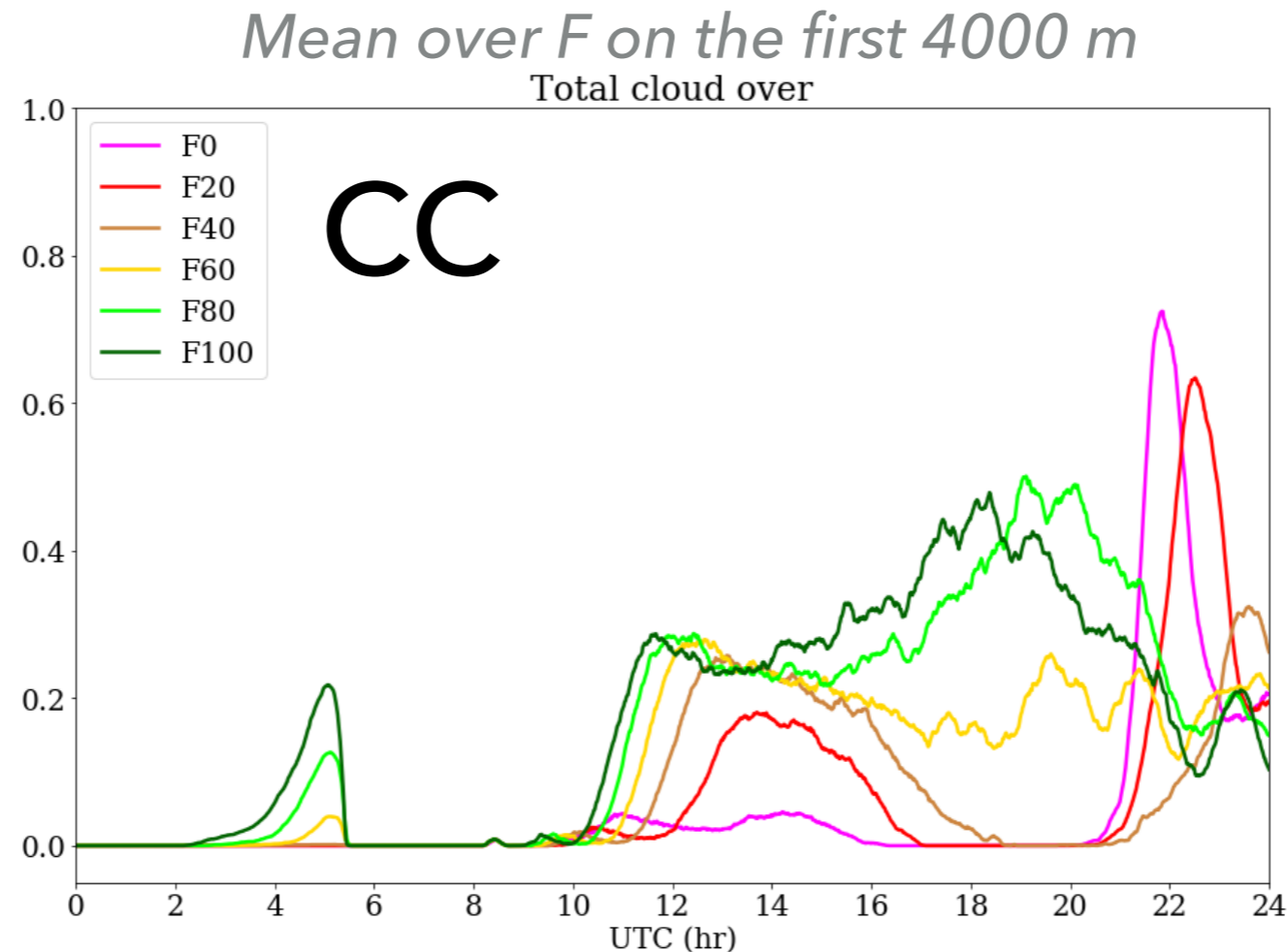


- Mean subsidence and low turbulence for F0 and F20
- Mean ascent and higher turbulence for the others increasing with forest density
- Mean horizontal wind higher from 10 UTC for F0 and F20 due to lower roughness length



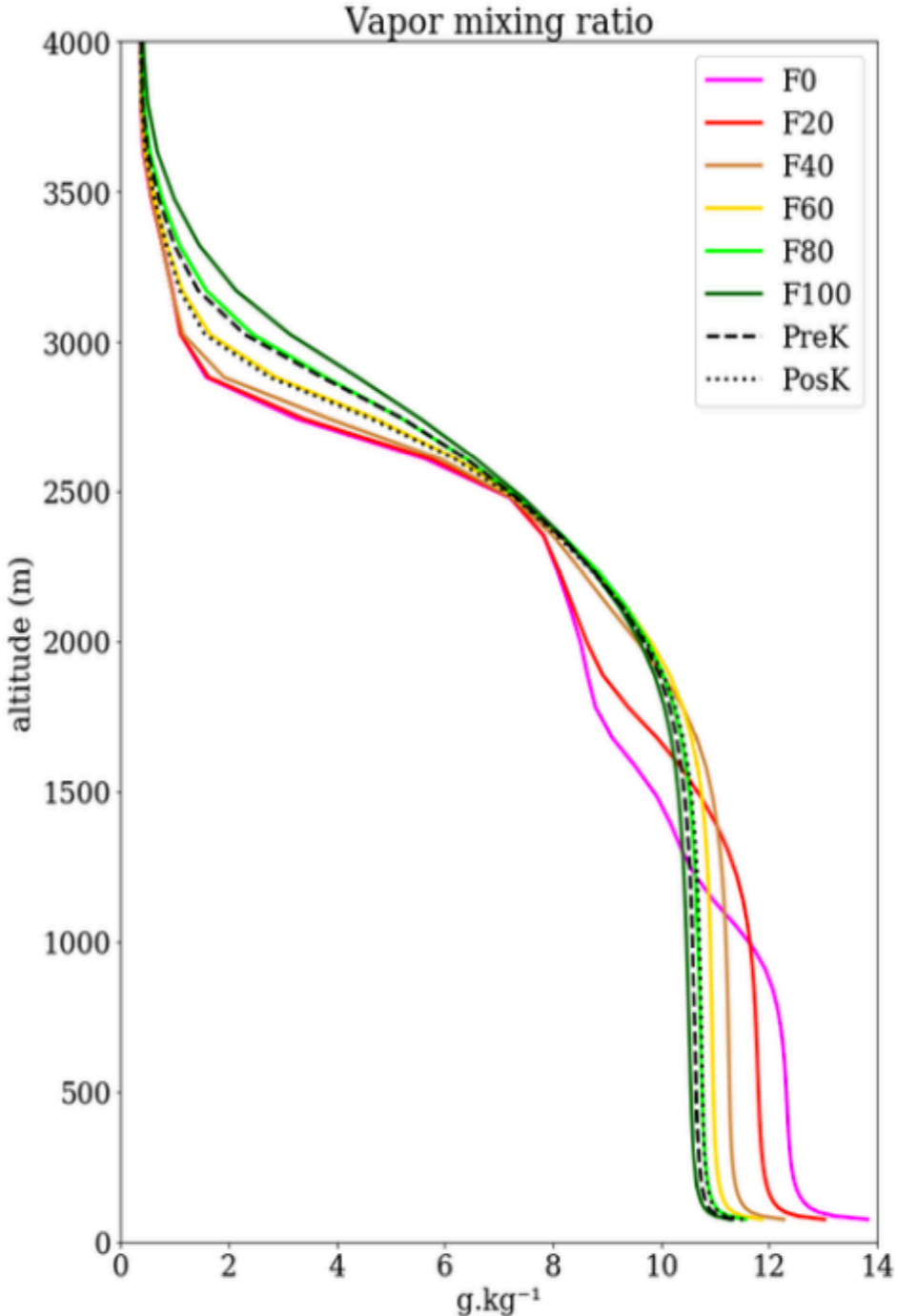
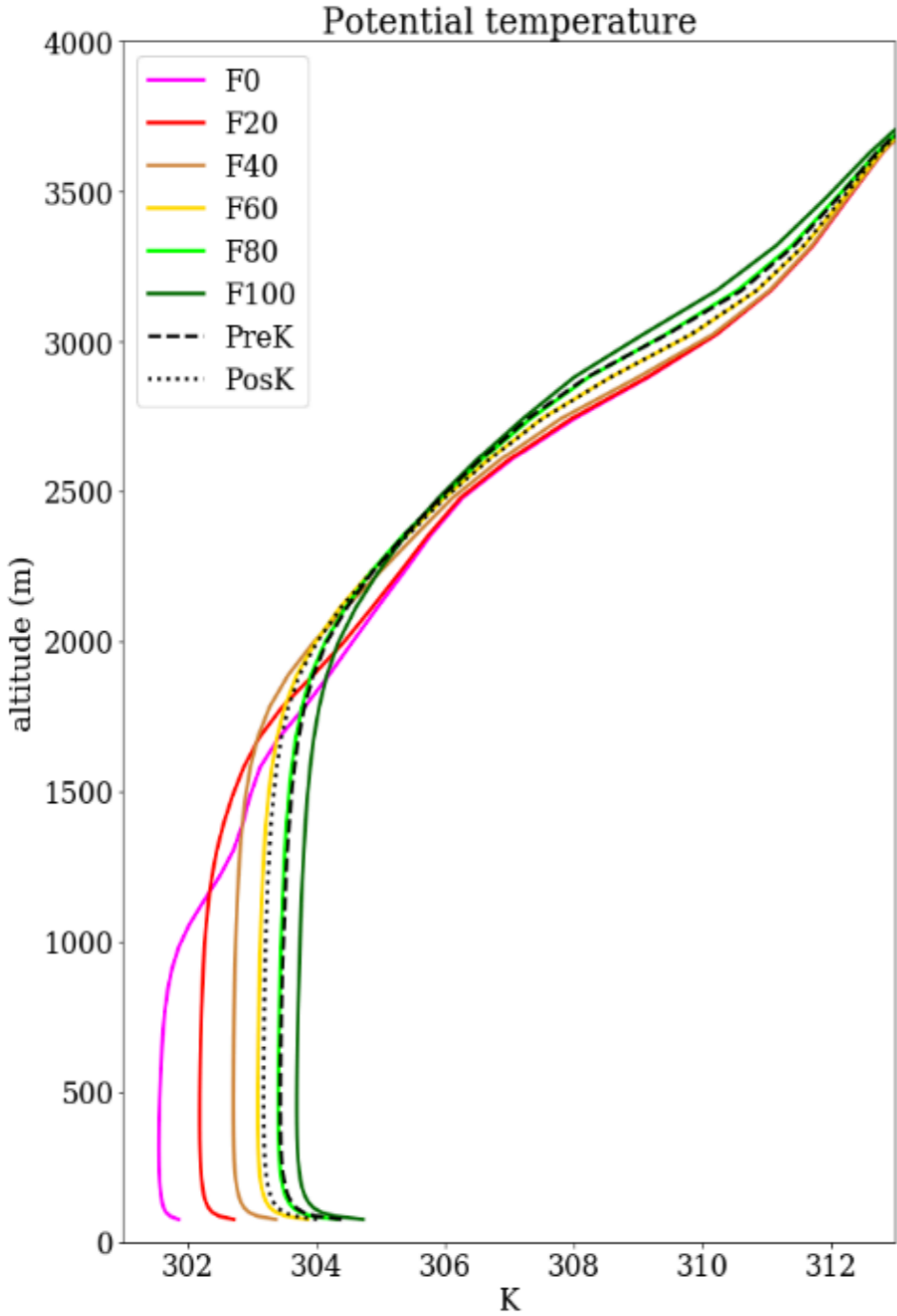
- Cloud cover

9 July 2013

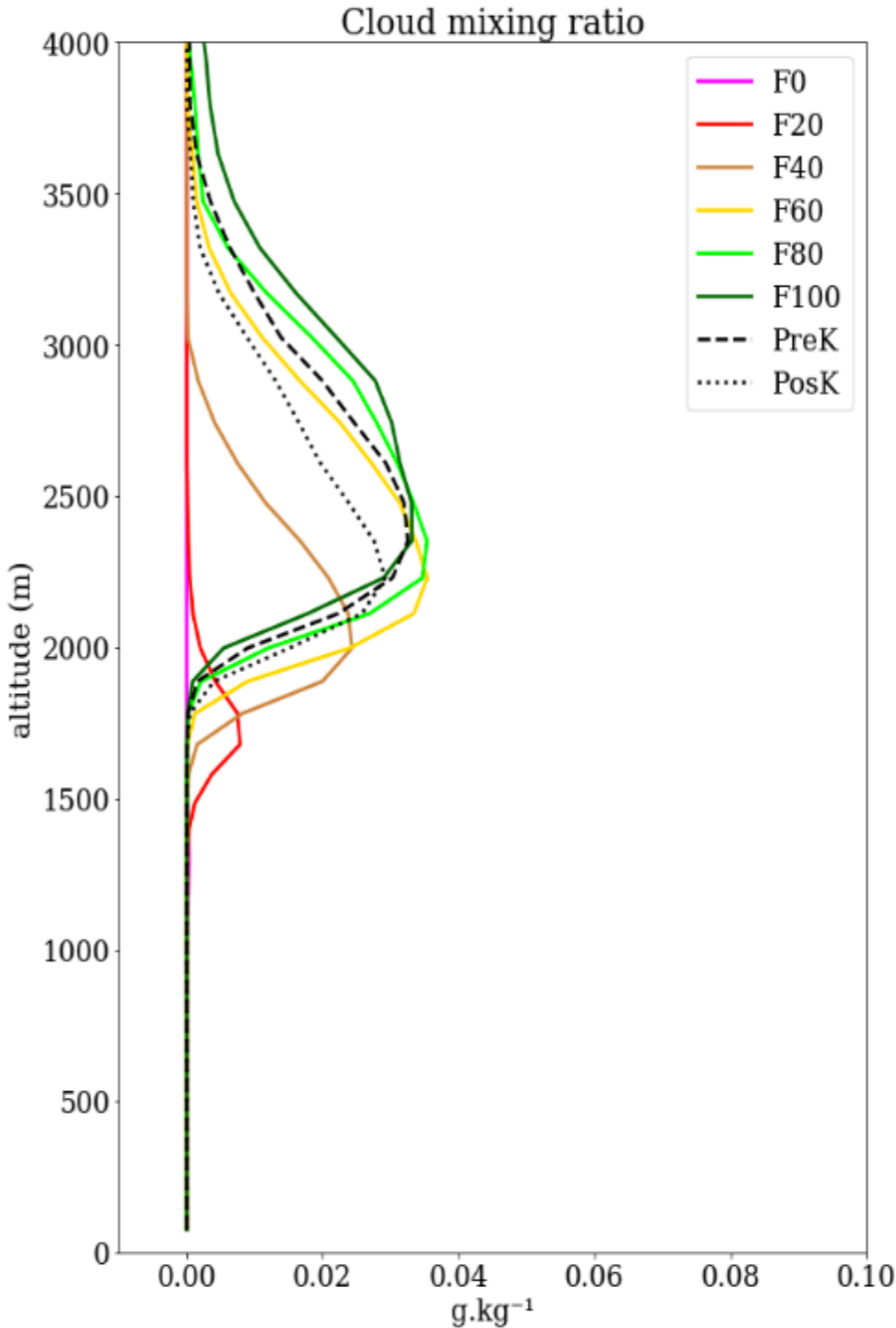
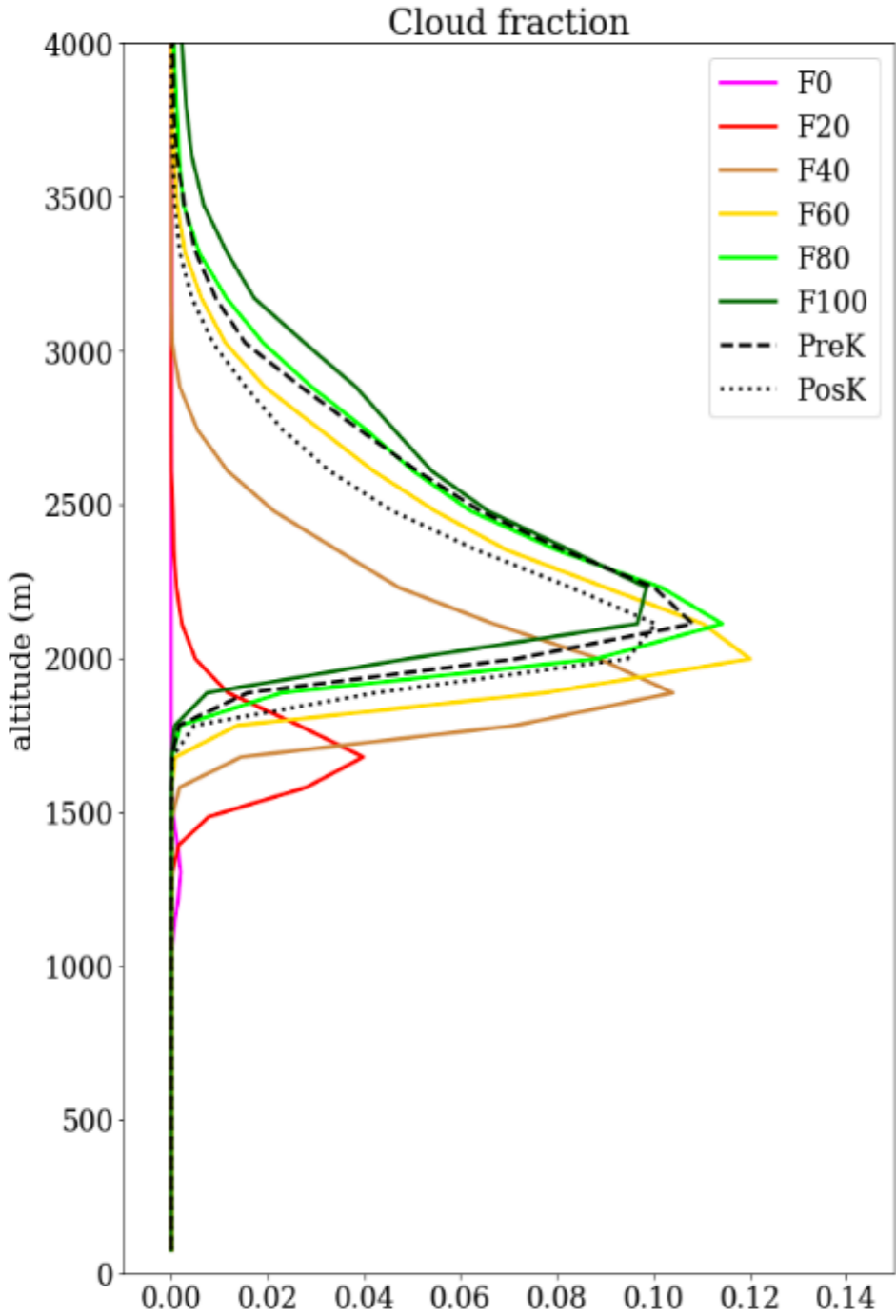


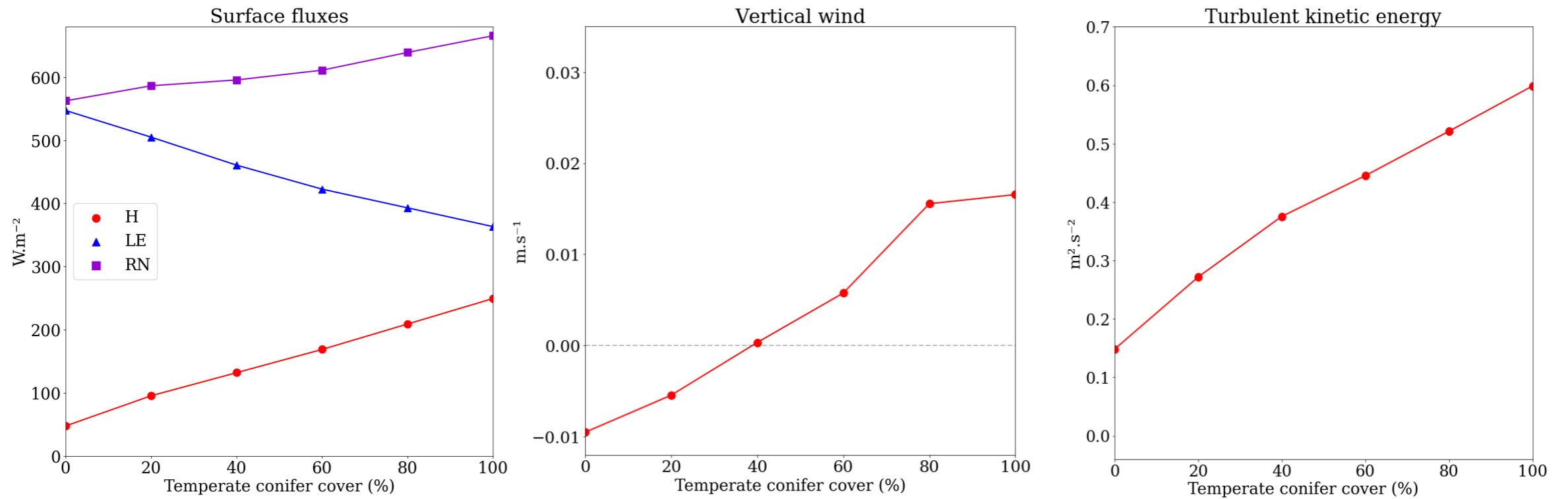
- Non-linear variation with forest density
- During **convective phase**: duration and amount of cloud cover correlated with forest density
- During the **night** (5 UTC): more stratus and fog with forest density
- During the **evening** (22 UTC): higher cloud for F0 and F20: marine stratocumulus advected by stronger horizontal wind with lower density

9 July 2013 13 UTC



9 July 2013 13 UTC

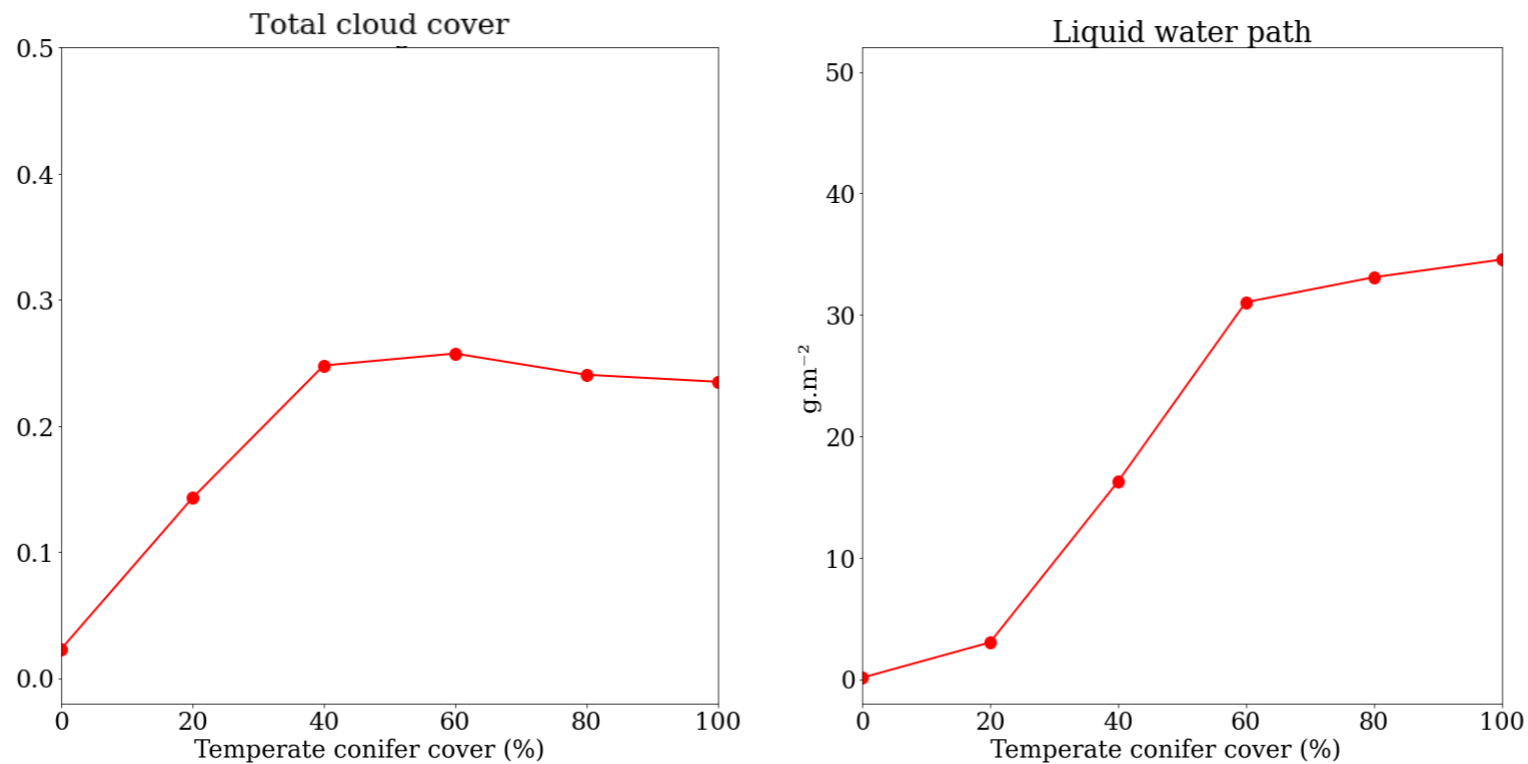




13 UTC

● Quasi-linear response of surfaces fluxes, W and TKE

9 July 2013



● Non-linear response of clouds

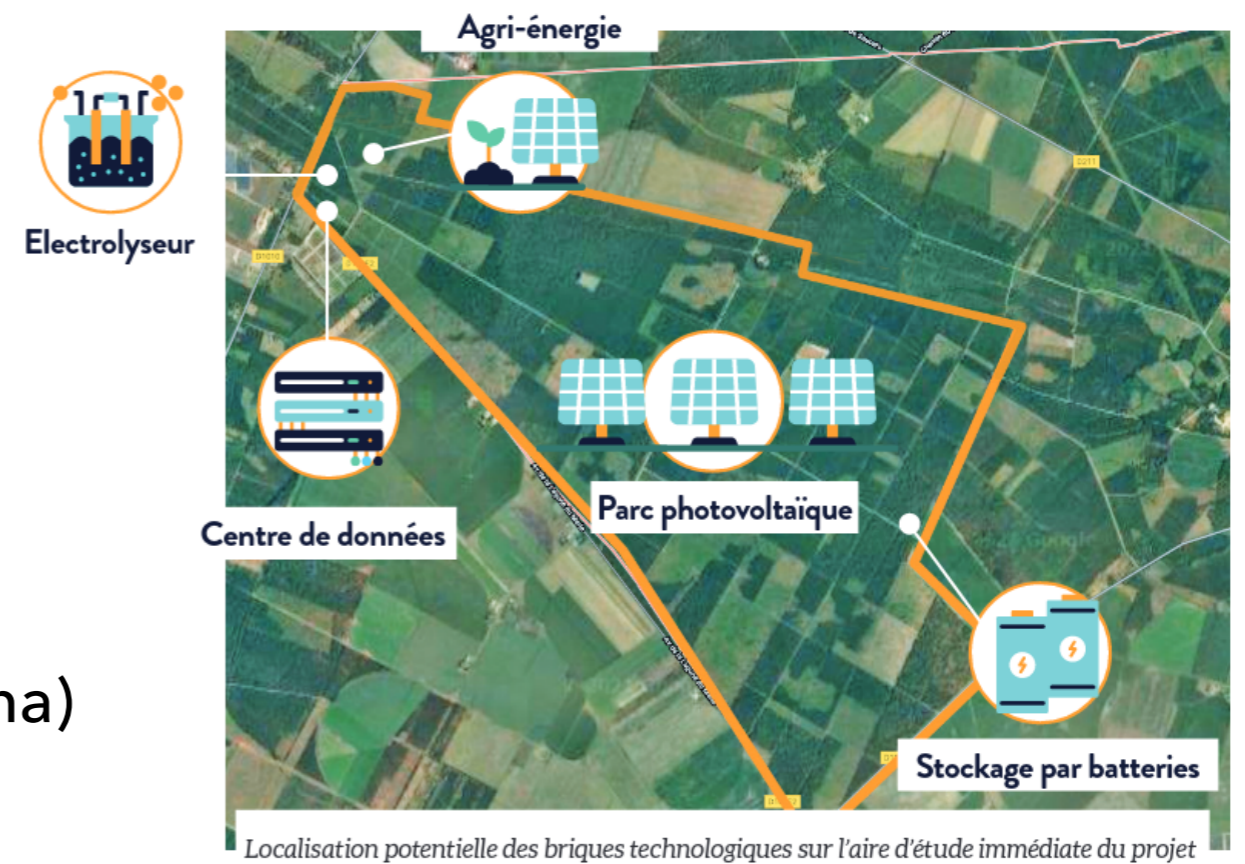
➔ Highest sensitivity of cloud cover with intermediate forest fraction

-
- Keep improving the realism of the **input data** of the model
 - ▶ Use of reanalyses for more realistic initial states: ARRA (1.3 km over France)
 - ▶ Up-to-date surface parameters and databases: EcoClimap-SG
 - Improve representation of **physical processes**
 - ▶ Take into account the evolution of the vegetation response in a context of climate change: ISBA with interactive vegetation
 - ▶ Drag approach of forest dynamics
 - ▶ 2-moment microphysical scheme (LIMA)
 - Better understand the processes involved in **cloud formation**
 - ▶ Biogenic aerosols and cloud condensation nuclei

- What is the **critical heterogeneity size** at which the impact on cloudiness becomes significant?

➔ Necessity of **LES**

- Further prospective use of the model for **land use changes**
 - ▶ Example of land development projects: Horizeo solar farm (1000 ha)



Horizeo project

- Impact of **agricultural practices** on local circulation
 - ▶ Role of irrigation (Phd of Tanguy Lunel)